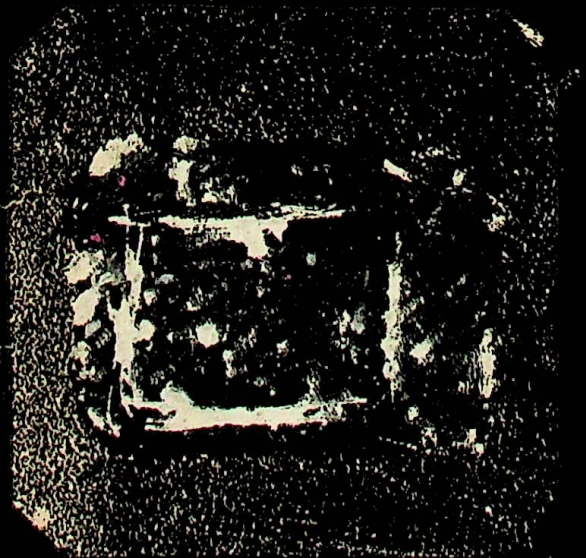
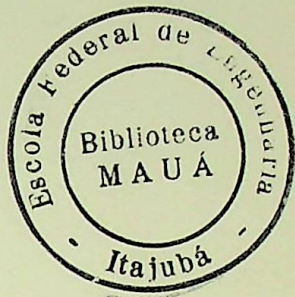


TESE  
495



CÉSAR AUGUSTO BLEYER BRESOLA

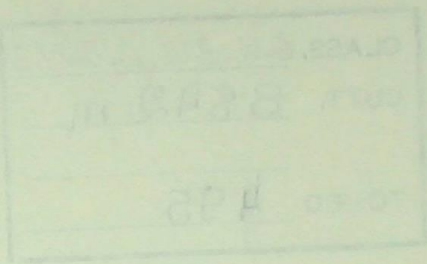


METODOLOGIA DE FREQÜÊNCIA E  
DURAÇÃO: ANÁLISE DE UM MODELO  
APROXIMADO

ORIENTADOR: RENATO DE AQUINO FARIA NUNES

TRABALHO DE DISSERTAÇÃO APRESENTADO À  
ESCOLA FEDERAL DE ENGENHARIA DE ITAJUBÁ  
COMO PARTE DOS REQUISITOS PARA OBTENÇÃO  
DO GRAU DE MESTRE EM ENGENHARIA ELÉTRICA

ITAJUBÁ JULHO/1987



## ABRAÇOS E MENSAGENS

A minha esposa Leda e aos meus filhos Fernanda e Augusto.  
Também agradeço ao Prof. Dr. José Góes, da Faculdade de Medicina da Universidade de São Paulo, que me deu a oportunidade de fazer o meu trabalho.

Um agradecimento especial é devidos ao Instituto Eletrônico da Física do Brasil E.A. - Rio de Janeiro, no Departamento de Programação Elétrica, que em sua ajuda não deixou nada a desejar.

Por último agradeço aos amigos que trabalham comigo, sobretudo Augusto Varela, em particular as suas belas soluções matemáticas. Elles são filhas.

CLASS. 621.315 2. 621.316 (043. 2 )  
CUTT. B. 842 m  
TOMBO 495

que vai a ser o nome da Á  
área que é aberta para L

## A G R A D E C I M E N T O S

Agradeço ao Professor Renato de Aquino Farias Nunes pelo incentivo, colaboração e apoio que me deu para execução desta dissertação.

Um agradecimento especial à Centrais Elétricas do Norte do Brasil S.A. - ELETRO NORTE, ao Departamento de Planejamento Elétrico, que sem sua ajuda não seria possível realizar este trabalho.

Agradeço ainda aos engenheiros que trabalharam comigo, que me incentivaram, em particular ao amigo Engº Eduardo Henrique Ellery Filho.

## ÍNDICE

	Página
<b>CAPÍTULO 1 - INTRODUÇÃO</b>	
1.1 Introdução	1
1.2 Estrutura da Dissertação	2
1.3 Histórico da Confiabilidade	4
1.4 Confiabilidade Aplicada a Sistemas de Potência	5
<b>CAPÍTULO 2 - MÉTODO DE FREQUÊNCIA E DURAÇÃO PARA SISTEMAS DE GERAÇÃO.</b>	
2.1 Introdução	8
2.2 Modelo do Sistema Gerador	9
2.3 Técnicas de Arredondamentos	12
2.4 Arredondamento da Tabela	13
2.5 Arredondamento da Unidade Geradora	25
2.6 Remoção de um Gerador da Tabela de Capacidades	33
<b>CAPÍTULO 3 - ANÁLISE DA CARGA NO MÉTODO DE FREQUÊNCIA E DURAÇÃO.</b>	
3.1 Introdução	37
3.2 Modelo Carga-Fator de Exposição	37
3.3 Modelo Carga-Freqüência	41
3.4 Capacidade de Reserva	42
3.5 Cálculo da Energia não Suprida	46

4 - MODELO DA TRANSMISSÃO: INCLUSÃO DE UM MODELO SIMPLES  
DE TRANSMISSÃO.

4.1	Introdução	48
4.2	Duas Barras são Ligadas por uma Única Linha de Transmissão	48
4.3	Duas Barras são ligadas por mais de uma Li- nha de Transmissão	50
4.4	Fluxo de Carga D. C.	58

5 - ANÁLISE DE RESULTADOS.

5.1	Introdução	62
5.2	Variação da Taxa de Falha e Tempo Médio de Reparo de Linhas de Transmissão	62
5.3	Resultados Práticos	63

6 - CONCLUSÕES

6.1	Conclusões Finais	86
-----	-------------------	----

REFERÊNCIAS E APÊNDICES

REFERÊNCIAS BIBLIOGRÁFICAS	90
APÊNDICE 1 Sistema 22 Máquinas	95
APÊNDICE 2 Sistema 26 Máquinas	97
APÊNDICE 3 Manual do Programa	98

O resultado desse trabalho pode ser visto na figura 1, que mostra a evolução do planejamento, construção e operação desses sistemas. Faz-se nessa figura uma síntese da principal filosofia metodológica da planejamento, com referência às principais determinações utilizadas atualmente. A vez de se falar em um só resultado, os critérios de potência apresenta-se como um processo de evolução das técnicas de planejamento. Fornece-se indicação quanto ao resultado final dos estudos de planejamento, fornecendo índices que auxiliam a discussão, possibilitando assim a utilização de um critério de comparação entre alternativas, que ajudará nos tomados de decisão. O critério probabilístico empregado neste desenvolvimento é o método da probabilidade e Risco (14,15,20,21).

Destas nove etapas de evolução de processos sistêmicos gerenciais, com relação ao desempenho das mais variadas disciplinas.

## CAPÍTULO I

### INTRODUÇÃO

Na elaboração das metodologias que auxiliaram a elaborar um projeto de sistema gerencial, foi feito uso de procedimentos sistemáticos de formação de sistemas, obtendo-se tabelas de capacidades que auxiliaram a elaborar um projeto. A tabela 1, por exemplo, mostra as capacidades de confiabilidade de sistemas. Faz-se uso de técnicas clássicas de teoria de probabilidade, produzindo resultados que são comparados com a soma das probabilidades de falhas de componentes. Nesse uso, obteve-se resultados que auxiliaram na elaboração de sistemas gerenciais, de que o mais interessante é o resultado da capacidade, variável de menor grau quanto à medida de confiabilidade e valor de custo unitário. A ideia de gerenciar o custo da capacidade é que se forcer a tabela de capacidades fosse deslocada para o lado direito, resultando nesse trabalho. Procedeu-se comparar resultados e resultados obtidos na literatura de confiabilidade de sistemas de potência (1,2,20), os quais eram válidos ou não válidos. Neste caso, foram-se calculadas formas de confiabilidade de sistemas gerenciais, obtendo-se também um maior desempenho, em alguns casos de sistemas de transmissão, fornecendo os índices de sistema global gerencial - transmissão - usos.



### 1.1 Objetivo da Dissertação

O crescimento cada vez maior dos sistemas elétricos e os custos envolvidos no planejamento, construção e operação destes sistemas, faz aparecer a necessidade de se pesquisar novas metodologias de planejamento, diferentes das puramente determinísticas utilizadas atualmente. O uso de métodos de confiabilidade em sistemas de potência apresenta-se como uma ferramenta capaz de auxiliar nos estudos de planejamento, fornecendo índices probabilísticos para o sistema, possibilitando assim a utilização de um instrumento poderoso de comparação entre alternativas, que ajudará nas tomadas de decisões. O método probabilístico empregado nesta dissertação é o método da freqüência e Duração (14,19,20,31).

Devido ao fato de se estudar grandes sistemas geradores, com máquinas de potências das mais variadas, procurou-se desenvolver técnicas que reduzissem a quantidade de estados de capacidade avariada e disponível do sistema gerador. Com o uso de um intervalo ou valor de arredondamento, obtém-se tabelas de capacidades que são bem reduzidas em comparação à tabela real, facilitando sobremaneira a análise de confiabilidade do sistema. Estas técnicas chamadas de técnicas de arredondamento, produzem tabelas de capacidades que são combinadas com a carga e a transmissão para fornecer os índices de confiabilidade. Havia uma expectativa com relação ao uso das técnicas de arredondamento, de que o erro introduzido nos resultados, devido ao arredondamento, variasse de maneira crescente a medida que se aumentasse o valor do arredondamento. A técnica de arredondar o modelo individual de cada gerador antes de se formar a tabela de capacidades foi desenvolvida e exaustivamente testada neste trabalho. Procurou-se comparar resultados e utilizar sistemas comuns na literatura de confiabilidade de sistemas de potência (2,9,20) no sentido de validar os resultados. Nesta dissertação se calcula os índices de confiabilidade do sistema gerador, propondo-se também um modelo para incorporar, em alguns casos os efeitos da transmissão, fornecendo os índices do sistema global geração - transmissão - carga.

## 1.2 Estrutura da Dissertação

Esta dissertação é formada de seis capítulos, distribuídos da maneira descrita a seguir:

No primeiro capítulo são abordados o histórico da confiabilidade, desde os primeiros estudos envolvendo confiabilidade de sistemas, às metodologias probabilísticas utilizadas atualmente. O objetivo e a composição da dissertação são expostas neste capítulo.

O capítulo dois trata da utilização do método da Freqüência e Duração para sistemas geradores. O modelo do sistema gerador é abordado com detalhes e são desenvolvidas as duas técnicas de arredondamento. Estas técnicas, Arredondamento da Tabela e Arredondamento da Unidade Geradora, possibilitam a redução do número de estados da tabela de capacidades do sistema gerador. São apresentadas as fórmulas de como se remover uma unidade geradora da tabela de capacidades do sistema, arredondada ou não.

O capítulo três aborda a análise da carga no método da Frequência e Duração. O modelo do sistema gerador desenvolvido no capítulo dois ao ser combinado com a carga vai fornecer os índices de confiabilidade do sistema. Duas representações do modelo de carga são expostas neste capítulo. Uma representa a carga como um modelo carga-fator de exposição, estado de carga individual e a outra representa-a como um modelo carga-freqüência, estado de carga cumulativo. O resultado da combinação sistema gerador carga resulta na tabela de capacidade de reserva, mais conhecida como tabela de margem. Esta tabela de margem é que vai fornecer os índices de confiabilidade do sistema: Probabilidade, Freqüência, Duração e Energia não Suprida pelo Sistema (ENS).

A transmissão foi modelada, no capítulo quatro, através de um

modelo simples de transmissão, utilizando-se um modelo radial. Deste maneira se permite avaliar o desempenho de um sistema que possui centrais geradoras de grande porte, interligadas ao resto do sistema por linhas de transmissão radiais e de grande capacidade. O modelo permite que se considere as perdas ativas do sistema de transmissão. Como foi visto no capítulo dois, no cálculo do modelo probabilístico do sistema gerador tem-se uma tabela de capacidades que fornece a capacidade disponível ou avariada, respectivas probabilidades de ocorrência, freqüência, período e taxas de saída para estados hierarquicamente superiores e inferiores. A transmissão vai "transportar" esta tabela até o ponto da carga, levando em consideração todas as configurações possíveis da transmissão, com as correspondentes probabilidades de ocorrência e taxas de transição respectivas.

Os resultados apresentados no capítulo cinco, foram obtidos, utilizando-se o programa computacional CONFBRE desenvolvido nesta dissertação. Analisa-se a influência de variações na taxa de falha e no tempo médio de reparo de linhas de transmissão. Os resultados práticos foram obtidos utilizando-se os sistemas descritos nos apêndices 1 e 2. Os valores obtidos com a aplicação das técnicas de arredondamento desenvolvidas no capítulo dois e a maneira de se escolher o valor do arredondamento que melhor se adapta ao tipo de carga do sistema são mostrados e comentados. São feitas comparações entre programas que utilizam Freqüência e Duração. É apresentada uma utilização prática do programa aplicado a um estudo de alternativas de suprimento ao Estado do Mato Grosso.

No capítulo seis são apresentadas as conclusões sobre todo o trabalho.

Os apêndices 1 e 2 descrevem os dois sistemas teste utilizados. O sistema descrito no apêndice 1 é largamente utilizado na literatura de confiabilidade. O apêndice 3 contém o manual do programa computacional

desenvolvido nesta dissertação. Este manual contém as instruções de utilização do programa explicando o programa principal, os dados de entrada, as subrotinas e a saída do programa. Este programa computacional pode ser usado como Sistema Gerador-Carga, com transmissão 100% confiável e Sistema Gerador-Transmissão-Carga com ou sem perdas.

### 1.3 Histórico da Confiabilidade

Um considerável número de trabalhos têm sido publicado na área de métodos probabilísticos. Basicamente a partir da segunda guerra mundial a teoria da COnfiabilidade teve um desenvolvimento acelerado. Isto deveu-se ao aumento dos programas espaciais e de mísseis onde as pesquisas e estudos de sistemas confiáveis era necessário.

Por volta de 1933, aparecem as primeiras publicações sobre aplicações de métodos probabilísticos na área de geração. Nesta fase foi em 1947 que o maior número de artigos foi publicado. Os artigos de (12,22, 23,32) propuseram muitos dos conceitos básicos sobre os quais os métodos atuais são baseados. Em 1948 foi organizado o primeiro Sub-Comitê da AIEE sobre Aplicação de Métodos Probabilísticos. Este Sub-Comitê publicou em 1949, 1954 e 1957 artigos contendo muitas definições sobre taxas de saída forçada de equipamentos. O grupo de artigos publicados em 1947 produziu os métodos que com algumas modificações são agora conhecidos como Método da Probabilidade da Perda de Carga e Método da Freqüência e Duração. Estes dois métodos foram descritos de uma maneira bastante detalhada e explicativa em 1960 pelo Sub-Comitê do AIEE organizado em 1948. Os efeitos de interligações e a determinação e alocação da capacidade beneficiada com a interligação foram discutidos em dois artigos publicados em 1950 (38) e 1953 (13).

Até 1954 muitos estudos de probabilidades eram feitos manualmente ou usando calculadoras de mesa. O uso de computadores digitais e os

benefícios introduzidos na substituição dos cálculos manuais foram mos trados em dois artigos em 1954 (39) e 1955 (21). Até 1960, diversos artigos aparecem contribuindo para o desenvolvimento e consolidação das técnicas usadas no estudo da confiabilidade de sistemas de geração.

Diferentemente da qualidade de publicações relativas a área de confiabilidade do sistema gerador a parte relativa a confiabilidade do sistema de transmissão, passou a ter artigos publicados com mais freqüêcia só a partir de 1964 (37, 18). Em 1968 foi publicado um artigo (24) ilustrando a aplicação para um sistema composto, geração e transmissão. Os conceitos básicos dos cálculos de confiabilidade de um sistema composto são descritos num artigo (5) publicado em 1969.

Devido a importância de suas aplicações está havendo um aumento considerável de estudos e pesquisas na área da confiabilidade de sistemas de potência, o que contribui para fazer com que engenheiros e pesquisadores passem a utilizá-la em seus projetos, relatórios e estudos. No Brasil, a partir do início da década de 80, a maioria das concessionárias de energia elétrica, começaram a pesquisar e utilizar metodologias probabilísticas (15, 25, 33, 34). Foi organizado sob coordenação da ELETROBRÁS um grupo de estudos de Confiabilidade (16), o qual muito tem contribuído na área de Confiabilidade de Sistemas de Potência. Também no exterior, no início dos anos 80 (1, 6), aparecem resultados de comparação de algoritmos computacionais relativos a confiabilidade de sistemas de potência.

#### 1.4 Confiabilidade Aplicada a Sistemas de Potência

Com relação ao sistema gerador, as técnicas usadas hoje em dia estão divididas em dois grupos distintos: Métodos Analíticos e Técnicas de Simulação de Monte Carlo.

Os métodos analíticos são mais aplicados pela "Escola" Norte-Ame-

ricana, Inglesa e Canadense, sendo os mais conhecidos o método da probabilidade da perda de carga, o método da probabilidade da perda da energia e o método da freqüência e duração. Nesta "Escola" se formula e resolve o problema analiticamente.

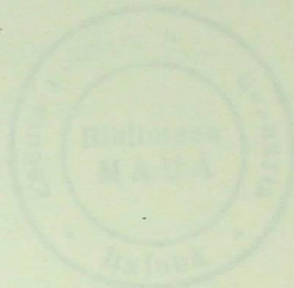
Os métodos de Simulação Monte Carlo são aplicados pela "Escola" Européia. A vantagem principal destes métodos é a simplicidade de programá-los, pois permitem a formulação de hipóteses de uma maneira mais fácil que os métodos analíticos. Como desvantagem têm-se o número exagerado de simulações, e isto, em termos de tempo computacional é o principal inconveniente do método.

Quanto a transmissão e distribuição, houve um acentuado esforço no sentido de se criar métodos que possibilitassem cálculos de confiabilidade nestes sistemas (15, 33, 34). Os sistemas interligados podem usufruir de benefícios diversos quando são aplicados métodos probabilísticos onde são consideradas as diferenças comuns aos dois sistemas tais como características das cargas e taxas de falha das unidades geradoras. Os métodos da probabilidade da perda de carga e da freqüência e duração são facilmente aplicados à análise de sistemas interligados.

A aplicação de metodologias probabilísticas na área de operação é relativamente recente. A primeira publicação de importância de artigos na área de operação aparece em 1963 (4). Esta publicação introduziu os conceitos os quais serviram de base para outros artigos publicados mais tarde (7, 8). Em 1970, aparece um novo método na área de operação de sistemas de potência, o método da Função de Segurança (28). Este método foi modificado e expandido mais tarde (3, 26, 29, 30). A aceitação na operação destas técnicas probabilísticas é ainda muito restrita. A tendência contudo é para uma aceitação cada vez maior das mesmas, pois a área de planejamento está utilizando técnicas e métodos probabilísticos e por coerência a operação seguirá o mesmo caminho, pois não tem sentido se planejar utilizando métodos agora considerados superiores e operar

este sistema empregando critérios com falhas e deficiências já abandonados na área do planejamento.

7.



## CAPÍTULO 2

ANÁLISE DA NECESSIDADE E DURAÇÃO PARA DISSESSES DE CRIAÇÃO

## 2. Introdução

A análise de confiabilidade de sistemas de energia elétrica pode ser feita com um interesse cada vez maior e maior. Tais sistemas são sempre de maior interesse ao consumidor e à sociedade. A qualidade e a disponibilidade do serviço de suprimento de energia é um fator que influencia tanto o funcionamento dos sistemas elétricos de geração quanto a evolução das áreas de confiabilidade. Como resultado dessas demandas, surgiu por volta de 1950 (15, 16, 20, 31) o chamado Método de Frequência e Duração, que procurava reunir as principais características de confiabilidade, tanto da geração como da transmissão.

Muitas considerações de natureza elétrica, predominantemente no exterior, têm utilizado nesse método para o planejamento de sistemas de energia, tanto a nível de geração quanto de transmissão.

### CAPÍTULO 2

#### MÉTODO DE FREQUÊNCIA E DURAÇÃO PARA SISTEMAS DE GERAÇÃO

Não se pode falar índice só de geração. A geração quanto à sua disponibilidade é só uma parte do sistema, mas não indica onde essa reserva se encontra ou onde é satisfazer a exigência de sistemas de transmissão.

Entendendo, que o círculo utiliza esse sistema flexível o método de Frequência e Duração. Contudo, este método fornece indicar os resultados de menor significado físico e não conclusivos que só indicam apertos em sistemas de transmissão, pois o índice LDF, como já comentado anteriormente é só de geração. Quando se calcular a confiabilidade conjunta de geração e de transmissão, pertence o índice que se irá utilizar para se obter a frequência e duração.

Sendo desejadas, neste capítulo, duas linhas de argumentos — aulas, aulas teóricas, apresentação de fórmulas e apresentação de tipos de sistemas formadores, possibilitando a realização da tarefa em condições de sistema parcial. Tais serão apresentadas as fórmulas que servem



## 2.1 Introdução

A análise da confiabilidade de sistemas de potência tem suscitado nos últimos anos um interesse cada vez mais acentuado. Isto se deve ao aumento do número de consumidores e das cargas. A qualidade e a continuidade do serviço de suprimento de energia vem fazendo com que os responsáveis pelo bom funcionamento dos sistemas elétricos de potência se dediquem e pesquisem mais na área de confiabilidade. Como resultado destas pesquisas, surgiu por volta de 1968 (14, 19, 20, 31) um método conhecido como Método de Freqüência e Duração, que procurava reunir em um todo os cálculos de confiabilidade, tanto da geração como da transmissão.

Muitas concessionárias de energia elétrica, principalmente no exterior, que utilizam métodos probabilísticos no planejamento de sistemas de geração, usam o LOLP, que é o método da Probabilidade da Perda de Carga (10, 27). A razão principal se deve ao fato do LOLP ter índices limites definidos e de poder incorporar a disponibilidade de energia primária. Mas o LOLP é um índice só de geração. Aconselha quanto à reserva estática existente no sistema, mas não indica onde esta reserva deve estar de modo a satisfazer a exigência do sistema de transmissão.

Atualmente, quase ninguém utiliza com a mesma finalidade o método da Freqüência e Duração. Contudo, este método fornece índices os quais têm um maior significado físico e são compatíveis com os índices usados em sistemas de transmissão, pois o índice LOLP, como já comentado anteriormente é mais de geração. Quando se calcular a confiabilidade conjunta da geração e da transmissão certamente o índice que se irá utilizar será um índice de freqüência e duração.

Serão desenvolvidas, neste capítulo, duas técnicas de arredondamento. Estas técnicas, Arredondamento da Tabela e Arredondamento do Modelo das Unidades Geradoras, possibilitam a redução da tabela de capacidades do sistema gerador. Também serão apresentadas as fórmulas que permi-

tem remover uma unidade geradora de uma tabela de capacidades do sistema, já combinada.

É objetivo deste trabalho mostrar que o método de Freqüência e Duração, apesar de ainda não muito usado em estudos de planejamento da capacidade estática de geração, é prático, eficiente e relativamente simples de ser aplicado.

## 2.2 Modelo do Sistema Gerador

O modelo do sistema gerador é baseado na teoria dos processos estocásticos de Markov (Cadeias de Markov) e pressupõe-se que cada máquina é estatisticamente independente das demais e que os tempos de residência nos diversos estados se distribuem exponencialmente.

Seja para cada unidade geradora:

$C$  (MW) = capacidade da máquina.

$m$  (DIAS) = tempo médio de funcionamento.

$r$  (DIAS) = tempo médio de reparo.

$t$  (DIAS) = período (tempo médio entre duas falhas).

Com o definido acima podemos obter:

$$A = \frac{m}{m+r} \quad \text{Probabilidade de funcionamento (Disponibilidade)}$$

$$\lambda = \frac{1}{m} \quad \text{Taxa de falha.}$$

$$\mu = \frac{1}{r} \quad \text{Taxa de reparo.}$$

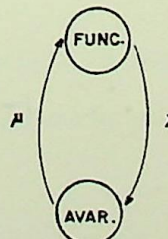


FIGURA 1

A figura 1 descreve um modelo de dois estados para um componente reparável. Neste modelo  $\lambda$  e  $\mu$  representam as taxas de saída (ou entrada) de cada estado. A freqüência com que um estado é encontrado é dada por:

$$f(\text{funcionar}) = A_i \lambda \text{ ou } f(\text{funcionar}) = \bar{A}_i \mu.$$

Definindo-se  $\lambda_{+i}$  e  $\lambda_{-i}$  como taxas de saída para níveis de capacidades maiores ou menores temos:

$\lambda_{+i}$  = taxa de saída de um dado estado  $i$  para outro de maior capacidade disponível (hierarquicamente superior).

$\lambda_{-i}$  = taxa de saída de um dado estado  $i$  para outro de menor capacidade disponível (hierarquicamente inferior).

Quando trabalhamos com grandes sistemas, aparecem estados de capacidades iguais, como resultado das diversas combinações feitas com todas as unidades. Sejam dois estados de capacidades iguais  $i$  e  $j$  tal que  $C_i = C_j$ . E seja o estado  $C_k$  resultado da combinação de estados iguais, então:

$$C_k = C_i = C_j \quad A_k = A_i + A_j$$

$$\text{e } f_k = f_i + f_j$$

A freqüência neste caso, é a soma das freqüências pois não existem transições diretas entre os estados  $i$  e  $j$ . Como a freqüência com que um estado é encontrado é igual ao produto da probabilidade de permanecer neste estado pela taxa de saída deste estado, temos:

$$A_k \lambda_{+k} = A_i \lambda_{+i} + A_j \lambda_{+j} \quad \therefore \quad \lambda_{+k} = \frac{A_i \lambda_{+i} + A_j \lambda_{+j}}{A_k} \quad (2.1)$$

$$A_k \lambda_{-k} = A_i \lambda_{-i} + A_j \lambda_{-j} \quad \therefore \quad \lambda_{-k} = \frac{A_i \lambda_{-i} + A_j \lambda_{-j}}{A_k} \quad (2.2)$$

Com todas as expressões mostradas, podemos construir uma tabela listando a capacidade geradora disponível ou avariada, com respectivas probabilidades, taxas de saída e freqüência. Esta tabela é conhecida como Tabela de Capacidades. Como na maioria das vezes o interesse maior é pela Tabela de Capacidade Cumulativa, podemos através das fórmulas abaixo chegar a esta tabela.

$$A'_{n'} = A'_{n+1} + A_n \quad (2.3)$$

Onde  $A'_{n'}$  = probabilidade cumulativa do estado  $n'$ .

$A'_{n+1}$  = Probabilidade cumulativa do estado "n+1", que tem maior capacidade avariada que o estado  $n$ .

$A_n$  = probabilidade do estado  $n$ .

A probabilidade cumulativa representa a probabilidade de ocorrência de todos os estados com capacidade avariada igual ou superior à capacidade indicada.

A freqüência de um dado estado considerado individualmente  $n$  é dada por:

$$f_n = A_n (\lambda_{+n} + \lambda_{-n}) \quad (2.4)$$

A freqüência cumulativa é:

$$f'_{n'} = f'_{n+1} + A_n (\lambda_{+n} - \lambda_{-n}) \quad (2.5)$$

$f'_{n+1}$  = Freqüência cumulativa do estado "n+1", que tem maior capacidade avariada que o estado  $n$ .

$f'_{n'}$  = freqüência cumulativa do estado  $n$ .

A freqüência cumulativa representa a freqüência de ocorrência de todos os estados com capacidade avariada igual ou superior à capacidade indicada.

### 2.3 Técnicas de Arredondamento

Em qualquer sistema gerador real, a utilização da tabela de capacidades completa significa um trabalho muito grande que usualmente acarreta problemas de memória e tempo de computação.

Considerando-se um sistema com  $N$  geradores, existirá em princípio um número de  $2^N$  combinações diferentes. Na prática, sistemas com grande número de unidades geradoras, podem resultar em centenas de estados na tabela de capacidades. Existem vários processos que permitem uma redução no número de estados, embora penalizando um pouco a precisão alcançada.

O problema de um número excessivo de estados na tabela de capacidades pode ser parcialmente resolvido aplicando-se a técnica de truncar a tabela. Este truncamento significa que todos os estados cujas probabilidades sejam inferiores a um certo limite especificado são desprezados. Valores limites geralmente são usados na ordem de  $10^{-8}$  a  $10^{-10}$ . Contudo se o sistema possuir um número considerável de geradores com capacidades diferentes o truncamento pode não reduzir substancialmente o número de estados.

As técnicas de arredondamento que descrevemos a seguir, permitem que se reduza a dimensão das tabelas pela incorporação de uns estados outros. A tabela de capacidades passa a possuir estados onde a capacidade avariada ou disponível é múltipla de um valor de arredondamento previamente escolhido. Naturalmente, tais técnicas introduzem um certo erro nos resultados que na maioria dos casos é maior à medida que se aumenta o espaço entre os estados arredondados. Mas os benefícios computacionais, economia de memória e tempo de computação de tais técnicas compensam em muito este erro introduzido nos resultados.

## 2.4 Arredondamento da Tabela

A escolha do intervalo (MW) entre os estados ou valor de arredondamento, permite calcular antecipadamente qual o número total de estados que terá a tabela. É possível aparecerem estados sem significado físico real, como por exemplo um estado com capacidade disponível maior do que a do sistema gerador, devido ao valor de arredondamento usado.

O cálculo da probabilidade e da freqüência, é feito de maneira idêntica ao da tabela real. Acontece que no processo de formação da tabela, na combinação das unidades geradoras vamos ter estados de capacidade iguais às pré-determinadas pelo arredondamento e estados que são diferentes. Esta tabela é construída paulatinamente, à medida que a unidade geradora é combinada com a tabela existente. Os estados resultantes desta combinação que não são os pré-determinados pelo arredondamento são trabalhados tendo a probabilidade e as taxas de saídas divididas proporcionalmente pelos estados arredondados imediatamente adjacentes a eles.

A técnica é a seguinte:

Seja um estado  $j$ , com as características indicadas abaixo:

Capacidade Avariada :  $C_j$ :

Probabilidade:  $A_j$  (Prob. de funcionamento).

Taxa de saída para cima:  $\lambda_{+j}$ .

Taxa de saída para baixo:  $\lambda_{-j}$ .

Sendo este estado  $C_j$  diferente dos estados pré-determinados pelo arredondamento, e sendo os estados  $i$  e  $k$ , os estados permitidos adjacentes ao estado  $j$ , com as características:

Capacidade Avariada :  $C_i$  e  $C_k$ .

Probabilidade :  $A_i$  e  $A_k$ .

Taxas de saída para cima :  $\lambda_{+i}$  e  $\lambda_{+k}$ .

Taxas de saída para baixo :  $\lambda_{-i}$  e  $\lambda_{-k}$ .

Sendo  $C_k > C_j > C_i$ , a diferença  $C_k - C_i$  designa-se por intervalo de arredondamento (VA) da tabela de capacidades.

A probabilidade e as taxas de saída do estado  $j$  vão ser divididas proporcionalmente entre  $i$  e  $k$ , ficando estes estados com novos valores de probabilidade e taxas de saída, resultantes da incorporação do estado  $j$ .

Como podemos ver das ilustrações da figura 2:

$$VA = C_k - C_i \quad (\text{MW})$$

$$A_{ij} = A_j \times \frac{C_k - C_j}{VA} \quad (2.6) \quad \text{e} \quad A_{kj} = A_j \times \frac{C_j - C_i}{VA} \quad (2.7)$$

$$A_m = A_i + A_{ij} \quad (2.8) \quad \text{e} \quad A_n = A_k + A_{kj} \quad (2.9)$$

$$\lambda_{+m} = \frac{\lambda_{+i} A_i + \lambda_{+j} A_{ij}}{A_m} \quad (2.10) \quad \text{e} \quad \lambda_{-m} = \frac{\lambda_{-i} A_i + \lambda_{-j} A_{ij}}{A_m} \quad (2.11)$$

$$\lambda_{+n} = \frac{\lambda_{+k} A_k + \lambda_{+j} A_{kj}}{A_n} \quad (2.12) \quad \text{e} \quad \lambda_{-n} = \frac{\lambda_{-k} A_k + \lambda_{-j} A_{kj}}{A_n} \quad (2.13)$$

Ao iniciar a tabela, se o primeiro gerador a ser combinado for maior do que VA, teremos três estados 0, x, y. Os cálculos das taxas de saída destes estados são feitos a partir das fórmulas apresentadas anteriormente, somente que  $\lambda_{-x} = \lambda$  do modelo do gerador. Se  $m$  for o primeiro estado da tabela, isto quer dizer que a capacidade avariada é zero, ou seja, neste estado toda a capacidade está disponível, então  $\lambda_{+m} = 0$ , pois não existe estado de maior capacidade disponível. Do mesmo modo se  $n$  for o último estado da tabela, este estado é o de maior capacidade avariada, portanto  $\lambda_{-n} = 0$ .

$$C_m = C_i$$

$$C_n = C_k$$

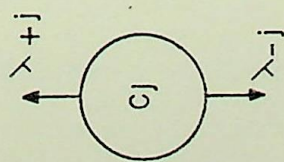
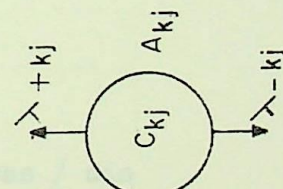
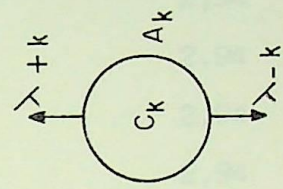
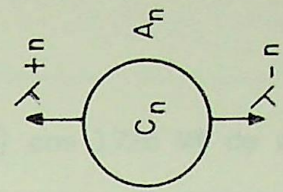
$$\lambda_{-j} = \lambda_{-ij} = \lambda_{-kj}$$

$$\lambda_{+j} = \lambda_{+ij} = \lambda_{+kj}$$

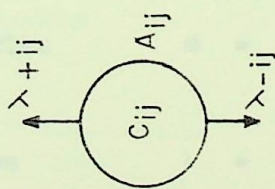
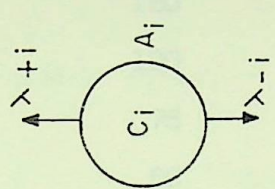
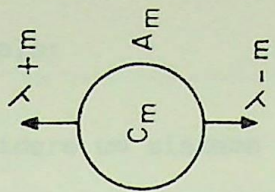
$$C_i = C_{ij}$$

$$C_k = C_{kj}$$

**U**



**↔**



Exemplo:

Considere um sistema de 22 unidades (9,20) com 1725 MW de potência, composto das seguintes unidades:

Número de unidades idênticas	Potência da unidade (MW)	Tempo médio de reparo r (ano)	Tempo médio de funcionamento m (ano)
1	250	0,06	2,94
3	150	0,06	2,94
2	100	0,06	2,94
4	75	0,06	2,94
9	50	0,06	2,94
3	25	0,06	2,94

Para cada unidade pode-se obter:

$$\text{Probabilidade } A = \frac{m}{m+r} = 0,98$$

$$r = 21,9 \text{ dias} \quad m = 1073,1 \text{ dias}$$

$$\text{taxa de falha } \lambda = \frac{1}{m} = 0,000932 \text{ falhas / dia}$$

$$\text{taxa de reparo } \mu = \frac{1}{r} = 0,045662 \text{ reparos / dia}$$

Vamos escolher como arredondamento um VA = 40,0 MW.

Para a 1ª unidade:

Tabela 2.1

CAPACIDADE AVARIADA	PROBABILIDADE	$\lambda_+$	$\lambda_-$
0	0,98	0	0,000932
250	0,02	0,045662	0

O estado de 250 MW não é múltiplo de 40.

Então ele vai ser proporcionalmente dividido entre os estados arredondados adjacentes a ele.

Os estados serão:

$$\frac{250}{40} = 6,25 \quad \text{Estado } = 6 \times 40 = 240$$

$$= 7 \times 40 = 280$$

Fazendo da maneira explicada anteriormente, o estado de 250 MW corresponde ao estado "j" a ser eliminado da tabela. O estado de 240 MW ao estado adjacente "i" e o estado de 280 MW ao estado adjacente "k".

Sendo  $m=i$  e  $n=k$ , conforme figura 2, e utilizando as equações vistas anteriormente:

$$A_{ij} = A_j \times \frac{C_k - C_j}{VA} = 0,02 \times \frac{30}{40} = 0,0150$$

$$A_{kj} = A_j \times \frac{C_j - C_i}{VA} = 0,02 \times \frac{10}{40} = 0,0050$$

$$\lambda_{+kj} = \lambda_{+ij} = \lambda_{+j} = 0,045662$$

$$\lambda_{-kj} = \lambda_{-ij} = \lambda_{-j} = 0$$

$$A_m = A_i + A_{ij} = 0 + 0,0150 = 0,0150$$

$$A_n = A_k + A_{kj} = 0 + 0,0050 = 0,0050$$

$$\lambda_{+m} = \frac{\lambda_{+i} A_i + \lambda_{+ij} A_{ij}}{A_m}$$

$$\lambda_{+m} = \frac{0 \times 0 + 0,045662 \times 0,0150}{0,0150} = 0,045662$$

$$\lambda_{-m} = \lambda \text{ do gerador} = 0,000932 \quad (\text{1º gerador} > \text{VA}).$$

$$\lambda_{+n} = \frac{\lambda_{+k} A_k + \lambda_{+kj} A_{kj}}{A_n} = \frac{0 \times 0 + 0,045662 \times 0,0050}{0,0050} = 0,045662$$

$$\lambda_{-n} = 0 \quad (\text{último estado da tabela}).$$

Resulta em:

Tabela 2.2

CAPACIDADE AVARIADA	PROBABILIDADE	$\lambda_+$	$\lambda_-$
0	0,98	0	0,000932
240	0,015	0,045662	0,000932
280	0,005	0,045662	0

Combinando com a 2ª unidade.

Gerador de 150 MW em serviço.

Tabela 2.3

CAPACIDADE AVARIADA	PROBABILIDADE	$\lambda_+$	$\lambda_-$
0 + 0	0,98 x 0,98	0 + 0	0,000932 + 0,000932
240 + 0	0,015 x 0,98	0,045662 + 0	0,000932 + 0,000932
280 + 0	0,005 x 0,98	0,045662 + 0	0 + 0,000932

Gerador Avariado.

Tabela 2.4

CAPACIDADE AVARIADA	PROBABILIDADE	$\lambda_+$	$\lambda_-$
0 + 150	$0,98 \times 0,02$	$0,0 + 0,045662$	$0,000932 + 0$
240 + 150	$0,015 \times 0,02$	$0,045662 + 0,045662$	$0,000932 + 0$
280 + 150	$0,005 \times 0,02$	$0,045662 + 0,045662$	$0 + 0$

Resulta:

Tabela 2.5

CAPACIDADE AVARIADA	PROBABILIDADE	$\lambda_+$	$\lambda_-$
0	0,9604	0	0,001864
150	0,01960	0,045662	0,000932
240	0,01470	0,045662	0,001864
280	0,0049	0,045662	0,000932
390	0,0003	0,091324	0,000932
430	0,0001	0,091324	0

Aplicando as fórmulas já conhecidas temos:

CA = Capacidade avariada

CA = 150  $\therefore \frac{150}{40} = 3,75$  resulta estados de 120 e 160.

Então o estado de 150 MW corresponde a "j", o estado de 120 MW a "i" e o estado de 160 MW a "k".

$$A_{ij} = A_j \times \frac{C_k - C_j}{VA} = 0,0196 \times \frac{10}{40} = 0,0049$$

$$A_{kj} = A_j \times \frac{C_j - C_i}{VA} = 0,0196 \times \frac{30}{40} = 0,0147$$

$$A_m = A_i + A_{ij} = 0,0049 = 0,0049$$

$$A_n = A_k + A_{kj} = 0 + 0,0147 = 0,0147$$

$$\lambda_{+m} = \frac{0 \times 0 + 0,045662 \times 0,0049}{0,0049} = 0,045662$$

$$\lambda_{-m} = \frac{0 \times 0 + 0,000932 \times 0,0049}{0,0049} = 0,000932$$

$$\lambda_{+n} = \frac{0 \times 0 + 0,045662 \times 0,0147}{0,0147} = 0,045662$$

$$\lambda_{-n} = \frac{0 \times 0 + 0,000932 \times 0,0147}{0,0147} = 0,000932$$

Como 240 e 280 já estão arredondados o próximo é 390 MW.

$$CA = 390 \quad \therefore \frac{390}{40} = 9,75 \text{ resulta estados de } 360 \text{ e } 400.$$

Novamente: 360 MW = i

390 MW = j

400 MW = k

$$A_{ij} = A_j \times \frac{C_k - C_j}{VA} = 0,0003 \times \frac{10}{40} = 0,000075$$

$$A_{kj} = A_j \times \frac{C_j - C_i}{VA} = 0,0003 \times \frac{30}{40} = 0,000225$$

$$A_m = A_i + A_{ij} = 0,000075$$

$$A_n = A_k + A_{kj} = 0,000225$$

$$\lambda_{+m} = \frac{0 \times 0 + 0,091324 \times 0,000075}{0,000075} = 0,091324$$

$$\lambda_{-m} = \frac{0 \times 0 + 0,000932 \times 0,000075}{0,000075} = 0,000932$$

$$\lambda_{+n} = \frac{0 \times 0 + 0,091324 \times 0,000225}{0,000225} = 0,091324$$

$$\lambda_{-n} = \frac{0 \times 0 + 0,000932 \times 0,000225}{0,000225} = 0,000932$$

Resulta a tabela parcial:

Tabela 2.6

CAPACIDADE AVARIADA	PROBABILIDADE	$\lambda_+$	$\lambda_-$
0	0,9604	0	0,001864
120	0,0049	0,045662	0,000932
160	0,0147	0,045662	0,000932
240	0,0147	0,045662	0,001864
280	0,0049	0,045662	0,000932
360	0,000075	0,091324	0,000932
400	0,000225	0,091324	0,000932
430	0,0001	0,091324	0

$$CA = 430 \therefore \frac{430}{40} = 10,75 \text{ resulta estados de } 400 \text{ e } 440.$$

Novamente: 400 MW = i

430 MW = j

440 MW = k

$$A_{ij} = A_j \times \frac{C_k - C_j}{VA} = 0,0001 \times \frac{10}{40} = 0,000025$$

$$A_{kj} = A_j \times \frac{C_j - C_i}{VA} = 0,0001 \times \frac{30}{40} = 0,000075$$

$$A_n = A_k + A_{kj} = 0,000075 \quad A_m = A_i + A_{ij} = 0,00025$$

$$\lambda_{+m} = \frac{0,091324 \times 0,000225 + 0,091324 \times 0,000025}{0,00025} = 0,091324$$

$$\lambda_{-m} = \frac{0,000932 \times 0,000225 + 0 \times 0,000025}{0,00025} = 0,000839$$

$$\lambda_{+n} = \frac{0 \times 0 + 0,091324 \times 0,000075}{0,000075} = 0,091324$$

$$\lambda_{-n} = \frac{0 \times 0 + 0 \times 0,000075}{0,000075} = 0$$

Resulta:

Tabela 2.7

CAPACIDADE AVARIADA	PROBABILIDADE	$\lambda_+$	$\lambda_-$
0	0,9604	0	0,001864
120	0,0049	0,045662	0,000932
160	0,0147	0,045662	0,000932
240	0,0147	0,045662	0,001864
280	0,0049	0,045662	0,000932
360	0,000075	0,091324	0,000932
400	0,000250	0,091324	0,000839
440	0,000075	0,091324	0

E assim sucessivamente combinam-se as 22 unidades até chegarmos na tabela final, cujo resultado é apresentado na tabela 2.9.

A tabela de capacidade real do sistema é apresentada na tabela 2.8, a qual também pode ser encontrada nas referências (9,20).

## TABELA 2.8 DE FRACTIONADAS

CAPACIDADE	FREQUENCIA	EFICIENCIA	PERÍODO	PERÍODO	TAXAS DE CUSTO
ANUAL		CUMULATIVA	(DIAS)	CUMULATIVO	P/CIMA
0.00	.04117070	.01314185676	.000000000000	76.075	.000000000000
25.00	.03925535	.002500000000	.013144304020	390.526	.045662400000
50.00	.11056718	.007770000000	.012120501770	129.690	.045921400000
75.00	.05955608	.004207936856	.008509531651	237.646	.051199400000
100.00	.03413545	.00313384052	.007090000000	318.534	.060961400000
125.00	.01137186	.001334676626	.003466994623	749.240	.093848400000
150.00	.04675591	.003434045321	.004573581589	291.134	.054065400000
175.00	.00575725	.000633745243	.002952676541	1450.652	.101301400000
200.00	.00641446	.000970385374	.002478503265	1030.518	.096798400000
225.00	.00416021	.000504161316	.001816974676	1983.452	.102765400000
250.00	.01565749	.001105129911	.001465965277	843.782	.056291400000
275.00	.00153710	.000215330526	.0009897237373	4643.851	.116711400000
300.00	.003759174	.000433477321	.000729776277	2306.926	.1370.283
325.00	.00147775	.000184768264	.000433181053	5412.243	.106708400000
350.00	.00181590	.000176876692	.000342576446	7305.876	.116073400000
375.00	.00034885	.000055679147	.000202681155	17643.173	.144929400000
400.00	.00101473	.000123616727	.0001582242753	3089.526	.103432400000
425.00	.00013561	.000023319535	.000071948292	42882.153	.153225400000
450.00	.00018789	.000030598871	.000083370170	32680.944	.145323400000
475.00	.00008393	.000015168394	.000029365697	65639.745	.151485400000
500.00	.00005530	.000005707401	.000017303573	103014.120	.158279400000
525.00	.00001744	.000002601391	.000009511250	277670.510	.189933400000
550.00	.00002674	.000004700100	.000006459533	212795.943	.154092366400
575.00	.00006554	.000001198039	.000002704590	834697.710	.199668400000
600.00	.00000451	.000001983978	.000001688650	1017213.660	.196932400000
625.00	.00000321	.000000149751	.000000057461	2051068.356	.203870400000
650.00	.000003125	.000000280128	.0000000442259	7562793.826	.2021124.664
675.00	.000000040	.000000100595	.0000000202695	9940869.487	.238263400000
700.00	.000000033	.000000097088	.000000114456	12676513.578	.221841400000
725.00	.000000010	.000000027263	.000000042172	36679537.185	.21659239.157
750.00	.000000005	.000000014341	.000000022083	69720693.426	.254401400000
775.00	.000000012	.0000000002705	.0000000099326	147306601.626	.166726775.677
800.00	.000000011	.000000013322	.000000003322	760491449.642	.265654400000

TABELA 2.8 SISTEMA GERADOR - SEM ARREDONDAMENTO

TABELA DE CAPACIDADES

CAPACIDADE AVARIADA (MW)	PROBÁILIDADE AVARIADA	FREQUENCIA	PERÍODO (DIAS)	TAXAS DE SAIDA P/CIMA * P/BAIXO*	PERÍODO	
					CUMULATIVO	CUMULATIVO (DIAS)
0,0	* .65603440	* .013435047826	* .000000000000	* .000000000000	* .74,432	* .000000000000
40,00	* .12197243	* .003063728127	* .012722882475	* .124,012	* .78,555	* .046561*
80,00	* .10034265	* .007143709990	* .009435238650	* .139,835	* .105,936	* .051433*
120,00	* .04020230	* .003437113625	* .006209920567	* .290,942	* .161,033	* .066348*
160,00	* .04150234	* .09331994001	* .004312333689	* .301,205	* .231,893	* .060732*
200,00	* .01011153	* .061188257261	* .002591152745	* .841,569	* .385,923	* .099035*
240,00	* .01586371	* .061355570099	* .001773662193	* .721,725	* .562,853	* .067631*
280,00	* .00723656	* .00709405476	* .001016463755	* .1409,631	* .983,757	* .078844*
320,00	* .00320973	* .00396613609	* .0065835974633	* .2525,170	* .1712,403	* .104563*
360,00	* .00141915	* .000185153212	* .000303747497	* .5236,720	* .3238,893	* .114722*
400,00	* .00096210	* .000127936322	* .00172284774	* .7816,266	* .5804,343	* .013564*
440,00	* .00640374	* .0900538325079	* .000030435059	* .16999,552	* .12423,123	* .127444*
480,00	* .00015353	* .00062593471	* .000036412522	* .78558,273	* .27463,035	* .114191*
520,00	* .00006428	* .000011444190	* .00001593135	* .67380,583	* .62526,829	* .160351*
560,00	* .00002741	* .000005125255	* .000006221693	* .195112,225	* .146591,659	* .169421*
600,00	* .00001665	* .000002014723	* .000002660445	* .496346,205	* .3755877,031	* .017678*
640,00	* .00000341	* .00000746671	* .000000990853	* .1335344,118	* .109221,488	* .017587*
680,00	* .00000121	* .00000273023	* .000000357274	* .7596760,813	* .2753972,903	* .213178*
720,00	* .00000039	* .00000069204	* .00000019364	* .10503722,493	* .8375629,355	* .016879*
760,00	* .00000012	* .000000931767	* .00000036325	* .31880368,126	* .27081724,438	* .242343*
800,00	* .00000003	* .00000005438	* .000000003478	* .105942756,238	* .105249756,238	* .257584*

TABELA 2.9 SISTEMA GERADOR - ARREDONDA TABELA

## 2.5 Arredondamento da Unidade Geradora

Assim como acontece na técnica anterior, podemos saber antecipadamente o número total de estados que terá a tabela de capacidades. Também poderão aparecer estados sem significado físico real, devido ao arredondamento usado. Nesta técnica o primeiro passo é a formação da tabela de capacidades, com todos os estados possíveis, múltiplos do arredondamento. Mas nesta tabela inicial a probabilidade e as taxas de saída de cada estado são nulas, pois não se utilizou nenhuma unidade geradora na formação da tabela.

Esta tabela é formada com a finalidade de se ter os estados já definidos para combiná-los com as unidades geradoras arredondadas. Deste modo, a unidade geradora já arredondada combina com o estado correspondente da tabela. Se a probabilidade do estado for nula, passa a ser a da unidade geradora, do mesmo modo com relação as taxas de saída. Se a probabilidade for diferente de zero, é feita a combinação equivalente a dois estados iguais como definido na técnica anterior.

O procedimento é o seguinte:

Com todos os estados da tabela já definidos procura-se analisar cada unidade geradora. Se a unidade geradora não for múltiplo do valor de arredondamento ela é transformada numa que seja múltiplo para se poder combinar com a tabela.

Seja uma unidade geradora  $j$ , com as seguintes características:

Capacidade :  $C_j$ .

Probabilidade :  $A_j$ .

Taxa de saída para cima:  $\lambda_{+j}$ .

Taxa de saída para baixo :  $\lambda_{-j}$ .

VA = Valor de arredondamento a ser utilizado na tabela (MW).

Esta unidade geradora se situará num dos seguintes casos abaixo.

a) Unidade geradora com capacidade inferior a VA.

$$VA = 50 \text{ MW.}$$

$$C_j = 30 \text{ MW.}$$

Temos dois estados de capacidade avariada, 0 e 50, conforme mostrado na figura 3.

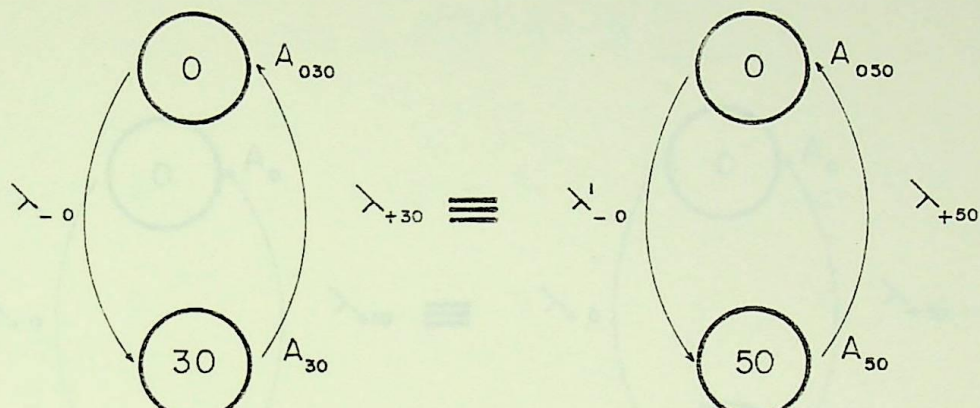


FIGURA- 3

$$\lambda_{+0} = 0$$

$$\lambda_{+0} = 0$$

$$\lambda_{-30} = 0$$

$$\lambda_{-50} = 0$$

$$A_{050} = A_{030} + k_1 A_{30} \quad (2.14)$$

$$k_1 = \frac{VA - C_j}{VA}$$

$$A_{50} = A_{30} k_2 \quad (2.15)$$

$$k_2 = \frac{C_j}{VA}$$

$$f_{50} = k_2 f_{30}$$

$$A_{50} \lambda_{+50} = k_2 A_{30} \lambda_{+30}$$

$$k_2 A_{30} \lambda_{+50} = k_2 A_{30} \lambda_{+30}$$

$$\therefore \lambda_{+50} = \lambda_{+30} \quad (2.16)$$

$$A_{50} = \frac{\lambda'_{-0}}{\lambda'_{-0} + \lambda_{+50}}$$

$$\therefore \lambda'_{-0} = \frac{A_{50} \lambda_{+50}}{1 - A_{50}}$$

$$\lambda'_{-0} = \frac{k_2 A_{30} \lambda_{+30}}{1 - k_2 A_{30}} = \frac{k_2 A_{030}}{1 - k_2 A_{30}} \quad \lambda_{-0} \quad (2.17)$$

b) Unidade geradora igual ou múltiplo de VA.

$$VA = 50 \text{ MW.}$$

$$C_j = 50 \text{ MW.}$$

Temos dois estados de capacidade avariada, 0 e 50, conforme figura 4.

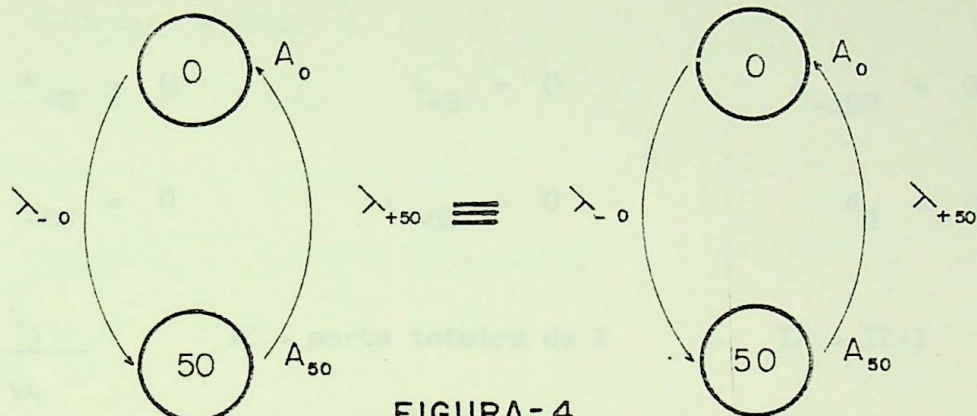


FIGURA-4

$$\lambda_{+0} = 0$$

$$\lambda_{-50} = 0$$

$$A_0 = A_0$$

$$A_{50} = A_{50}$$

c) Unidade geradora com capacidade superior a VA.

$$VA = 50 \text{ MW.}$$

$$C_j = 60 \text{ MW.}$$

Temos três estados de capacidade avariada, 0, 50 e 100, como mostrado na figura 5.

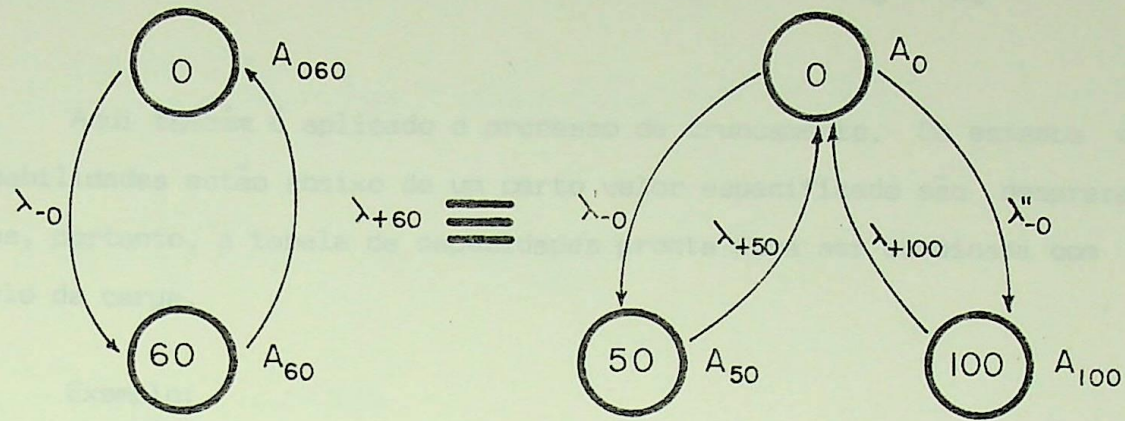


FIGURA - 5

Para cada unidade:

$$\lambda_{+0} = 0$$

$$\lambda_{+0} = 0$$

$$\lambda_{-100} = 0$$

$$\lambda_{-60} = 0$$

$$\lambda_{-50} = 0$$

$$A_0 = A_{060}$$

$$Z = \frac{c_j}{VA}$$

IZ = parte inteira de Z

IX = IZ + 1

$$A_{50} = k_1 A_{60} \quad (2.18)$$

$$k_1 = \frac{(IX \cdot VA) - c_j}{VA}$$

$$A_{100} = k_2 A_{60} \quad (2.19)$$

$$k_2 = \frac{(c_j - IZ \cdot VA)}{VA}$$

$$f_{50} = k_1 f_{60}$$

$$A_{50} \lambda_{+50} = k_1 A_{60} \lambda_{+60}$$

$$k_1 A_{60} \lambda_{+50} = k_1 A_{60} \lambda_{+60} \quad \therefore \quad \lambda_{+50} = \lambda_{+60} \quad (2.20)$$

$$f_{100} = k_2 f_{60}$$

$$A_{100} \lambda_{+100} = k_2 A_{60} \lambda_{+60}$$

$$k_2 A_{60} \lambda_{+100} = k_2 A_{60} \lambda_{+60} \quad \therefore \quad \lambda_{+100} = \lambda_{+60} \quad (2.21)$$

$$A_0 (\lambda'_{-0} + \lambda''_{-0}) = A_{060} \lambda_{-0} \quad \therefore \quad \lambda_{-0} = (\lambda'_{-0} + \lambda''_{-0}) \quad (2.22)$$

Aqui também é aplicado o processo de truncamento. Os estados cujas probabilidades estão abaixo de um certo valor especificado são desprezados. Temos, portanto, a tabela de capacidades pronta para ser combinada com o modelo da carga.

Exemplo:

Para o mesmo sistema utilizado no exemplo anterior temos:

Para cada unidade:

Probabilidade:  $A = 0,98$

Taxa de falha:  $\lambda = 0,000932 \text{ f/dia}$

Taxa de reparo:  $\mu = 0,045662 \text{ reparos/dia}$

$VA = 40,0 \text{ MW}$

Para a primeira unidade:

Tabela 2.10

CAPACIDADE AVARIADA	PROBABILIDADE	$\lambda_+$	$\lambda_-$
0	0,98	0	0,000932
250	0,02	0,045662	0

Esta unidade se encaixa no caso "c", mostrado na técnica de arredondar a unidade geradora.

$$A_0 = 0,98$$

$$Z = \frac{C_j}{VA} = \frac{250}{40} = 6,25 \quad \therefore \quad IZ = 6$$

$$IX = IZ + 1 = 7$$

$$A_{240} = \frac{(IX \cdot VA) - C_j}{VA} \times A_{250} = \frac{280 - 250}{40} \times 0,02 = 0,015$$

$$A_{280} = \frac{C_j - (IZ \cdot VA)}{VA} \times A_{250} = \frac{250 - 240}{40} \times 0,02 = 0,005$$

$$\lambda_{+240} = \lambda_{+280} = 0,045662$$

$$\lambda_{-240} = 0 \quad \lambda_{-280} = 0$$

Resulta em:

Tabela 2.11

CAPACIDADE AVARIADA	PROBABILIDADE	$\lambda_+$	$\lambda_-$
0	0,98	0	0,000932
240	0,015	0,045662	0
280	0,005	0,045662	0

Combinando com a segunda unidade:

Capacidade = 150 MW

Tabela 2.12

CAPACIDADE AVARIADA	PROBABILIDADE	$\lambda_+$	$\lambda_-$
0	0,98	0	0,000932
150	0,02	0,045662	0

$$A_0 = 0,98 \quad Z = \frac{C_j}{VA} = \frac{150}{40} = 3,75 \quad \therefore IZ = 3$$

$$IX = 3+1 = 4$$

$$A_{120} = \frac{(IX.VA) - C_j}{VA} \times A_{150} = \frac{160 - 150}{40} \times 0,02 = 0,0050$$

$$A_{160} = \frac{C_j - (IZ.VA)}{VA} \times A_{150} = \frac{150 - 120}{40} \times 0,02 = 0,0150$$

$$\lambda_{+120} = \lambda_{+160} = 0,045662$$

$$\lambda_{-120} = 0 \quad \lambda_{-160} = 0$$

Esta unidade arredondada resulta em:

Tabela 2.13

CAPACIDADE AVARIADA	PROBABILIDADE	$\lambda_+$	$\lambda_-$
0	0,98	0	0,000932
120	0,0050 ,	0,045662	0
160	0,0150	0,045662	0

A combinação desta unidade arredondada, tabela 2.13 com a tabela 2.11 resulta a tabela 2.14.

Tabela 2.14

CAPACIDADE AVARIADA (MW)	PROBABILIDADE	$\lambda +$	$\lambda -$
0 + 0 = 0	0,98 × 0,98	0 + 0	0,000932 + 0,000932
240 + 0 = 240	0,015 × 0,98	0,045662 + 0	0 + 0,000932
280 + 0 = 280	0,005 × 0,98	0,045662 + 0	0 + 0,000932
0 + 120 = 120	0,98 × 0,005	0 + 0,045662	0,000932 + 0
240 + 120 = 360	0,015 × 0,005	0,045662 + 0,045662	0 + 0
280 + 120 = 400	0,005 × 0,005	0,045662 + 0,045662	0 + 0
0 + 160 = 160	0,98 × 0,015	0 + 0,045662	0,000932 + 0
240 + 160 = 400	0,015 × 0,015	0,045662 + 0,045662	0 + 0
280 + 160 = 440	0,005 × 0,015	0,045662 + 0,045662	0 + 0

Combição de duas unidades geradoras com o modelo já arredondado.

Então teremos a seguinte tabela após a combinação da segunda unidade:

Tabela 2.15

CAPACIDADE AVARIADA	PROBABILIDADE	$\lambda_+$	$\lambda_-$
0	0,9604	0	0,001864
120	0,0049	0,045662	0,000932
160	0,0147	0,045662	0,000932
240	0,0147	0,045662	0,000932
280	0,0049	0,045662	0,000932
360	0,000075	0,091324	0
400	0,00025	0,091324	0
440	0,000075	0,091324	0

E assim se combinam as 22 unidades resultando a tabela final, que é mostrada na tabela 2.16.

## 2.6 Remoção de um Gerador da Tabela de Capacidades

Nos dois casos estudados anteriormente foi mostrado como se constrói a tabela de capacidades do sistema gerador, paulatinamente, adicionando uma a uma cada unidade geradora até termos a tabela final. Nesta seção vamos mostrar que também podemos retirar uma máquina, arredondada ou não, da tabela final de Capacidades do Sistema Gerador (11). Isto facilita sobremaneira no caso de se querer retirar uma máquina para manutenção, pois não é necessário fazer desde o início uma nova tabela de Capacidades, como se fosse um novo sistema gerador. As fórmulas que vão ser apresentadas a seguir permitem que se faça uma única varredura na tabela original e no final temos uma nova tabela de capacidades para a situação que se quer estudar. Estas fórmulas são válidas para a tabela real sem ser arredondada e para a técnica de arredondar o gerador.

TABELA DE CAPACIDADES

* CAPACIDADE	* PROBABILIDADE	* FREQUENCIA	* FREQUENCIA CUMULATIVA	* PERÍODO	* PERÍODO	* TAXAS DE SAÍDA
* Avariada	* (MIN)	* (DIAS)	* (DIA)	* (DIA)	* (DIA)	* (DIA)
* 00	* ,65600440	* 012752539349	* .000000000000	* 78,416	* ,000	* ,000000*
* 40,00	* ,12197343	* 007926293271	* .012570821593	* 126,162	* 79,549	* ,045662*
* 80,00	* ,10084965	* 006969808705	* .009357993812	* 143,474	* 106,861	* ,050408*
* 120,00	* ,04020230	* 003380896747	* .006160622967	* 295,780	* 162,321	* ,065340*
* 160,00	* ,04150284	* 003243498707	* .004287659377	* 308,314	* 233,217	* ,059704*
* 200,00	* ,01011153	* 001175918084	* .002575024000	* 850,399	* 388,274	* ,098048*
* 240,00	* ,01566371	* 001353688711	* .001768595256	* 737,807	* 565,421	* ,065595*
* 280,00	* ,00723696	* 006697504220	* .001010955556	* 1436,682	* 986,163	* ,077882*
* 320,00	* ,00220973	* 003590876522	* .003561203629	* 2558,350	* 1720,567	* ,103552*
* 360,00	* ,00141915	* 000187028303	* .000307333364	* 5346,784	* 3253,790	* ,113711*
* 400,00	* ,00096210	* 000126305948	* .000171617055	* 7917,284	* 5826,926	* ,113170*
* 440,00	* ,00040374	* 000058195612	* .000060160529	* 17182,540	* 12474,968	* ,126434*
* 480,00	* ,00015353	* 000025712230	* .000036266601	* 28831,907	* 27573,427	* ,143952*
* 520,00	* ,00006428	* 000011351025	* .000015934024	* 88097,772	* 62758,786	* ,159341*
* 560,00	* ,00002741	* 000005084796	* .000006799269	* 196664,737	* 147074,633	* ,168410*
* 600,00	* ,00001005	* 000002000550	* .000002652946	* 439862,416	* 376540,365	* ,182292*
* 640,00	* ,00000341	* 0000007447328	* .000000983397	* 1343493,375	* 1010717,049	* ,201410*
* 680,00	* ,00000121	* 0000000276398	* .000000352115	* 3617976,943	* 2792396,748	* ,212173*
* 720,00	* ,00000039	* 000000094730	* .00000121036	* 10556305,619	* 8261992,809	* ,226713*
* 760,00	* ,00000012	* 000000031251	* .000000338816	* 31999031,391	* 25762475,427	* ,241336*
* 800,00	* ,00000004	* 000000009705	* .00000011385	* 102035591,576	* 87835644,169	* ,257473*
* 840,00	* ,00000001	* 000000022778	* .00000002773	* 355951147,502	* 273607*	* ,015109*

TABELA 2.16 SISTEMA GERADOR - ARREDONDA GERADOR

$$A'(X) = (A(X) - \sum_{i=2}^3 R)/A_1 \quad (2.23)$$

$$\lambda'^+(X) = (A(X) \lambda'_+(X) - \sum_{i=2}^3 R(\lambda'^+(X - C_i) + \lambda'_+(C_i))) / D \quad (2.24)$$

$$\lambda'^-(X) = (A(X) \lambda'_-(X) - (\sum_{i=2}^3 R(\lambda'^-(X - C_i) + \lambda'_-(C_i))) - D \lambda'_-(0)) / D \quad (2.25)$$

onde:

$$R = A'(X - C_i) A_i \quad \text{e} \quad D = A'(X) A_1$$

$A(X)$  = Probabilidade do estado de  $X$  MW da tabela de Capacidade avariada original.

$A'(X)$  = Novo valor de probabilidade do estado de  $X$  MW da tabela de capacidade avariada com o gerador já removido.

$A'(X-C) = 0 \quad \lambda'^+(X-C) = 0 \quad \lambda'^-(X-C) = 0$  se  $X$  for menor que a capacidade do gerador que se está removendo.

$A_i$ ,  $i = 1, 2, 3$  = Probabilidade do estado  $i$  do gerador que se está removendo da tabela.

$C_i$ ,  $i = 2, 3$  = estado individual de capacidade do gerador que se está removendo da tabela.

O gerador que se está removendo pode ter 2 ou 3 estados. Pode ser menor, igual ou maior que o valor do arredondamento. Para o caso mais completo que é quando o gerador é maior do que o valor do arredondamento vamos mostrar um exemplo:

$$VA = 50 \text{ MW} \quad CG = 60 \text{ MW} \quad A = 0,98 \quad \lambda = 0,01 \quad \mu = 0,49$$

Isto corresponde a:

$$C_1 = 0 \text{ MW} \quad A_1 = 0,98 \quad \lambda_+(0) = 0 \quad \lambda_-(0) = 0,01$$

$$C_2 = 50 \text{ MW} \quad A_2 = 0,016 \quad \lambda_+(C_2) = 0,049 \quad \lambda_-(C_2) = 0$$

$$C_3 = 100 \text{ MW} \quad A_3 = 0,004 \quad \lambda_+(C_3) = 0,049 \quad \lambda_-(C_3) = 0$$

Para o caso de se remover o gerador da tabela real sem ser arredondada, e para a situação do gerador ser menor ou igual ao valor do arredondamento,  $i = 2$  nas fórmulas acima.

As duas técnicas de arredondamento, mostradas anteriormente, produzem resultados semelhantes. Resultados comparativos entre os dois métodos serão mostrados no Capítulo 6.

### 3.2 Introdução

O modelo de sistema gerador desenvolvido no capítulo anterior, que se acoplava ao sistema de carga, vai fornecer os índices de confiabilidade da rede. Duas representações do modelo de carga serão estudadas neste capítulo, uma representando a carga como um modelo "corça" - frequência (3.3), (estudo de carga duratativa), e a outra representando a carga com Fator de penalidade (3.4), (estudo dinâmico das estatísticas de carga (estudo de carga incidente)).

O resultado de combinação sistemática gerando carga, não só em termos de soma, resulta na tabela de dependência da probabilidade de falha da rede. Esta tabela de servos é que vai fornecer os índices de confiabilidade do sistema.

O modelo de energia não considera nenhuma forma estrutural da rede de energia, considerando-se que a rede é constituída de cargas repletas.

## CAPÍTULO 3

### ANÁLISE DA CARGA NO MÉTODO DA FREQUÊNCIA E DURAÇÃO

#### 3.1 Análise Geral do Fator de Exposição

O modelo de corça (3.1,3.2) é representado por, no mínimo, dois níveis. Este que dizem que a carga tem um nível de carga alta e um nível de carga baixa. O nível de carga alta pode assumir diversos valores, mas o nível baixo, no período considerado assume só um valor.

O modelo deve ser contado com a amplitude dos picos de carga; horários, diáários, mensal, qualquer que seja o período desejado, é representado por um processo estatisticamente estacionário e estacionário.

### 3.1 Introdução

O modelo do sistema gerador desenvolvido no capítulo anterior, ao ser combinado com a carga vai fornecer os índices de confiabilidade do sistema. Duas representações de modelo de carga serão abordadas neste capítulo. Uma representa a carga como um modelo carga - freqüência (11), (estado de carga cumulativo) e a outra representa a carga com fator de exposição (10,11,31) e pelo mínimo dois estados de carga (estado de carga individual).

O resultado da combinação sistema gerador carga, com ou sem transmissões, resulta na tabela de capacidade de reserva ou tabela de margem. Esta tabela de margem é que vai fornecer os índices de confiabilidade do sistema.

O cálculo da energia não suprida pelo sistema é feito através da tabela de margem, considerando-se somente os estados de margem negativa.

### 3.2 Modelo Carga - Fator de Exposição

O modelo da carga (10,11,31) é representado com, no mínimo, dois estados. Isto quer dizer que a carga tem um nível de carga alta e um nível de carga baixa. O nível de carga alta pode assumir diversos valores, mas a carga baixa, no período considerado assume só um valor.

O modelo leva em conta que a seqüência dos picos de carga, horários, diáários, mensal, qualquer que seja o período desejado, é representada por um processo estatisticamente estacionário e aleatório.

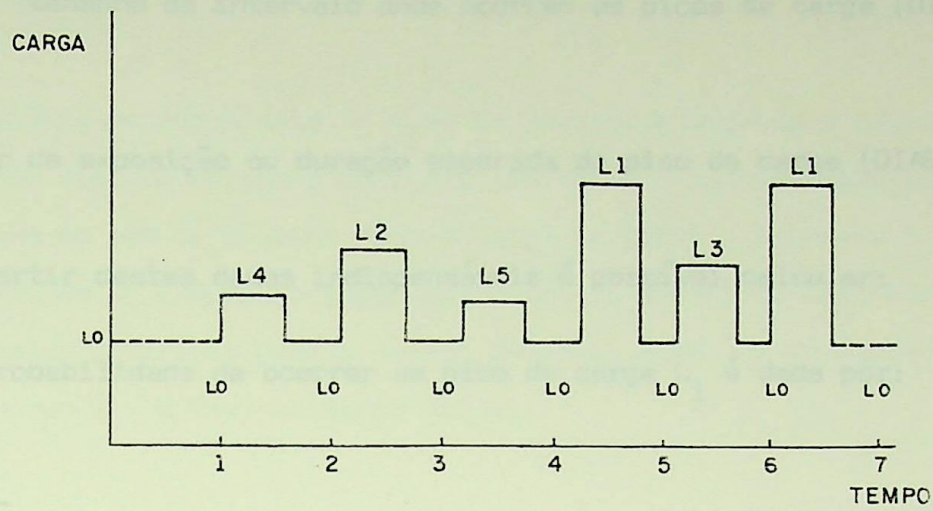


FIGURA - 6

Como mostrado na figura 6, podemos ver que a seqüência de picos de carga é aleatória. O tempo pode ser dias, meses, etc... O ciclo da carga neste período é representado por uma seqüência de picos de carga  $L_i$ , onde cada  $L_i$  tem duração média de "e" dias (10,11,31). O fator de exposição "e" é sempre menor do que um dia, é a percentagem do dia em que ocorre a carga alta. O nível de carga baixa  $L_0$ , aparece em intervalos de  $(1-e)$  dias, ou seja, a cada pico de carga temos um nível de carga leve.

Mudanças de estado de carga acontecem independentemente de alterações no estado de geração. As cargas diárias são representadas por um número fixo de níveis de carga, sendo a distribuição do tempo de residência num certo estado de carga, exponencial.

Os parâmetros necessários para este modelo de carga são:

$N$  = Número de níveis de carga.

$L_i$  = Estados de níveis de carga, MW.

$n_i$  = Número de ocorrências de  $L_i$ .

$$D = \frac{N}{\sum n_i} \quad \text{tamanho do intervalo onde ocorrem os picos de carga (DIAS).}$$

*n<sub>i</sub>* = 1

e - Fator de exposição ou duração esperada do pico de carga (DIAS).  $e < 1$

A partir destes dados indispensáveis é possível calcular:

A probabilidade de ocorrer um pico de carga  $L_i$  é dada por:

$$A_i = \frac{n_i e}{D}$$

$$f_i = \frac{n_i}{D} \quad \text{freqüência de ocorrência de um estado de carga } L_i.$$

$$\lambda_{+L_i} = 0 \quad \text{taxa de transição para um estado de carga maior.}$$

$$\lambda_{-L_i} = \frac{1}{e} \quad \text{taxa de transição para um estado de carga baixa.}$$

A probabilidade de ocorrer um nível de carga baixa  $L_0$  é dada por:

$$A_0 = 1-e$$

$$\lambda_{+L_0} = \frac{1}{1-e} \quad \text{taxa de transição do estado de carga baixa para um de carga alta.}$$

$$\lambda_{-L_0} = 0 \quad \text{taxa de transição do estado de carga baixa para outro de carga menor.}$$

$$f_0 = 1 \quad \text{freqüência de ocorrer um estado de carga baixa.}$$

Vamos considerar dois casos práticos onde podemos reduzir o modelo da carga para dois estados.

a) Carga Semanal

Considera-se carga alta os dias da semana de segunda a sexta-feira e carga baixa os dias de sábado e domingo. A figura 7 representa a semana de demanda máxima do mês de maio de 1983 do sistema Norte - Nordeste Brasileiro. Conforme mostrado na Figura, a média dos picos de carga, de segunda a sexta-feira é um valor aceitável para o estado de carga alta. A média da carga de sábado e domingo é o estado de carga baixa.

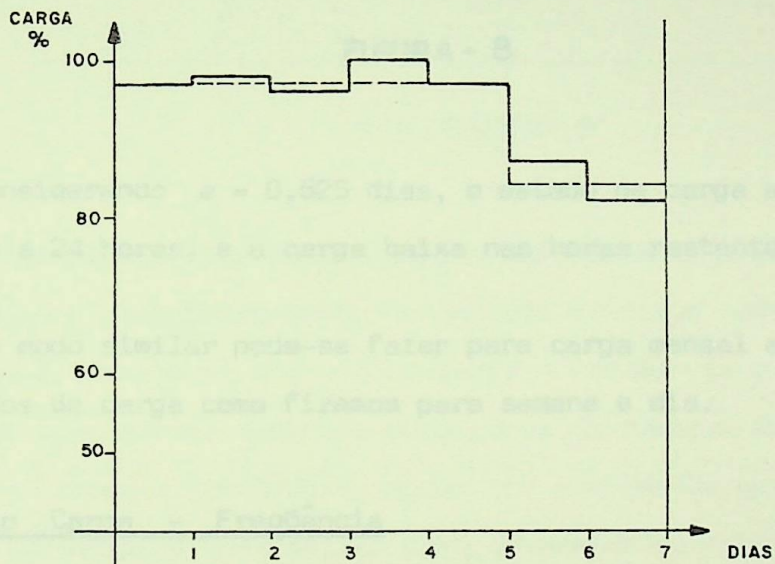


FIGURA - 7

b) Carga Diária

Na figura 8 que representa a curva de carga de uma terça-feira, do mês de setembro de 1983, do Sistema Porto Velho (RO), podemos reduzir a carga horária deste dia para dois estados de carga, alta e baixa.

curva carga-freqüência, mostrada na Figura 8. Ela indica variação e valor da

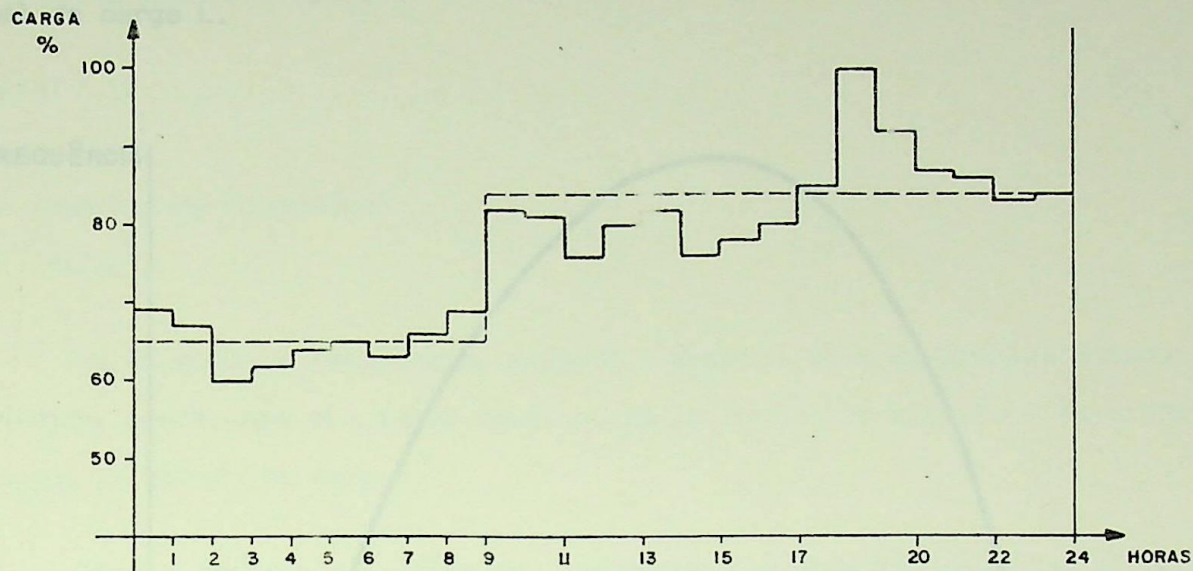


FIGURA - 8

FIGURA - 9

Considerando  $e = 0,625$  dias, o estado de carga alta ocorre no intervalo de 10 a 24 horas, e a carga baixa nas horas restantes.

De modo similar pode-se fazer para carga mensal a aproximação de dois estados de carga como fizemos para semana e dia.

### 3.3 Modelo Carga - Freqüência

Neste modelo carga - freqüência (11), a carga do sistema pode ser descrita de maneira que não requeira o fator de exposição ou o nível de carga baixa, usados no modelo anterior. Existem duas condições para um certo nível de carga qualquer:

Estado 1: Carga  $\geq L$

Estado 2: Carga  $< L$

A probabilidade da carga ser igual ou maior que o nível de carga  $L$  é obtida da carga horária ou diretamente da curva de duração de carga. A freqüência associada com os dois estados é obtida calculando-se a transição de um estado para o outro e dividindo pelo período de carga. Uma curva caracte-

rística carga-freqüência, mostrada na Figura 9, é obtida variando o valor do nível de carga  $L$ .

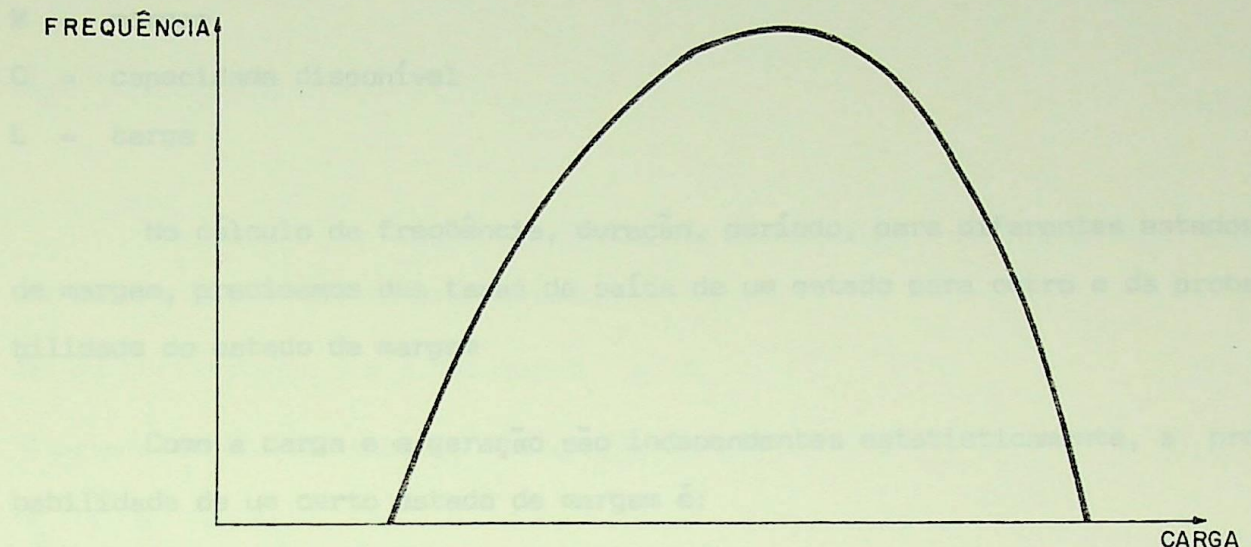


FIGURA- 9

A freqüência é zero para cargas menores e maiores que o valor mínimo e valor máximo, respectivamente, no período de carga considerado. O estado de capacidade individual e o modelo carga - freqüência que representa o estado de carga cumulativo, expresso pela curva de duração de carga e pela característica carga - freqüência, podem ser combinados para produzir probabilidades e freqüências cumulativas para determinados estados de margem. Mas o primeiro estado de margem negativa não pode ser definido como no caso para o modelo carga - fator de exposição. É usual neste caso considerar o estado de margem zero como a situação de perda de carga.

### 3.4 Capacidade de Reserva

Capacidade de reserva é o resultado da combinação da capacidade disponível do sistema com a carga. Se a transmissão for 100% confiável, a combinação é feita diretamente entre a tabela do sistema gerador e a carga. Quando se leva em conta os efeitos do sistema de transmissão, o que se combina é a tabela do sistema gerador transportada pela linha com a carga. Vamos definir margem como capacidade de reserva. O estado de margem é a diferença

entre a capacidade disponível e a carga.

$$M = C - L \quad (3.1)$$

M = margem

C = capacidade disponível

L = carga

No cálculo da freqüência, duração, período, para diferentes estados de margem, precisamos das taxas de saída de um estado para outro e da probabilidade do estado de margem

Como a carga e a geração são independentes estatisticamente, a probabilidade de um certo estado de margem é:

$$A_M = A_C \cdot A_L \quad (3.2)$$

Para se obter as taxas de saída do estado de margem, necessitamos das taxas de saída dos estados de capacidade disponível e dos estados de carga.

A taxa de saída para um estado de margem maior  $\lambda_{+M}$  é dada pela soma da taxa de saída de um estado de capacidade para outro de maior capacidade  $\lambda_{+C}$  com a taxa de saída de um estado de carga para outro de menor carga  $\lambda_{-L}$ .

$$\lambda_{+M} = \lambda_{+C} + \lambda_{-L} \quad (3.3)$$

A taxa de saída para um estado de margem menor  $\lambda_{-M}$  é dada pela soma da taxa de saída de um estado de capacidade para outro de menor capacidade  $\lambda_{-C}$  com a taxa de saída de um estado de carga para outro de carga maior  $\lambda_{+L}$ .

$$\lambda_{-M} = \lambda_{-C} + \lambda_{+L} \quad (3.4)$$

A freqüência de ocorrência de um estado de margem é dada por:

$$f_M = A_M (\lambda_{+M} + \lambda_{-M}). \quad (3.5)$$

A duração do estado de margem é dada por:

$$d_M = \frac{A_M}{f_M} \quad (3.6)$$

Os estados de margem idênticos são combinados, assim como foi feito para capacidades idênticas, da seguinte forma:

Sejam dois estados  $i$  e  $j$  tal que  $M_i = M_j$ .

O estado  $K$  resultante desta combinação é:

$$M_K = M_i = M_j$$

$$A_K = A_i + A_j$$

$$f_K = f_i + f_j$$

Para "n" estados idênticos de margem:

$$A_K = \sum_{j=1}^n A_j \quad (3.7)$$

$$f_K = \sum_{j=1}^n f_j \quad (3.8) \quad \lambda_{+K} = \frac{\sum_{j=1}^n A_j \lambda_{+j}}{A_K} \quad (3.9)$$

Com 10 Ao se calcular as tabelas de capacidade no modelo do sistema gerador comentou-se que é altamente desejável termos tabelas cumulativas. Do mesmo modo temos grande interesse na formação da tabela de probabilidades, freqüências e duração para estados de margem cumulativa.

A probabilidade de margem cumulativa pode ser calculada da seguinte forma:

$$A'_n = A'_{n+1} + A_n \quad (3.10)$$

$A'_n$  = probabilidade cumulativa do estado  $n$ .

$A_n$  = probabilidade do estado  $n$ .

A freqüência cumulativa é:

$$f'_n = f'_{n+1} + A_n (\lambda_{+n} - \lambda_{-n}) \quad (3.11)$$

$f'_n$  = freqüência cumulativa do estado  $n$ .

A duração cumulativa é dada por:

$$d' = \frac{A'_n}{f'_n} \quad (3.12)$$

O período cumulativo  $T'$  é o inverso da freqüência cumulativa.

$$T' = \frac{1}{f'_n} \quad (3.13)$$

Com estas fórmulas podemos construir a tabela de margem cumulativa.

Designando "M" como um estado qualquer de margem cumulativa temos:

Tabela 3.1

Margem Cumulativa	Probabilidade Cumulativa	Freqüência Cumulativa	Período Cumulativo	Duração Cumulativa
M	$A'_M$	$f'_M$	$T'_M$	$d'_M$

A condição de déficit de energia para o sistema é dada pelos estados de margem cumulativa negativos. O primeiro estado de margem negativa na tabela

la cumulativa nos dá os índices de confiabilidade para o sistema, freqüência, probabilidade, período, duração, pois margem negativa indica que a geração é menor que a carga.

### 3.5 Cálculo da Energia não Suprida (ENS)

Como vimos na seção anterior, a reserva ou margem é a diferença entre a capacidade disponível e a carga.

$$M = C - L$$

$$A_M = A_C A_L$$

A energia não suprida pelo sistema é calculada considerando somente os estados de reserva negativa, (déficit) pois isto significa que o sistema não consegue suprir a carga.

$$ENS = \sum_i f_j |M_j| d_j \quad (3.14)$$

$$f_j = \text{dia}^{-1}$$

$$d_j = \text{horas}$$

Onde:

$f_j$  - freqüência de ocorrer determinado estado de déficit  $M_j$ .

$d_j$  = duração do estado de déficit  $M_j$ .

$A_j$  = probabilidade do estado de déficit  $M_j$ .

$i$  = todos os estados de déficit.

$$\text{Duração} = d_j = \frac{\text{Probabilidade}}{\text{Freqüência}} = \frac{A_j}{f_j}$$

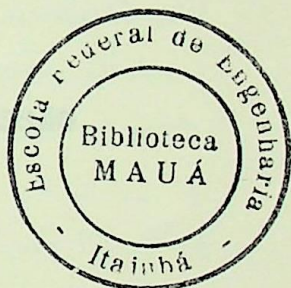
$$d_j = \frac{A_j}{f_j} \times 24 = \text{duração em horas pois } f = \text{dia}^{-1}.$$

$$ENS = \frac{1}{\text{dia}} \times \text{MW} \times \text{hora} = \frac{\text{MW} \times \text{hora} \times 365}{\text{ano}}$$

$$ENS = \sum_i f_j |M_j| d_j \times 365 \text{ MW} \times \text{hs/ano}$$

$$ENS = \sum_i f_j |M_j| \times \frac{A_j}{f_j} \times 24 \times 365 \text{ MW} \times \text{hs/ano}$$

$$ENS = \sum_i A_j \times |M_j| \times 8760 \text{ MW} \times \text{hs/ano.}$$



## 4.1 Introdução

O modelo que vai ser usado para estudar a transmissão de energia é particularmente adequado a uso de motores comuns aeronáuticos. Desta maneira, pode-se evitá-lo descrever os motores com grandes geradores ligados em paralelo de cargas, por缺乏 de capacidade residual de grande capacidade adicional adotada a voltagem entre linhas de transmissão, fornecendo corrente constante. Pupilmente, é possível se obter resultados através de motores alternativos, para grandes geradores ligados a grandes conjuntos de cargas que suportam a transmissão residual.

O modelo permite que se considere as perdas ativas da máquina de transmissão. Estas perdas são consideradas de mesma natureza, através de um fator de carga D, C.

### CAPÍTULO 4

#### MODELO DA TRANSMISSÃO :

##### INCLUSÃO DE UM MODELO SIMPLES DE TRANSMISSÃO

Para simplificar o estudo da transmissão de energia, vamos supor que o ponto de saída, levando as considerações todas as configurações possíveis de transmissão, tem as seguintes premissões de operação e tensão constante. Em relação à transmissão, têm-se duas possibilidades:

##### 4.2 Duas formas de ligação por um único fator de Transmissão

Quando isto ocorre, significa que somente uma potência operacional, ou seja, a linha tensiona ou está sobrecarregada. Ao se combinar tem a seguinte tabela de resultados:

Quando a transmissão está sobrecarregada, a taxa de saída para linha, resultante de sobreexposição é igual à taxa de saída para casa, de linha. Daí, visto que quando a capacidade disponível é inferior à potência da linha, a taxa de saída para casa, resultante da sobreexposição é igual à taxa de saída

#### 4.1 Introdução

A transmissão foi modelada de maneira simples, utilizando-se um modelo radial e evitando-se o uso de modelos pesados e trabalhosos. Desta maneira, pode-se avaliar o desempenho de um sistema com centrais geradoras ligadas aos centros de cargas, por linhas de transmissão radiais e de grande capacidade permitindo adaptar o modelo se estas linhas de transmissão forem em corrente contínua. Rapidamente, é possível se obter resultados, através do modelo utilizado, para grandes centrais geradoras ligadas a grandes centros de cargas num sistema de transmissão radial.

O modelo permite que se considere as perdas ativas do sistema de transmissão. Estas perdas são calculadas de maneira aproximada, através de um fluxo de carga D. C.

No cálculo do modelo probabilístico do sistema gerador obtém-se uma tabela de capacidades onde temos: capacidade disponível ou avariada, respectivas probabilidades de ocorrência, freqüência, período e taxas de saída para cima e para baixo. A transmissão vai "transportar" esta tabela até o ponto da carga, levando em consideração todas as configurações possíveis da transmissão, com as correspondentes probabilidades de ocorrência e taxas de saída. Com relação à transmissão, têm-se duas possibilidades.

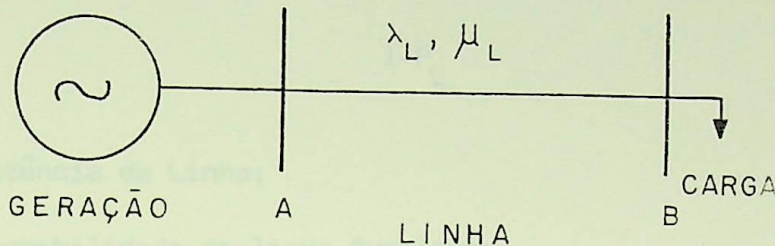
#### 4.2 Duas Barras são ligadas por uma única Linha de Transmissão

Quando isto ocorre, significa que somente dois estados aparecem, ou seja, a linha funciona ou está avariada. Ao se combinar com a geração têm-se os seguintes resultados:

Quando a transmissão está avariada, a taxa de saída para cima, resultante da combinação é igual a taxa de saída para cima, da linha. De modo idêntico quando a capacidade disponível é inferior à potência da linha, a taxa de saída para cima, resultante da combinação é igual à taxa de saída

para cima, da geração.

Como exemplo, considere o sistema abaixo:



**FIGURA-10**

Neste exemplo, o sistema gerador é representado por diversas máquinas e o sistema de transmissão por uma única linha.

Sistema Gerador:

Capacidade Disponível	CD	$P_g$	$\lambda_{+g}$	$\lambda_{-g}$	Taxas de Saída p/cima p/baixo
-----------------------	----	-------	----------------	----------------	-------------------------------

CD = Qualquer estado de capacidade disponível;

$P_g$  = Probabilidade do respectivo estado de capacidade;

$\lambda_{+g}$  = Taxa de saída para cima do respectivo estado de capacidade;

$\lambda_{-g}$  = Taxa de saída para baixo do respectivo estado de capacidade.

## Sistema de Transmissão:

Capacidade Disponível	Probabilidade	Taxas de Saída p/cima    p/baixo
PLT	$P_L$	0 $\lambda_L$
0	$1-P_L$	$\mu_L$ 0

PLT = Potência da Linha;

$P_L$  = Probabilidade da linha funcionar;

$\lambda_L$  = Taxa de saída para baixo (taxa de falha da linha);

$\mu_L$  = Taxa de saída para cima (taxa de reparo da linha).

Da combinação da transmissão com a tabela na barra "A", figura 10, resulta a figura 11.

#### 4.3 Duas Barras são ligadas por mais de uma Linha de Transmissão

Quando isto ocorre, temos diversos estados de capacidade, resultantes da combinação dos "n" circuitos existentes entre as duas barras, produzindo uma tabela de capacidades do sistema de transmissão. Esta tabela se faz de maneira análoga à feita para o sistema gerador.

Como exemplo considere duas barras e os circuitos  $L_1$ ,  $L_2$  e  $L_3$ .

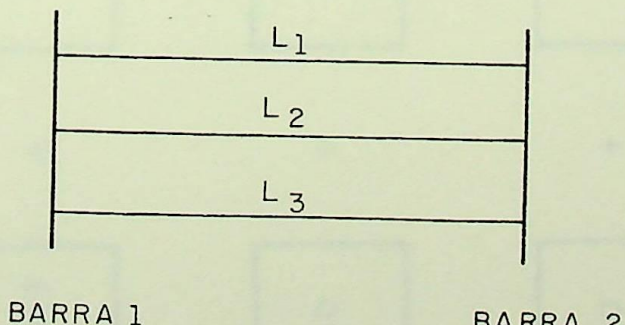


FIGURA-12

GERAÇÃO	TRANSMISSÃO	RESULTADO	PROBABILIDADE		TAXAS DE SAÍDA
			PARA CIMA	PARA BAIXO	
$CD \geq PLT$	$PLT$	$PLT$	$P_g \times P_L$	$\lambda_{-g} + \lambda_L$	$0$
$CD < PLT$	$PLT$	$CD$	$P_g \times P_L$	$\lambda_{+g}$	$0$
$CD \neq PLT$	$0$	$0$	$P_g \times (1-P_L)$	$\mu_L$	$0$
$CD = PLT$	$0$	$PLT$	$P_g \times P_L$	$\lambda_{+g}$	$0$
$CD = 0$	$0$	$0$	$P_g \times (1-P_L)$	$0$	$0$

FIGURA - II

Tabela 4.1

Linha	Potência Transmitida (MW)	Probabilidade de Funcionar	Tempo Médio de Reparo (DIAS)	Tempo Médio de Funcionamento (DIAS)	$\mu$	$\lambda$
$L_1$	150	0,99	1,0	99	1,0	0,0101
$L_2$	100	0,98	2,0	98	0,5	0,0102
$L_3$	50	0,97	3	97	0,3333	0,0103

Considerando o primeiro circuito ( $L_1$ ):

Tabela 4.2

Capacidade Disponível (MW)	Probabilidade	Taxas de Saída p/cima	Taxas de Saída p/baixo
150	0,99	0	0,0101
0	0,01	1,0	0

Combinando com o segundo circuito ( $L_2$ ):

Tabela 4.3

Capacidade Disponível (MW)	Probabilidade	Taxas de Saída p/cima	Taxas de Saída p/baixo
250	$0,99 \times 0,98$	0	$0,0101+0,0102$
150	$0,99 \times 0,02$	$0+0,5$	$0,0101+0$
100	$0,01 \times 0,98$	$1,0+0$	$0+0,0102$
0	$0,01 \times 0,02$	$1,0+0,5$	0

Combinando com o terceiro circuito ( $L_3$ ):

Tabela 4.4

Capacidade Disponível (MW)	Probabilidade	Taxas de Saída p/cima	Taxas de Saída p/baixo
300	0,99x0,98x0,97	0	0,0101+0,0102+0,0103
250	0,99x0,98x0,03	0+0,3333	0,0101+0,0102
200	0,99x0,02x0,97	0+0,5	0,0101+0+0,0103
150	0,01x0,98x0,97	1,0+0	0,0102+0+0,0103
150	0,99x0,02x0,03	0+0,5+0,3333	0+0,0101
100	0,01x0,98x0,03	1,0+0+0,3333	0+0,0102
50	0,01x0,02x0,97	1,0+0,5+0	0+0+0,0103
0	0,01x0,02x0,03	1,0+0,5+0,3333	0

Do mesmo modo como é feito na geração, os estados iguais são combinados, somando-se as probabilidades, sendo as taxas de saída o resultado da soma, da probabilidade de um estado vezes sua taxa de saída, com a probabilidade de outro estado vezes sua taxa de saída, dividido pela soma das probabilidades dos dois estados iguais.

No final, temos esta tabela, resultante da combinação dos três circuitos.

Tabela 4.5

Capacidade Disponível (MW)	Probabilidade	Taxas de Saída p/cima	Taxas de Saída p/baixo
300	0,941094	0	0,0306
250	0,029106	0,3333	0,0203
200	0,019206	0,5	0,0204
150	0,010100	0,9902	0,0199
100	0,000294	1,3333	0,0102
50	0,000194	1,5	0,0103
0	0,000006	1,8333	0

A combinação entre as tabelas do sistema gerador e da transmissão é feita da maneira descrita a seguir:

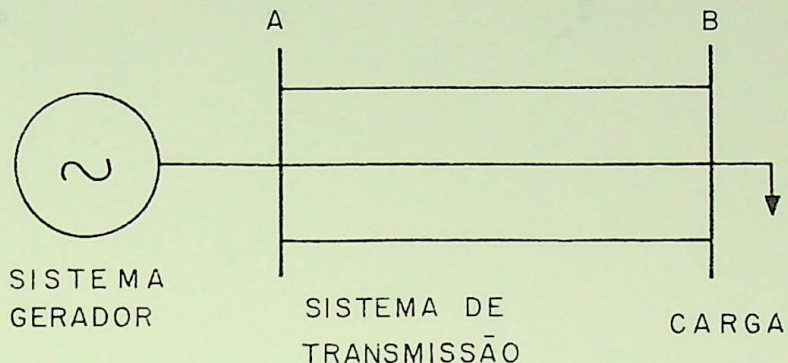


FIGURA-13

Sendo:

- $CDL$  = Capacidade disponível do sistema de transmissão;
- $P_T$  = Probabilidade do respectivo estado de capacidade disponível do sistema de transmissão;
- $\lambda_{+T}$  = Taxa de reparo do respectivo estado de capacidade disponível do sistema de transmissão;
- $\lambda_{-T}$  = Taxa de falha do respectivo estado de capacidade disponível do sistema de transmissão.

Primeiro combina-se o máximo da transmissão, ou seja, o estado de maior capacidade da tabela da transmissão com todos os estados da tabela de capacidade da barra "A". O resultado está na figura 14.

Depois combina-se o mínimo da transmissão, ou seja, o estado de menor capacidade da tabela da transmissão com todos os estados da tabela de capacidade da barra "A". Este estado geralmente é zero, só não sendo se a sua respectiva probabilidade for menor do que o valor do truncamento. O resultado está na figura 15.

GERAÇÃO	TRANSMISSÃO	RESULTADO	PROBABILIDADE		TAXAS DE SAÍDA
			PARA CIMA	PARA BAIXO	
$CD > CDL$	$=$	$CDL$	$P_g \times P_T$	$\lambda_{-g} + \lambda_{-T}$	$0$
$CD = CDL$	$=$	$CDL$	$P_g \times P_T$	$\lambda_{-g} + \lambda_{-T}$	$0$
$CD < CDL$	$=$	$CD$	$P_g \times P_T$	$\lambda_{+g}$	$\lambda_{+g}$
$CD = 0$	$=$	$0$	$P_g \times P_T$	$0$	$0$

RESULTADO DA COMBINAÇÃO DO MÁXIMO DA TRANSMISSÃO COM A TABELA DE CAPACIDADES DA GERAÇÃO.

GERAÇÃO	TRANSMISSÃO	RESULTADO	PROBABILIDADE	TAXAS DE SAÍDA
$CD > 0$	$+ \quad \quad \quad =$	$\boxed{0}$	$P = P_g \times P_T$	$\lambda + \tau \quad 0$
$CD = 0$	$+ \quad \quad \quad =$	$\boxed{0}$	$P = P_g \times P_T$	$0 \quad 0$
$CD < 0$	$+ \quad \quad \quad =$	$\boxed{0}$	$P = P_g \times P_T$	$\lambda + \tau \quad 0$

RESULTADO DA COMBINAÇÃO DO MÍNIMO DA TRANSMISSÃO COM A TABELA DE CAPACIDADES DA GERAÇÃO.

GERAÇÃO	TRANSMISSÃO	RESULTADO	PROBABILIDADE	TAXAS DE SAÍDA
				PARA CIMA PARA BAIXO
$CD > CDL$	$CD = CDL$	$CDL$	$P_g \times P_L$	$\lambda_{+T}$
$CD = CDL$	$CD < CDL$	$CDL$	$P_g \times P_L$	$0$
$CD < CDL$	$CD = 0$	$CDL$	$P_g \times P_L$	$\lambda_{-g} + \lambda_{-T}$
$CD = 0$	$CD > CDL$	$0$	$P_g \times P_L$	$\lambda_{+g}$

RESULTADO DA COMBINAÇÃO DOS ESTADOS INTERMEDIÁRIOS DA TRANSMISSÃO COM A TABELA DE CAPACIDADES DA GERAÇÃO.

Por último combinam-se os estados intermediários da tabela de capacidade da transmissão com todos os estados da tabela de capacidades da barra "A". O resultado desta combinação está na figura 16.

Na tabela resultante destas combinações os estados de capacidades iguais são combinados e os de probabilidade menor do que o valor de truncamento são desprezados.

Deste modo a tabela de capacidades do sistema gerador é transportada da maneira descrita anteriormente, até o ponto da carga, onde vai se combinar com o modelo da carga, resultando uma tabela de margem que vai fornecer os índices de confiabilidade do sistema.

#### 4.4 Fluxo de Carga D. C.

O Fluxo de Carga D.C. (36) foi introduzido no modelo com o objetivo de fornecer o valor aproximado das perdas ativas do sistema de transmissão de uma maneira simples e objetiva.

Para cada nível de carga é calculada a perda ativa total do sistema. Esta perda é somada ao respectivo nível de carga, para com este novo valor da carga, se calcular os estados de margem.

A metodologia para o fluxo de carga D.C., é a comumente usada, com as seguintes suposições:

- a - Tensões das barras iguais a 1.0 p.u.
- b - Resistências séries dos ramos desprezados.
- c - Elementos "shunt" do sistema são desprezados.
- d - Não se consideram as potências reativas do sistema (geração, consumo, flutuções e perdas).
- e - Ângulos de fase dos ramos (dados pela diferença entre os ângulos de fase dos nós terminais desses ramos) são pequenos.

As equações de fluxo de carga com as tensões na forma polar são:

$$P_i^G - P_i^C - V_i \sum_{k \neq i} V_k (G_{ik} \cos \theta_{ik} + B_{ik} \sin \theta_{ik}) = 0 \quad (4.1)$$

$$Q_i^G - Q_i^C - V_i \sum_{k \neq i} V_k (G_{ik} \sin \theta_{ik} - B_{ik} \cos \theta_{ik}) = 0 \quad (4.2)$$

Onde:

$P_i^G$  e  $P_i^C$  = potência ativa gerada e consumida respectivamente na barra  $i$ .

$Q_i^G$  e  $Q_i^C$  = potência reativa gerada e consumida respectivamente na barra  $i$

$V_i$  = Módulo da tensão na barra  $i$ .

$\theta_{ik}$  = Ângulo de fase do ramo  $ik$ .

$$\theta_{ik} = \theta_i - \theta_k$$

$G_{ik}$  e  $B_{ik}$  = Condutância série e susceptância série da linha respectivamente.

$K_{ni}$  = Todos os nós  $k$  diretamente ligados a  $i$  inclusive  $k=i$ .

De acordo com a suposição "d", a equação 4.2 é desprezada. Pela suposição "a",  $V_i = V_k = 1.0$  p.u. e pela suposição "e",  $\sin \theta_{ik} = \theta_{ik} = \theta_i - \theta_k$ .

$$\text{Pela suposição "b", } G_{ik} = \frac{r_{ik}}{r_{ik}^2 + x_{ik}^2} = 0 \quad (4.3)$$

Sendo:

$r_{ik}$  = Resistência série do ramo  $ik$

$x_{ik}$  = Reatância série do ramo  $ik$

Logo, a equação 4.1 pode ser reescrita como:

$$P_i^G - P_i^C = \sum_{k \neq i} B_{ik} (\theta_i - \theta_k) \quad (4.4)$$

$$B_{ik} = \frac{x_{ik}}{r_{ik}^2 + x_{ik}^2} = \frac{1}{x_{ik}} \text{ pois } r_{ik} \text{ é desprezada} \quad (4.5)$$

Como  $P_i^G - P_i^C = P_i$  vem:

$$P_i = \sum_{k \neq i} \frac{\theta_i - \theta_k}{x_{ik}} \quad (4.6)$$

Podemos escrever 4.4 na forma matricial:

$$\bar{P}_N = \bar{A} \bar{\theta} \quad (4.7)$$

Sendo:

$\bar{P}_N$  = Vetor das potências ativas injetadas nos nós do sistema.

$\bar{\theta}$  = Vetor dos ângulos de fase dos nós do sistema.

$\bar{A}$  = Matriz quadrada,  $n \times n$ , cujos elementos são:

$$A_{ik} = -\frac{1}{x_{ik}} \quad (4.8)$$

$$A_{ii} = + \sum_{k \neq i} \frac{1}{x_{ik}} \quad (4.9)$$

Onde:

Os índices  $i$  e  $k$  referem-se aos nós do sistema e não necessariamente aos eixos da Matriz.

$\kappa_{ai}$  = Todos os nós  $k$ , conectados diretamente ao nó  $i$ , excluído  $k = i$ .

Devido a suposição "c", a matriz  $\bar{A}$  é singular. Pode-se levantar a singularidade de  $\bar{A}$ , referindo-a ao nó SWING, pela necessidade de tomar o ângulo de fase da tensão do nó SWING como referência para os demais ângulos. Isto corresponde a retirar de  $\bar{A}$  a fila e a coluna relativas àquele nó. A equação 4.7 com a redução descrita acima torna-se:

$$\tilde{P}_N = \tilde{A} \tilde{\theta} \quad (4.10)$$

Onde:

$\tilde{P}_N$  = Vetor  $P_N$  sem o nó de referência (swing)

$\tilde{\theta}$  = Vetor  $\theta$  sem o nó de referência.

$\tilde{A}$  = Matriz  $\bar{A}$  sem o nó de referência.

Da equação 4.10 tem-se:

$$\tilde{\theta} = \tilde{A}^{-1} \tilde{P}_N \quad (4.11)$$

Resolve-se a equação 4.11 obtendo-se os valores do vetor  $\tilde{\theta}$ . Fazendo  $\bar{\theta} = \tilde{\theta}$ , tira-se o valor do fluxo de potência ativa nos ramos, através de duas fórmulas:

$$FP_{ik} = \frac{(\theta_i - \theta_k)}{x_{ik}} \quad (4.12)$$

$$FP_{ik} = (\theta_i - \theta_k) \frac{x_{ik}}{r_{ik}^2 + x_{ik}^2} \quad (4.13)$$

A perda no ramo  $ik$  é dada por:

$$\text{Perda}_{ik} = r_{ik} FP_{ik}^2 \quad i \neq k$$

Perda total do sistema é:

$$\text{Perda total} = \sum_{\substack{i=1 \\ k=1}}^n r_{ik} FP_{ik}^2 \quad i \neq k$$

Sendo  $n$  = Número de barras do sistema.

## 5.1 Introdução

Mobilidade e ocorrência de falhas em sistemas, descrito no Capítulo 3, demonstraram muito trabalho, o qual utilizou a metodologia da Freqüência e Duração, obtivemos resultados importantes que servem para entender a influência da variação da taxa de falha e do tempo médio de reparo de falhas na transmissão nos índices de confiabilidade do sistema. A apresentação, através de tabelas e Figuras, Os valores obtidos com a aplicação das técnicas de extracção de dados desenvolvidas no capítulo 2 e a maneira de se calcular os valores de dependência que melhor se adapta ao tipo de carga do sistema são apresentados e comentados. Faz-se uma comparação entre os resultados obtidos com o programa CIRFED e o programa WEUS (32) para cálculo direto tanto de Freqüência e Duração. Finalmente temos um exemplo prático do programa CIRFED aplicado a um estudo de alternativas de aumentar as Reservas de Sistemas.

## CAPÍTULO 5

### ANÁLISE DE RESULTADOS



#### 5.2 Variação da taxa de falhas e tempo médio de reparo na transmissão

O objetivo é variar a taxa de falha e o tempo médio de reparo para obtermos os índices de transmissão e verificar a influência que isto exerce nos índices de confiabilidade do sistema. Isto se deve ao fato de existirem muitas dependências na obtenção destes valores, da vez considerarmos de energia elétrica para outra. Existem diferenças numéricas bem significativas como, por exemplo, para um índice de transmissão de 0,999, circuito simples, se temos valores diferentes tanto:

$\lambda = 1,5 \text{ Falhas/ano} = 100 \text{ Km.}$

$\lambda = 12 \text{ Falhas/ano} = 100 \text{ Km.}$  Estes dados foram obtidos da CNEC e MTE.

Portanto, se analisarmos a grau de influência destas variações nos índices de confiabilidade, podemos ter conclusões significativas em relação

### 5.1 Introdução

Utilizando o programa computacional CONFBRE, descrito no Apêndice 3, desenvolvido neste trabalho, o qual utiliza a metodologia de Freqüência e Duração, obtivemos resultados importantes que serão mostrados a seguir. A influência da variação da taxa de falha e do tempo médio de reparo de linhas de transmissão nos índices de confiabilidade do sistema é apresentada, através de tabelas e figuras. Os valores obtidos com a aplicação das técnicas de arredondamento desenvolvidas no capítulo 2 e a maneira de se escolher o valor do arredondamento que melhor se adapta ao tipo de carga do sistema são mostrados e comentados. É feita uma comparação entre os resultados obtidos com o programa CONFBRE e o programa FREDUR (35) que utiliza a metodologia de Freqüência e Duração. Finalizando temos uma utilização prática do programa CONFBRE aplicada a um estudo de alternativas de suprimento ao Estado do Mato Grosso.

### 5.2 Variação de taxa de falha e tempo médio de reparo de linhas de transmissão

O objetivo é variar a taxa de falha e o tempo médio de reparo  $r$  das linhas de transmissão e verificar a influência que isto acarreta nos índices de confiabilidade do sistema. Isto se deve ao fato de existirem muitas discrepâncias na obtenção destes valores, de uma concessionária de energia elétrica para outra. Existem diferenças numéricas bem acentuadas como por exemplo, para uma linha de transmissão de 230 Kv, circuito simples, em regiões diferentes temos:

$$\lambda_1 = 1,5 \text{ falhas/ano} - 100 \text{ Km.}$$

$$\lambda_2 = 12 \text{ falhas/ano} - 100 \text{ Km. Estes dados foram obtidos da CHESF e COPEL.}$$

Portanto, ao analisarmos o grau de influência desta variação nos índices de confiabilidade, podemos ter conclusões significativas com relação

a dados divergentes, haja visto que a parte relativa a dados na área de confiabilidade no sistema brasileiro, ainda se encontra em fase de consolidação com respeito a coletas, históricos, etc.

Veremos a seguir os resultados da variação da taxa de falha e do tempo médio de reparo das linhas de transmissão, nos índices de confiabilidade obtidos pelo programa computacional CONFBRE.

### 5.3 Resultados práticos

#### a) Arredondamento

Com relação ao arredondamento é necessário se fazer um estudo de sensibilidade no sentido de se analisar qual o melhor arredondamento para cada sistema. Após ser definido este valor passamos a usá-lo em todos os cálculos, pois isto representa economia de memória e tempo de computação. O tempo computacional é reduzido visto que menos estados da tabela de capacidades serão combinados com os níveis de carga. Este método de Freqüência e Duração é muito sensível quanto a modificação no sistema, principalmente com relação à carga. Para um mesmo sistema gerador e utilizando o mesmo valor de arredondamento o erro com relação aos índices de confiabilidade, probabilidade, freqüência e duração cumulativas para o primeiro estado de margem negativa é menor na carga pesada, sendo maior na carga leve. O valor de arredondamento na maioria das vezes é diferente para cada caso. Utilizando o programa CONFBRE, o sistema teste descrito no apêndice 2, sem considerar transmissão e utilizando o modelo de carga descrito no capítulo 3 ítem 3,2, aplicamos as técnicas de arredondamento desenvolvidas nesta dissertação. Como resultado observou-se que o valor que deu o menor erro para carga pesada  $VA = 10 \text{ MW}$ , tabela 5.4, não é o mesmo do menor erro para carga média  $VA = 30 \text{ MW}$ , tabela 5.5. Para carga leve o menor erro foi com  $VA = 10 \text{ MW}$ , tabela 5.6. Truncando as probabilidades em  $10^{-8}$ , obtivemos os seguintes resultados, mostrados a seguir, nas tabelas 5.1, 5.2 e 5.3.

CARGA PESADA VA = 10 MW

Tabela 5.1

TABELA	PROBABILIDADE	FREQUÊNCIA (DIAS) <sup>-1</sup>	DURAÇÃO (HORAS)
REAL	0,00385253	0,01112960	8,3077
GERADOR ARREDONDADO	0,00388542	0,01121454	8,3151
TABELA ARREDONDADA	0,00388541	0,01121590	8,3141

CARGA MÉDIA VA = 30 MW

Tabela 5.2

TABELA	PROBABILIDADE	FREQUÊNCIA (DIAS) <sup>-1</sup>	DURAÇÃO (HORAS)
REAL	0,00026463	0,00081566	7,7865
GERADOR ARREDONDADO	0,00026840	0,00082723	7,7870
TABELA ARREDONDADA	0,00026840	0,00082811	7,7787

CARGA LEVE VA = 10 MW

Tabela 5.3

TABELA	PROBABILIDADE	FREQUÊNCIA (DIAS) <sup>-1</sup>	DURAÇÃO (HORAS)
REAL	0,00000018	0,00000058	7,5463
GERADOR ARREDONDADO	0,00000020	0,00000064	7,5295
TABELA ARREDONDADA	0,00000020	0,00000064	7,5284

## TABELA DE MARGEM CUMULATIVA

\*\*\*\*\*  
\*\*\*\*\*  
\*\*\*\*\*

RESERVA (MW)	PROBABILIDADE CUMULATIVA	FREQUENCIA CUMULATIVA	PERIODO CUMULATIVO (DIAS)	DURACAO CUMULATIVA (HORAS)
597.00	.0547944557	.000000000000	,000	,0000
587.00	.0478775115	.010833562360	92.306	106.0649
577.00	.0477203080	.011069464745	90.339	103.4637
567.00	.0474839057	.011424572341	87.531	99.7511
17.00	.0040368378	.011743393714	85.154	8.3523
7.00	.0040015695	.011522531122	86.786	8.3348
-3.00	.0038854242	.011214541000	89.170	8.3151
-13.00	.0029384041	.008545228500	117.024	8.2528
-23.00	.0026118060	.008205384334	121.871	8.2243
-33.00	.0027375264	.007995991039	125.063	8.2167
-43.00	.0024489593	.007168688405	139.496	8.1989
-53.00	.0021636137	.006356160335	157.328	8.1695
-63.00	.0018814887	.005549617312	180.193	8.1367
-583.00	.0000015687	.000004991828	200327.422	7.5412
-593.00	.0000014126	.000004493368	222550.223	7.5449
-603.00	.0000012319	.000003915205	255414.481	7.5517
-613.00	.0000008703	.000002777704	360009.592	7.5199
-623.00	.00000087021	.000002241981	446034.146	7.5165
-633.00	.00000066387	.000002036232	491103.154	7.5231
-643.00	.0000005320	.000001697303	589169.964	7.5219
-653.00	.0000004049	.000001292589	773641.355	7.5165
-663.00	.0000003074	.000000983566	1016708.808	7.5015
-673.00	.0000002739	.000000875179	1142623.848	7.5084
-683.00	.0000002384	.000000761773	1312727.358	7.5178
-693.00	.0000001431	.000000459854	2174601.418	7.4666
-703.00	.0000001107	.000000355979	2809155.314	7.4632
-713.00	.0000000936	.000000301515	3316581.595	7.4647
-723.00	.0000000673	.000000216814	4612252.269	7.4535
-733.00	.0000000405	.000000132018	7574734.570	7.4291
-763.00	.0000000164	.000000052954	18534144.063	7.2833

TABELA 5.4 SISTEMA TESTE VA=10 CARGA PESSADA - ARREDONDA GERADOR

TABELA DE MARGEM CUMULATIVA  
\*\*\*\*\*

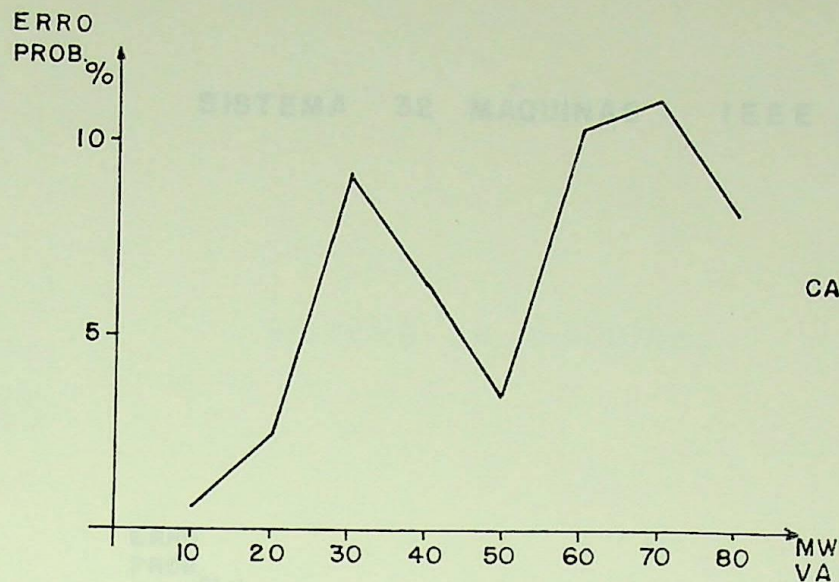
RESERVA (MIN)	PROBABILIDADE CUMULATIVA	FREQUENCIA CUMULATIVA	PERÍODO CUMULATIVO (DIAS)	DURAÇÃO CUMULATIVA (HORAS)
870.00	* .0547944516	* .000000000000	* .000	* .0000
840.00	* .0476527103	* .011037434718	* 90.601	* 103.7039
810.00	* .0431711099	* .017900122140	* 55.866	* 57.8827
780.00	* .0398459151	* .024429149597	* 40.935	* 38.1635
750.00	* .0349894451	* .030208612149	* 33.103	* 27.7983
5.00	* .0002905327	* .000892606536	* 1120.314	* 7.8117
.00	* .0002891960	* .000826188457	* 1210.378	* 7.8199
-5.00	* .0002634048	* .000827234997	* 1208.846	* 7.7870
-15.00	* .0002660279	* .000819807519	* 1219.799	* 7.7880
-25.00	* .0002025211	* .000624432375	* 1601.454	* 7.7839
-30.00	* .0001685655	* .000580919220	* 1721.410	* 7.7904
-35.00	* .0001580877	* .000581549947	* 1719.543	* 7.7622
-45.00	* .0001364017	* .000576275858	* 1735.280	* 7.7630
-55.00	* .0001256890	* .000420040743	* 2380.721	* 7.7528
-60.00	* .0001256681	* .000388841153	* 2571.744	* 7.7565
-65.00	* .0001253925	* .000389202250	* 2569.358	* 7.7323
-315.00	* .0000034827	* .000011027422	* 90683.026	* 7.5798
-325.00	* .0000022101	* .000007012377	* 142605.003	* 7.5642
-345.00	* .0000020521	* .000006509969	* 153610.555	* 7.5654
-355.00	* .0000012633	* .000004078646	* 245179.435	* 7.5513
-375.00	* .0000011879	* .000003775066	* 264900.223	* 7.5520
-385.00	* .0000007277	* .000002317263	* 431543.604	* 7.5363
-405.00	* .00000066727	* .000002141874	* 466880.956	* 7.5375
-415.00	* .00000044004	* .000001276047	* 782443.973	* 7.5190
-435.00	* .0000003705	* .000001182196	* 845883.475	* 7.5210
-445.00	* .0000002125	* .000000679789	* 1471045.639	* 7.5010
-465.00	* .0000001964	* .000000628155	* 1591962.633	* 7.5035
-495.00	* .0000001010	* .000000324516	* 3081510.288	* 7.4675
-525.00	* .0000000460	* .000000149127	* 6705699.482	* 7.4031
-555.00	* .0000000161	* .000000053276	* 18770170.478	* 7.2397

TABELA 5.5 SISTEMA TESTE VA=30 CARGA MÉDIA - ARREDONDA GERADOR

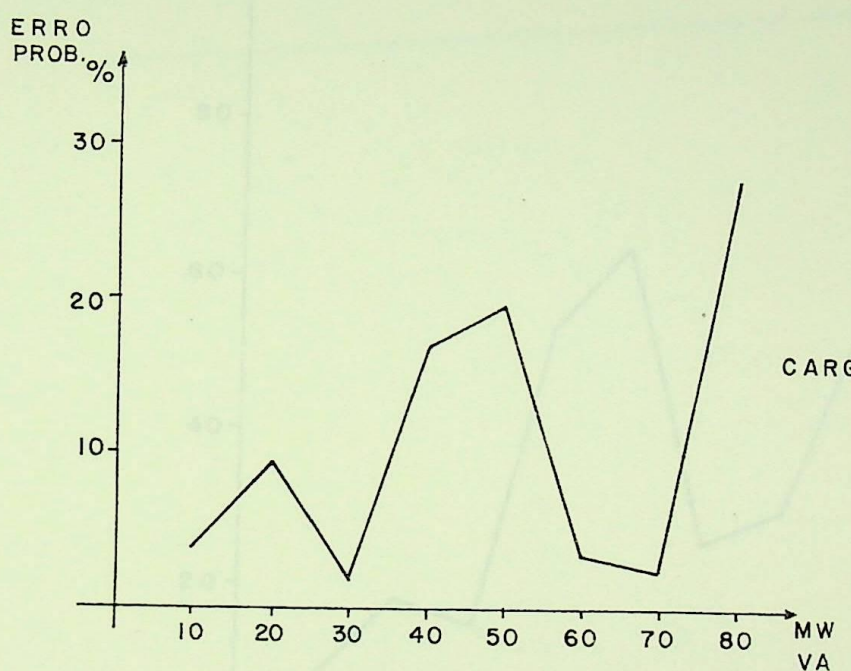
TABELA DE MARGEM CUMULATIVA  
\*\*\*\*\*

RESERVA (HRS)	PROBABILIDADE CUMULATIVA	FREQUENCIA CUMULATIVA	PERIODO (DIAS)	DURACAO (HORAS)
1305.00	* .0547944297	* .000000000000	* ,000	* ,0000 *
1295.00	* .0478774754	* .010833445733	* 92.307	* 106.0659 *
1285.00	* .0477202719	* .011069348118	* 90.340	* 103.4647 *
1275.00	* .0474938697	* .011424455714	* 87.532	* 99.7520 *
1265.00	* .0453043337	* .014729942010	* 67.889	* 73.8159 *
1255.00	* .0432457104	* .017848244624	* 56.028	* 58.1512 *
1245.00	* .0410771694	* .021162672263	* 47.253	* 46.5845 *
1235.00	* .0406655745	* .021764422354	* 45.947	* 44.8426 *
1225.00	* .0399730213	* .022778106298	* 43.902	* 42.1173 *
1215.00	* .0384659044	* .028098514957	* 35.589	* 31.1469 *
65.00	* .0000007700	* .000002454825	* 407361.049	* 7.5278 *
60.00	* .0000007467	* .000002380310	* 420113.315	* 7.5286 *
55.00	* .0000006066	* .000001934570	* 516910.830	* 7.5252 *
50.00	* .0000005850	* .000001865827	* 535955.512	* 7.5247 *
40.00	* .0000005352	* .000001705587	* 586308.522	* 7.5318 *
30.00	* .0000004521	* .000001440915	* 694003.354	* 7.5309 *
25.00	* .0000003485	* .000001111490	* 899693.435	* 7.5258 *
20.00	* .00000023335	* .000001063567	* 940232.656	* 7.5263 *
10.00	* .00000022576	* .000000823033	* 1215012.451	* 7.5130 *
.00	* .0000002304	* .000000735467	* 1359681.078	* 7.5200 *
-10.00	* .0000002020	* .000000643887	* 1553067.799	* 7.5295 *
-20.00	* .0000001212	* .000000389123	* 2569884.064	* 7.4766 *
-30.00	* .0000000649	* .000000304635	* 3282614.228	* 7.4734 *
-40.00	* .0000000813	* .000000260953	* 3832102.792	* 7.4753 *
-50.00	* .0000000534	* .000000183366	* 5308823.317	* 7.4633 *
-60.00	* .0000000352	* .000000115678	* 8644683.434	* 7.4377 *
-90.00	* .0000000148	* .000000048605	* 20574109.925	* 7.2930 *

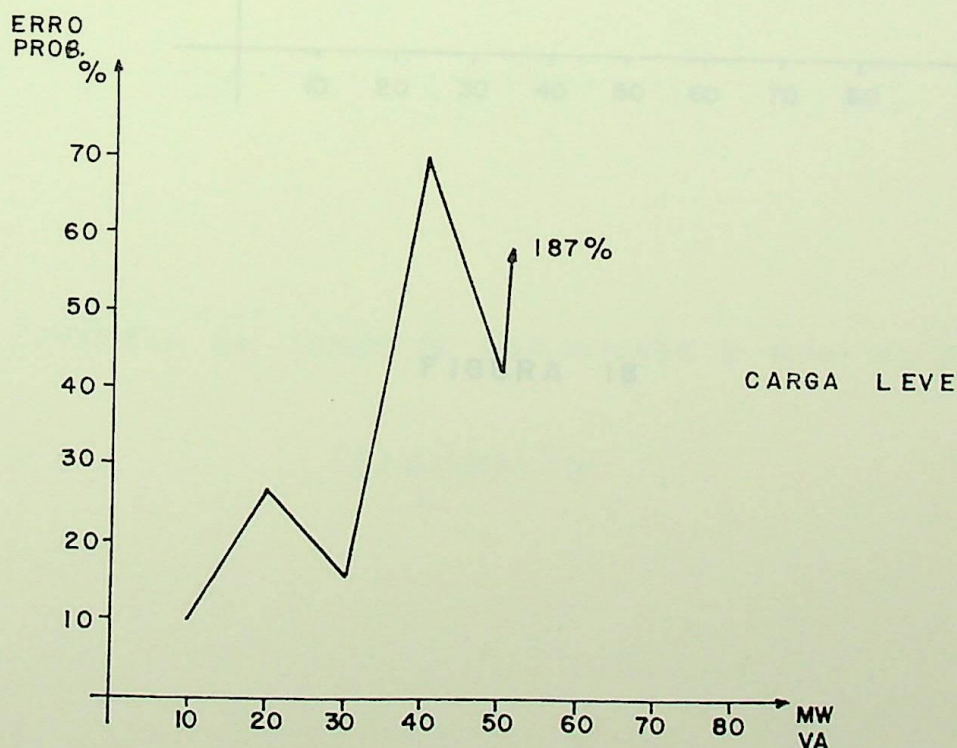
TABELA 5.6 SISTEMA TESTE - VA=10 CARGA LEVE - ARREDONDA GERADOR



CARGA PESADA



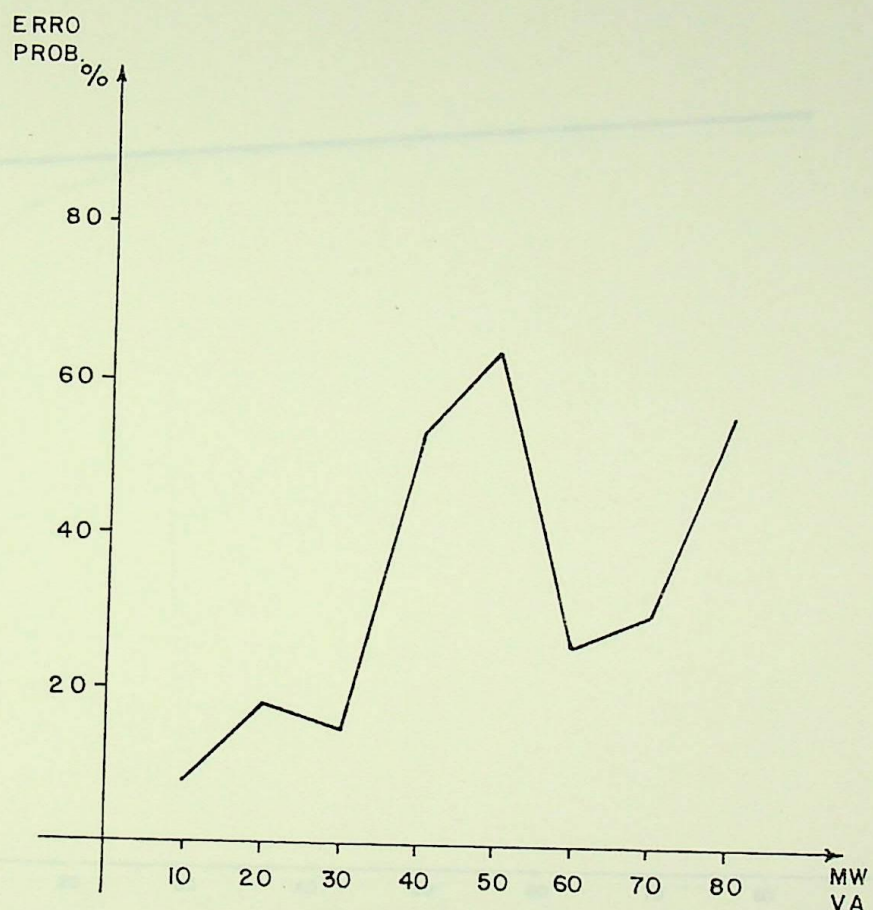
CARGA MÉDIA



CARGA LEVE

## SISTEMA 32 MÁQUINAS - IEEE TEST

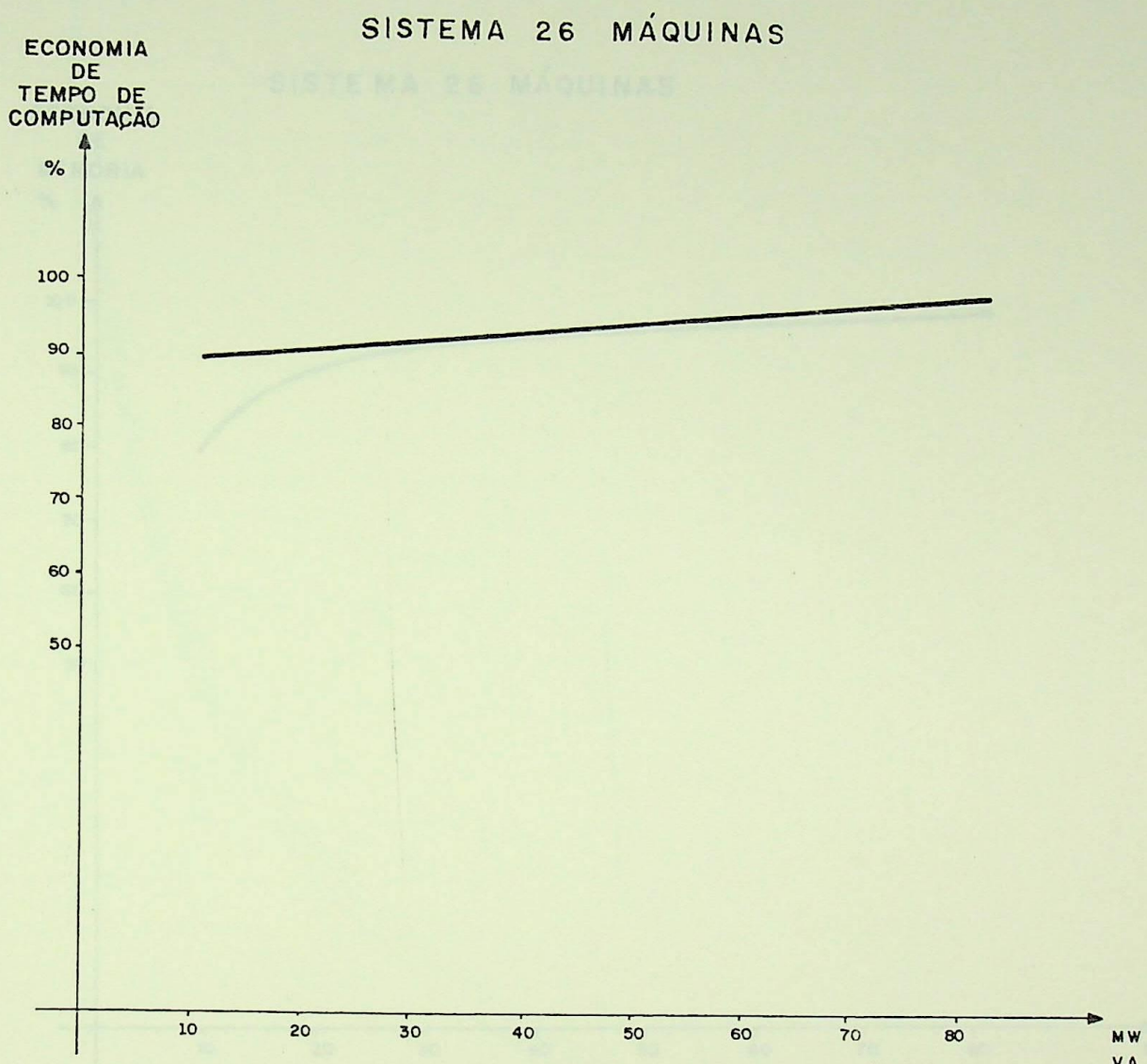
SISTEMA 32 MÁQUINAS



Economia de tempo é função do valor do erro de arredondamento

FIGURA 18

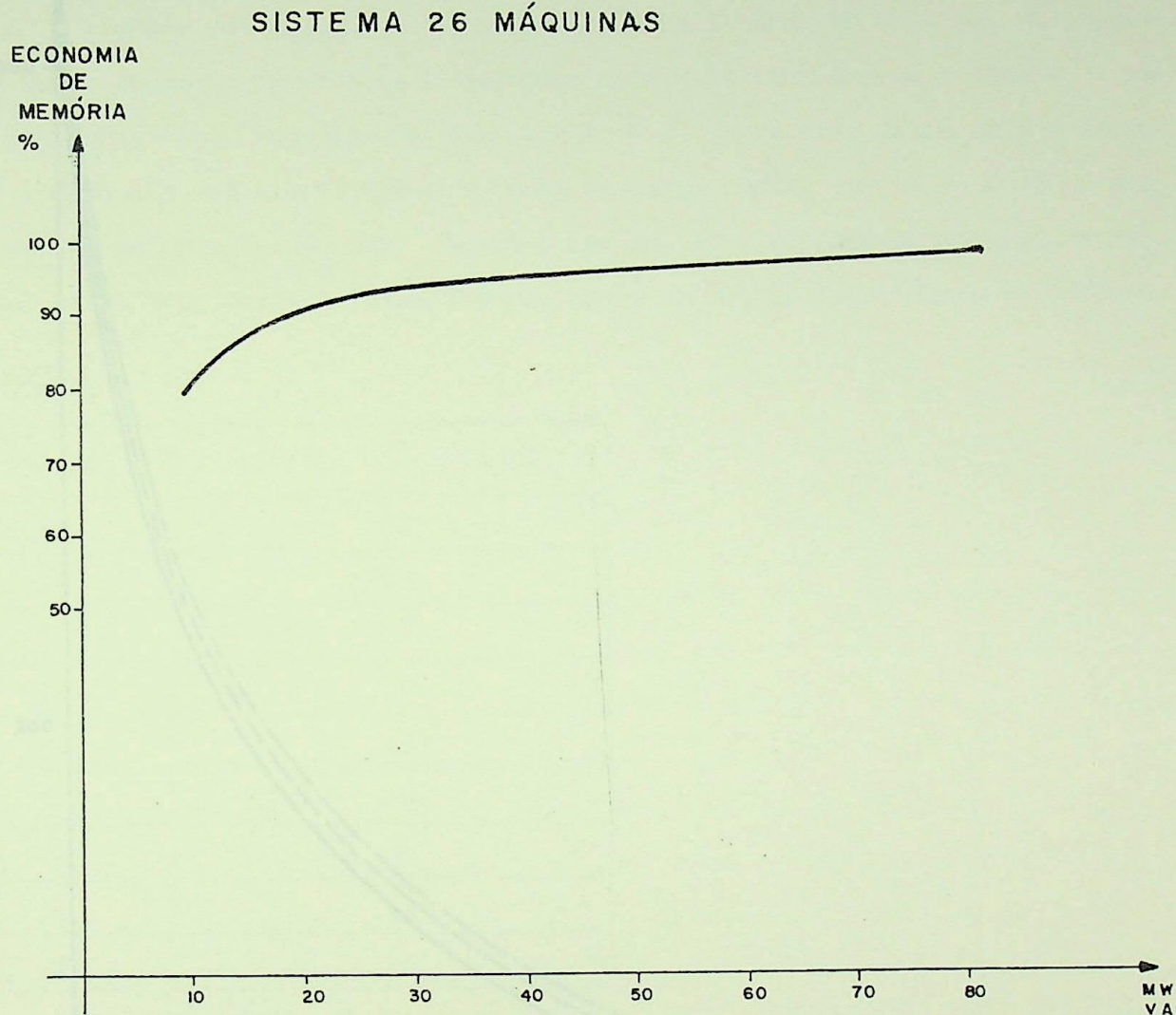
FIGURA 19



- Economia de tempo de Computação x valor do arredondamento

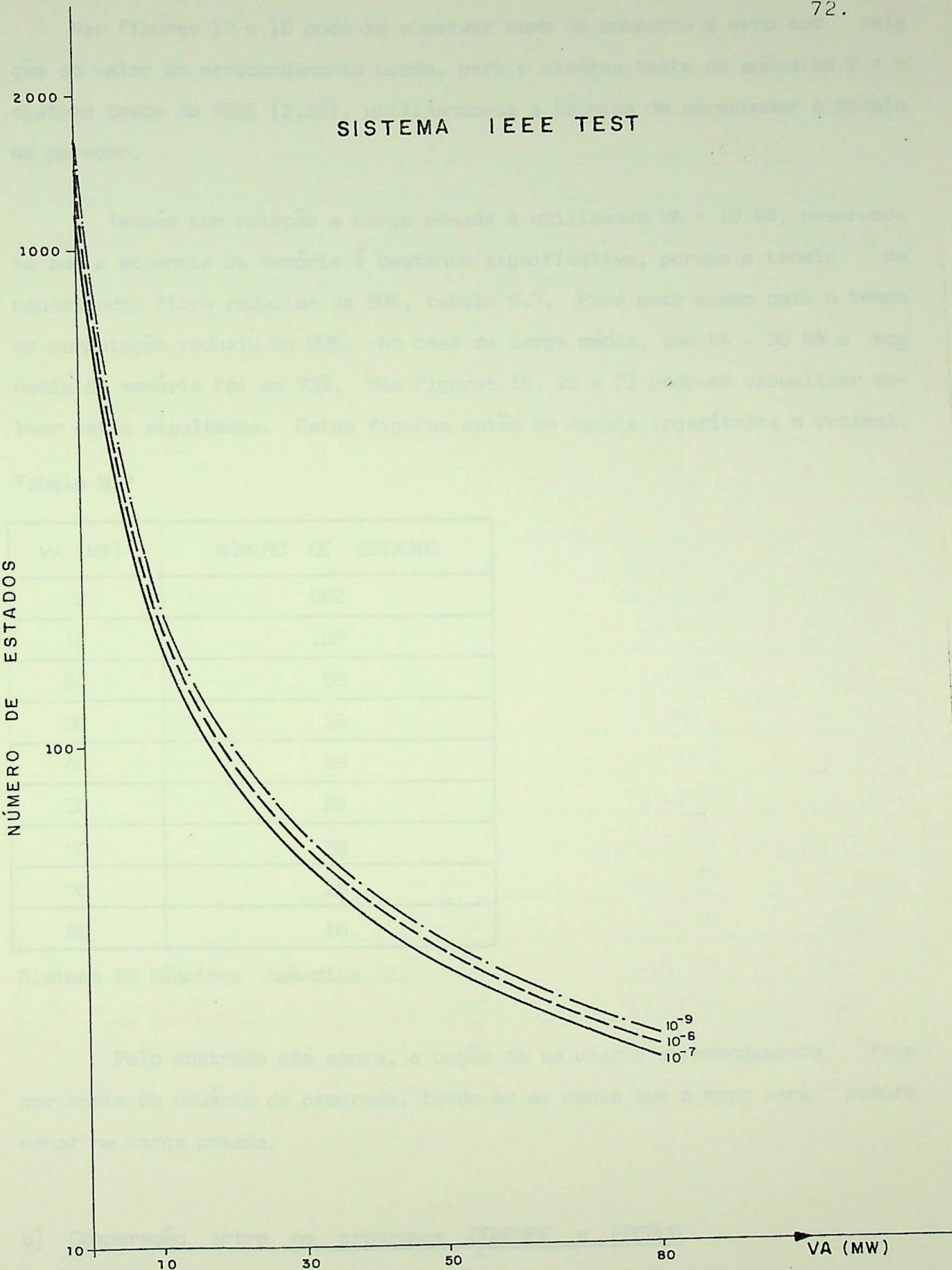
FIGURA 19

SISTEMA 26 MÁQUINAS



Economia de Memória X Valor do Arredondamento

FIGURA - 20

**FIGURA 21**

Nas figuras 17 e 18 pode-se observar como se comporta o erro com relação ao valor de arredondamento usado, para o sistema teste do apêndice 2 e o sistema teste do IEEE (2,16), utilizando-se a técnica de arredondar o modelo do gerador.

Também com relação a carga pesada e utilizando  $VA = 10 \text{ MW}$ , observou-se que a economia de memória é bastante significativa, porque a tabela de capacidades ficou reduzida de 80%, tabela 5.7. Para este mesmo caso o tempo de computação reduziu de 90%. No caso da carga média, com  $VA = 30 \text{ MW}$  a economia de memória foi de 93%. Nas figuras 19, 20 e 21 pode-se visualizar melhor estes resultados. Estas figuras estão em escala logarítmica e decimal.

Tabela 5.7

VA (MW)	NÚMERO DE ESTADOS
0	562
10	109
20	55
30	38
40	28
50	23
60	20
70	18
80	16

Sistema 26 Máquinas Apêndice 2.

Pelo mostrado até agora, a opção de se usar o arredondamento fica por conta do usuário do programa, tendo-se em mente que o erro será sempre menor na carga pesada.

b) Comparação entre os programas CONFBRE e FREDUR

O sistema descrito no apêndice 1, sem a transmissão (9,20) foi testado nos programas CONFBRE e FREDUR (35) cujos resultados, tirados das tabelas

de margem cumulativa estão mostrados abaixo. O programa FREDUR é um programa que utiliza a metodologia de Frequência e Duração, o modelo de carga descrito no ítem 3.2 do capítulo 3 e a técnica de arredondar a tabela. Os resultados se referem aos índices de confiabilidade do sistema e correspondem ao primeiro estado de margem negativa. As probabilidades foram truncadas em  $10^{-8}$  e a técnica usada é arredondamento da tabela.

PROGRAMA CONFRE:

Tabela 5.8

VA (MW)	PROBABILIDADE	FREQUÊNCIA CUMULATIVA (DIAS) <sup>-1</sup>	DURAÇÃO CUMULATIVA (HORAS)	ENERGIA NÃO SUPR. (MWH/ANO)
0	0,00008988	0,00018793	11,47803	48,83
10	0,00009836	0,00020572	11,4750	49,22
20	0,00010181	0,00021295	11,47378	49,87
30	0,00008819	0,00018449	11,47308	50,44
40	0,00014938	0,00031011	11,56062	53,14
50	0,00009886	0,00020679	11,47403	51,13
60	0,00013229	0,00027513	11,53935	63,38
70	0,00022075	0,00045628	11,61108	61,25
80	0,00011273	0,00023482	11,52153	68,50
90	0,00006549	0,00013726	11,45149	61,93
100	0,00022339	0,00046233	11,59656	94,22

## PROGRAMA FREDUR:

Tabela 5.9

VA (MW)	PROBABILIDADE	FREQÜÊNCIA CUMULATIVA (DIAS) <sup>-1</sup>	DURAÇÃO CUMULATIVA (HORAS)	ENERGIA NÃO SUPR. (MWH/ANO)
0	0,00008988	0,00018793	11,47803	48,83
10	0,00009837	0,00020574	11,47493	49,23
20	0,00010181	0,00021300	11,47198	49,88
30	0,00008820	0,00018454	11,47077	50,45
40	0,00014938	0,00031017	11,55868	53,14
50	0,00009886	0,00020679	11,47401	51,14
60	0,00013229	0,00027519	11,53714	63,38
70	0,00022075	0,00045631	11,61044	61,25
80	0,00011273	0,00023488	11,51912	68,50
90	0,00006549	0,00013727	11,45121	61,94
100	0,00022340	0,00046237	11,59585	94,23

Como se pode ver, os dois programas fornecem resultados praticamente idênticos. O resultado do sistema sem arredondamento, VA = 0 MW, nos dois programas é idêntico ao resultado fornecido pela referência 9. O objetivo da comparação entre os dois programas foi para comprovar que o programa computacional desenvolvido nesta dissertação (CONFIRE) é confiável, produzindo mesmos resultados que um programa semelhante que utiliza a metodologia de Freqüência e Duração.

c) Variação da taxa de falha e tempo médio de reparo de Linhas de Transmissão

Este mesmo sistema do apêndice 1, foi testado no programa CONFIRE para se ver a influência da variação da taxa de falha e do tempo médio de reparo das linhas de transmissão nos índices de confiabilidade. As probabilidades foram truncadas em  $10^{-8}$ . Os resultados, primeiro estado de margem

negativa, da tabela de margem cumulativa estão mostrados nas tabelas abaixo. Nas figuras 22, 23, 24 e 25 pode-se visualizar melhor estes resultados. Estas figuras estão em escala logarítmica e decimal.

Considerando as perdas de transmissão:

$\lambda$  FIXO

r VARIA

Tabela 5.10

VARIAÇÃO	PROBABILIDADE	FREQUÊNCIA CUMULATIVA $(DIAS)^{-1}$	DURAÇÃO CUMULATIVA (HORAS)	ENERGIA NÃO SUPRIDIDA (MWH/ANO)
SEM VARIAR	0,00156751	0,00299782	12,54917	910,92
$2 \times r$	0,00156770	0,00300178	12,53418	911,58
$4 \times r$	0,00156850	0,00301030	12,50510	913,64
$6 \times r$	0,00156983	0,00301972	12,47659	917,07
$8 \times r$	0,00157167	0,00303011	12,44845	921,87
$10 \times r$	0,00157404	0,00304144	12,42076	928,03
$15 \times r$	0,00158220	0,00307376	12,35382	949,33
$20 \times r$	0,00159351	0,00311175	12,29026	979,00

$\lambda$  VARIA       $r$  FIXO

Tabela 5.11

VARIAÇÃO	PROBABILIDADE	FREQUÊNCIA CUMULATIVA (DIAS) <sup>-1</sup>	DURAÇÃO CUMULATIVA (HORAS)	ENERGIA NÃO SUPRIDA (MWH/ANO)
SEM VARIAR	0,00156751	0,00299782	12,54917	910,92
$2 \times \lambda$	0,00156771	0,00278840	13,49335	911,58
$4 \times \lambda$	0,00156850	0,00239109	15,74346	913,65
$6 \times \lambda$	0,00156983	0,00202192	18,63375	917,09
$8 \times \lambda$	0,00157168	0,00168048	22,44612	921,90
$10 \times \lambda$	0,00157405	0,00136615	27,65229	928,07
$15 \times \lambda$	0,00158223	0,00069526	54,61799	949,42
$20 \times \lambda$	0,00159357	0,00018165	210,54507	979,17

Sem as perdas da transmissão:

$\lambda$  FIXO       $r$  VARIA

Tabela 5.12

VARIAÇÃO	PROBABILIDADE	FREQUÊNCIA CUMULATIVA (DIAS) <sup>-1</sup>	DURAÇÃO CUMULATIVA (HORAS)	ENERGIA NÃO SUPRIDA (MWH/ANO)
SEM VARIAR	0,0008993	0,00017799	12,12594	48,92
$2 \times r$	0,00009009	0,00018088	11,95342	49,18
$4 \times r$	0,00009073	0,00018724	11,62973	50,23
$6 \times r$	0,00009180	0,00019434	11,33611	51,98
$8 \times r$	0,00009328	0,00020222	11,07059	54,42
$10 \times r$	0,00009518	0,00021087	10,83339	57,56
$15 \times r$	0,00010175	0,00023574	10,35868	68,47
$20 \times r$	0,00011086	0,00026524	10,03151	83,74

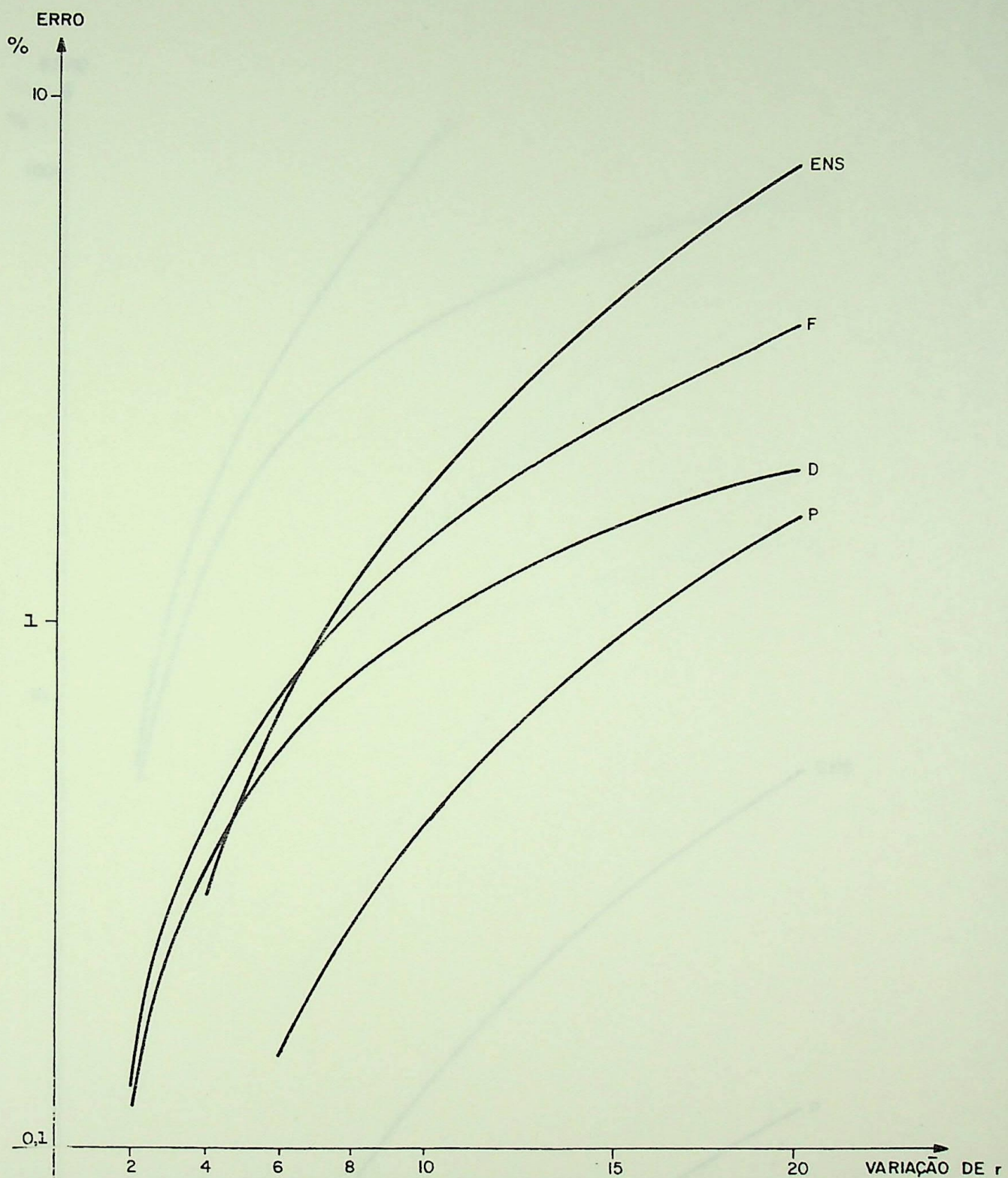
COM PERDAS  $\lambda$  FIXO  $r$  VARIA

FIGURA - 22

COM PERDAS  $\lambda$  VARIA  $r$  FIXO

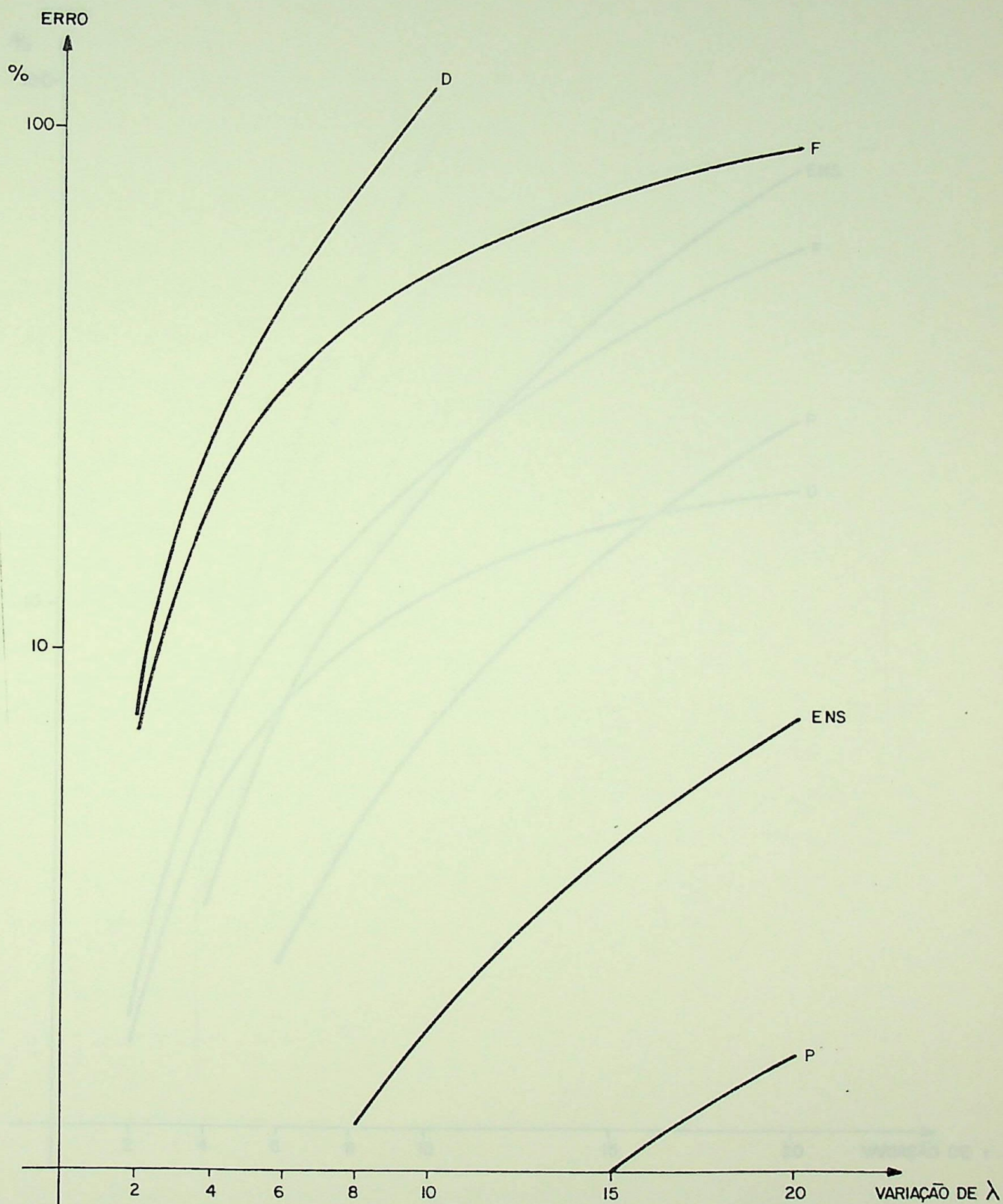


FIGURA -23

SEM PERDAS  $\lambda$  FIXO  $r$  VARIA

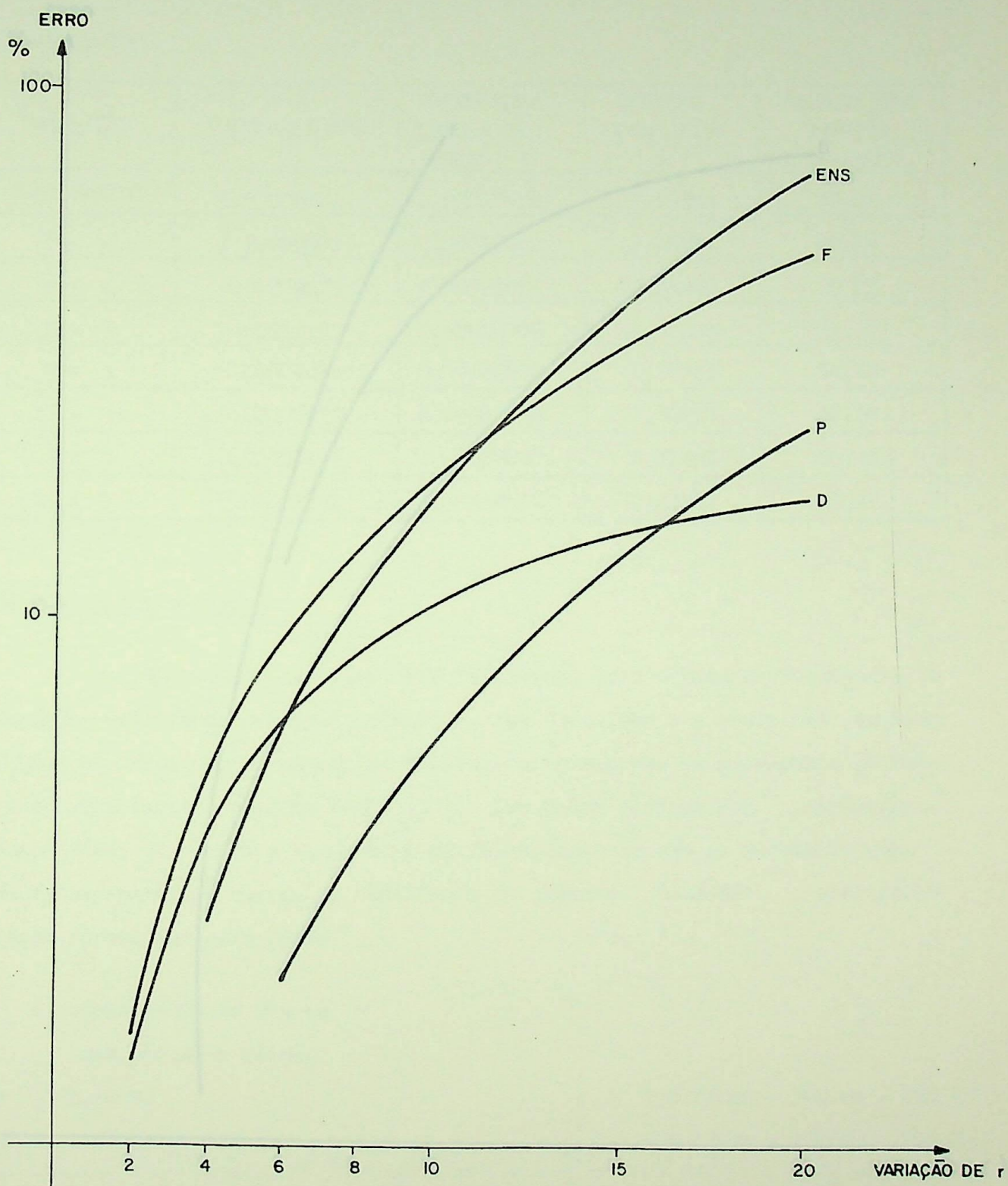


FIGURA - 24

SEM PERDAS  $\lambda$  VARIA  $r$  FIXO

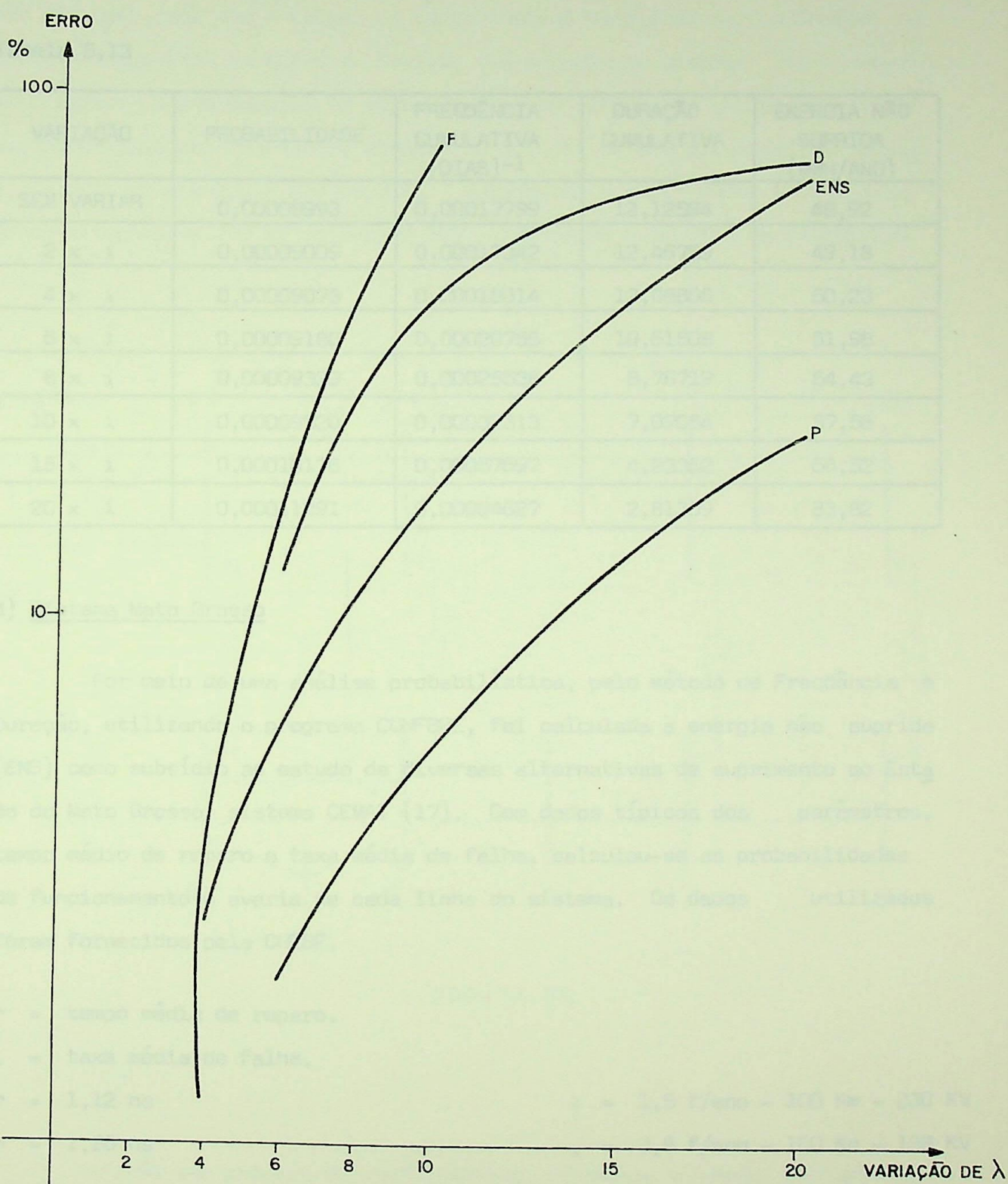


FIGURA - 25

$\lambda$  VARIA       $r$  FIXO

Tabela 5.13

VARIAÇÃO	PROBABILIDADE	FREQUÊNCIA CUMULATIVA (DIAS) <sup>-1</sup>	DURAÇÃO CUMULATIVA	ENERGIA NÃO SUPRIDA (MWH/ANO)
SEM VARIAR	0,00008993	0,00017799	12,12594	48,92
$2 \times \lambda$	0,00009009	0,00017342	12,46759	49,18
$4 \times \lambda$	0,00009073	0,00018014	12,08866	50,23
$6 \times \lambda$	0,00009180	0,00020755	10,61508	51,98
$8 \times \lambda$	0,00009329	0,00025538	8,76719	54,43
$10 \times \lambda$	0,00009520	0,00032313	7,07054	57,58
$15 \times \lambda$	0,00010178	0,00057697	4,23362	68,52
$20 \times \lambda$	0,00011091	0,00094627	2,81309	83,82

#### d) Sistema Mato Grosso

Por meio de uma análise probabilística, pelo método de Freqüência e Duração, utilizando o programa CONFBRE, foi calculada a energia não suprida (ENS) como subsídio ao estudo de diversas alternativas de suprimento ao Estado do Mato Grosso, sistema CEMAT (17). Com dados típicos dos parâmetros, tempo médio de reparo e taxa média de falha, calculou-se as probabilidades de funcionamento e avaria de cada linha do sistema. Os dados utilizados foram fornecidos pela CHESF.

$r$  = tempo médio de reparo.

$\lambda$  = taxa média de falha.

$r$  = 1,12 hs

$r$  = 1,26 hs

$\lambda$  = 1,5 f/ano - 100 Km - 230 KV

$\lambda$  = 3,5 f/ano - 100 Km - 138 KV

Através de estudos de contingências efetuados para o sistema foram determinados os diversos estados de potência disponível na barra de Coxipó. Para cada estado de potência disponível temos a respectiva probabilidade. En-

tão resulta uma tabela de capacidade disponível na barra de Coxipó, a qual deve ser combinada com a carga. A idéia central baseia-se na combinação da potência disponível na barra de Coxipó, com a carga do sistema concentrada nesta barra. Desta equação se obtém reserva ou déficit de energia no sistema. Como vimos anteriormente, através do déficit de energia, reserva negativa, calcula-se a energia não suprida. Como exemplo mostraremos a configuração da alternativa 230 kV no ano de 1987, figura 26 e os resultados obtidos.

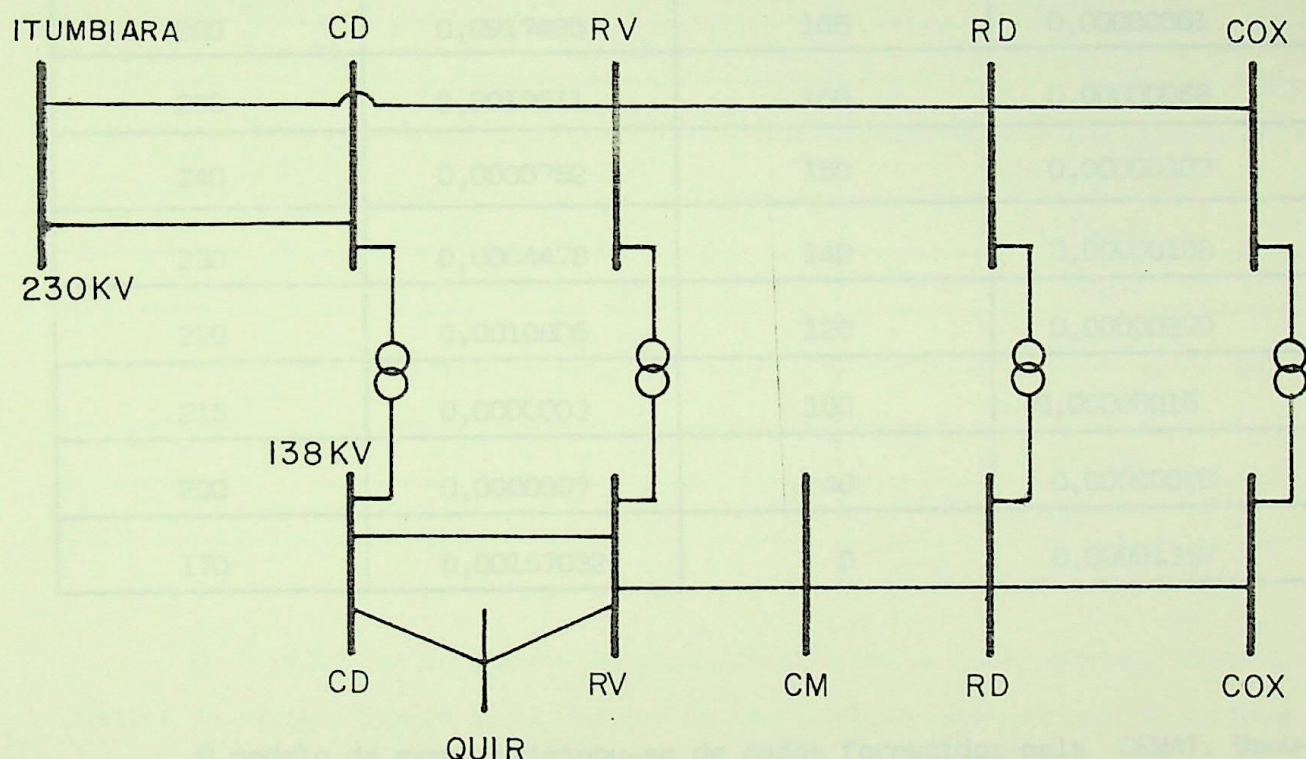


FIGURA-26

Através dos estudos de contingências, obteve-se a tabela de capacidade disponível, tabela 5.14.

Tabela 5.14

CAPACIDADE DISPONÍVEL MW	PROBABILIDADE	CAPACIDADE DISPONÍVEL MW	PROBABILIDADE
260	0,9917420	165	0,00000061
250	0,0019611	160	0,00000068
240	0,0030752	150	0,00000109
230	0,0004478	140	0,00000188
220	0,0010806	120	0,00000270
210	0,0000003	100	0,00000016
200	0,0000007	40	0,00000070
170	0,00167032	0	0,00001387

O modelo da carga originou-se de dados fornecidos pela CEMAT. Usou-se o modelo carga-fator de exposição. O fator de exposição de carga "e" foi considerado como sendo 1/6 do dia. Os níveis de carga estão mostrados na tabela 5.15.

TABELA 5.15

CARGA MW	NÚMERO DE OCORRÊNCIAS DIAS	PROBABILIDADE
148	31	0,01415808
153	28	0,01278795
158	31	0,01415808
165	30	0,01370137
167,50	31	0,01415808
168	30	0,01370137
168,50	31	0,01415808
177	31	0,01415808
177	30	0,01370137
179	31	0,01415808
178	30	0,01370137
176	31	0,01415808
84	365	0,8333

Da combinação da tabela de capacidade, tabela 5.14, com os diversos estados de carga, tabela 5.15, obteve-se uma energia não suprida pelo sistema de 20,14 MW horas/ano. Para todos os anos estudados o procedimento é igual ao apresentado acima.

## **CAPÍTULO 6**

### **CONCLUSÕES**

## 6.1 Conclusões Finais

Através do método da Freqüência e Duração amplamente analisado nesta dissertação, foi desenvolvido o programa CONFBRE, para cálculo de confiabilidade de sistemas geradores, com quantificação opcional da influência da transmissão. Os índices de confiabilidade fornecidos pelo programa são os seguintes:

- Probabilidade do sistema não satisfazer à carga.
- Freqüência com que o sistema não satisfaz à carga.
- Período com que o sistema não satisfaz à carga.
- Duração deste estado.
- Energia não suprida no período em estudo.

Sistemas com grande número de unidades geradoras, podem gerar centenas de estados na tabela de capacidade do sistema gerador. Este problema pode ser parcialmente resolvido, aplicando-se a técnica de truncar as probabilidades menores do que um valor especificado. Esta redução no número de estados da tabela de capacidade é muito significativa em sistemas de grande porte. Mas esta redução, muitas vezes, dependendo do sistema, se este possuir um considerável número de geradores diferentes, pode não reduzir substancialmente o número de estados da tabela de Capacidades. Uma outra maneira de se reduzir o número de estados da tabela é usando-se o arredondamento. Foram desenvolvidas duas técnicas de arredondamento, com o objetivo de facilitar o estudo de grandes sistemas geradores, diminuindo o número de estados da tabela de capacidades. Estas técnicas consistem em se escolher o valor do arredondamento, resultando que os estados da tabela vão ser todos múltiplos inteiros deste valor de arredondamento, sendo que o primeiro estado da tabela de capacidades avariada é zero. As probabilidades e as taxas de saída vão ser absorvidas proporcionalmente pelos estados adjacentes da tabela. A nova tabela passa a ser uma aproximação da tabela original diminuindo de tamanho e produzindo menos relações físicas que a tabela original. A dimi-

nuição do número de estados da tabela de capacidades traz como benefício a economia de memória e do tempo de computação.

As duas técnicas de arredondamento fornecem resultados idênticos, sendo a técnica de arredondar o modelo do gerador a melhor e a que exige menos tempo de computação. O computador usado foi um IBM 4341. Inicialmente, imaginava-se que o erro acrescido nos índices, resultante do uso do arredondamento, variava linearmente de uma maneira crescente a medida que se aumentasse o valor do arredondamento. A literatura (35) diz que o erro cresce a medida que o valor do arredondamento aumenta. Isto não é verdade, pois pode-se ter erros grandes para valor do arredondamento pequeno. Os resultados obtidos com os programas CONFBRE e FREDUR (35) mostram que o erro não é linear, mas varia de uma maneira aleatória, sendo mais homogêneo quando a carga do sistema em estudo é alta se comparada com a geração. Portanto, ao se fazer um estudo para determinado sistema aplicando-se arredondamento e que este sistema esteja considerando carga leve, sabemos com certeza que o erro será menor para carga média e pesada. O valor do arredondamento, é claro, deve ser maior que a menor unidade geradora do sistema, caso contrário estaremos expandindo a tabela de capacidades em vez de reduzir. Dependendo do sistema de geração considerado, quando as unidades têm capacidades múltiplas entre si, como é o caso do sistema teste de apêndice 1, a economia de memória não é tão expressiva, como para o caso de unidades geradoras de valores bem diferentes, como no caso do sistema teste do apêndice 2, onde a economia de memória é muito grande.

A contribuição mais importante desta dissertação diz respeito à técnica de arredondar a unidade geradora. E como consequência a confirmação de que o arredondamento produz um certo erro nos índices de confiabilidade do sistema. Este erro não é linear, mas variável, pois um valor de arredondamento grande não significa necessariamente que o erro acrescido nos índices de confiabilidade do sistema seja maior que o erro que apareceu para um valor de arredondamento menor. Por isto a necessidade de se fazer um estudo de sensibilidade no sentido de se analisar qual o melhor arredondamento para

cada sistema. As fórmulas de remoção de uma unidade geradora da tabela de capacidades podem ser usadas para a tabela original e para a técnica de arredondar o modelo do gerador.

O sistema gerador, reduzido ou não, vai se combinar com o modelo da carga e gerar uma tabela de margem, que também será menor se a tabela de capacidades foi arredondada. O modelo da carga que utilizamos foi o descrito no capítulo 3 ítem 3.2. Através da tabela de margem cumulativa, são obtidos os índices de confiabilidade do sistema. A comparação entre o programa CONFBRE e o programa FREDUR mostrada no capítulo 5 e utilizando como teste o sistema do apêndice 1, amplamente utilizado na literatura de confiabilidade de sistemas se constitui uma segurança quanto a veracidade dos resultados obtidos nesta dissertação.

Com relação a transmissão utilizamos um modelo radial. Existem muitos casos e o sistema brasileiro é típico onde se tem centrais geradoras de grande porte ligadas ao sistema através de linhas radiais. A geração pode ficar indisponível não só por avaria na geração, mas por avaria na transmissão. Então procuramos transformar a geração numa capacidade disponível equivalente onde os efeitos da transmissão estão incorporados. Utilizando este modelo da transmissão, podemos calcular caso se deseje, as perdas ativas do sistema de transmissão através de um Fluxo de Carga DC. Podemos calcular as perdas de duas maneiras: com a fórmula aproximada Eq.(4.12) e com a fórmula mais completa Eq.(4.13), dependendo da opção do usuário. As perdas, depois de calculadas são adicionadas às respectivas cargas do sistema.

Os diferentes valores encontrados na literatura e bancos de dados de confiabilidade, contribuíram para o estudo da influência da variação da taxa de falha e do tempo médio de reparo de linhas de transmissão. Considerando as perdas da transmissão, a carga do sistema aumenta, pois as perdas são adicionadas às cargas, e quando variamos o tempo médio de reparo a diferença de resultados é desprezível. Já a variação da taxa de falha, implica em diferença pequena na Probabilidade e na ENS, mas acarreta erros consideráveis na Freqüência e Duração. Sem considerar as perdas de transmissão, a variação

da taxa de falha e do tempo médio de reparo, influencia muito pouco a Probabilidade, mas dá diferenças acentuadas na Freqüência, Duração e ENS. O que se pode concluir com certeza é que a variação da taxa de falha e do tempo médio de reparo da transmissão, em qualquer caso, introduz um erro desprezível no resultado da probabilidade.

Como sugestão para futuros trabalhos, seria de se incorporar um modelo de transmissão em corrente contínua, no lugar do modelo simples apresentado nesta dissertação.

1. Comparison of Algorithms for Computing Reliability Indices of Hydroelectric Power Plants. by Anderson, EPRI - R-2022, Feb., 1966.
2. Reliability Test System Task Force of the Application of Probability Methods. Reliability Test System. IEEE Trans. on Pow. Eng., Vol. PAS-89, no. 6 Nov./Dec., 1970, pp. 2007-2054.
3. ALLEN, A. M.; HANCOCK, R. A. F.; Modelling of Sparsity Generating Units in Short-Term Reliability Evaluating. IEEE Power Engineering Society Winter Meeting, Paper no. 8-1970-2, NEW YORK, Feb., 1970.
4. ANDREWS, L. T.; BURKE, R. C.; GROSEY, J. C.; HOLGATE, R.; JONES, R. G.; and STEWART, R. B. Application of Probability Methods to the Determination of Load and Reserve Requirements for the Pennsylvania-New Jersey-Maryland Interconnection. IEEE Transactions, Vol. PAS-82, 1963, pp. 200-207.
- REFERÊNCIAS BIBLIOGRÁFICAS**
5. BILLINGTON, R. Computer-Aided Reliability Evaluation. Proc. Trans. on PAS, Vol. PAS-89, 1980, pp. 270-280.
6. BILLINGTON, R.; See 1. Hancock. Digital Computer Algorithms for the Calculation of Generation Capacity Reliability Indices. IEEE Trans. on Pow. Eng., Jan. 1982.
7. BILLINGTON, R.; JAHN, R. K. The Effect of Rapid Start and Self-Reserve Modes in Sparsity Reserve Studies. IEEE Trans. on Pow. Eng., Vol. Pow. S3, 1978, pp. 511-516.
8. BILLINGTON, R. and JAHN, R. V. Unit Commitment Reliability in Hydrothermal Systems. Conference Paper, IEEE PICA Winter Meeting, New York, 1973.
9. BILLINGTON, R. Generating Capacity Reliability Evaluation. Unpublished Dr. of Engineering, pp. 28-31.

1. Comparison of Algorithms for Computing Generating Systems Reliability Indexes, EPRI - EL 2874, Feb. 1983.
2. Reliability Test System Task Force of the Application of Probability Methods Subcommittee. IEEE Reliability Test System, IEEE Trans on Pas, Vol. PAS-98, n° 6 Nov./Dec. 1979, pp. 2047-2054.
3. ALLAN, R. N.; NUNES, R. A. F.; Modelling of Standby Generating Units in Short - Term Reliability Evaluation. IEEE Power Engineering Society Winter Meeting, Paper n° A 79006-8, NEW YORK, Feb. 1979.
4. ANSTINE, L. T.; BURKE, R. E.; CASEY, J. E.; HOLGATE, R.; JOHN, R. S.; and STEWART, H. G. Application of Probability Methods to the Determination of Spinning Reserve Requirements for the Pennsylvania, New Jersey, Maryland Interconnection. IEEE Transactions. Vol. PAS-82, 1963, pp. 726-735.
5. BILLINTON, R. Composite System Reliability Evaluation. IEEE Trans on PAS, Vol. Pas-88, 1969, pp. 276-280.
6. BILLINTON, R.; Wee I Hamoud; Digital Computer Algorithms for the Calculation of Generating Capacity Reliability Indices. IEEE Trans On Pas, Jan. 1982.
7. BILLINTON, R.; JAIN, A. V. The Effect of Rapid Start and Hot Reserve Units in Spinning Reserve Studies. IEEE Trans on Pas, Vol. Pas-91, 1972, pp. 511-16.
8. BILLINTON, R. and JAIN, A. V. Unit Commitment Reliability in a Hydrothermal System. Conference Paper, IEEE PMS Winter Meeting, New York, 1973.
9. BILLINTON, R. Generating Capacity Reliability Evaluation. University of Saskatchewan, pp. 23-31.

10. BILLINTON, R. Power System Reliability Evaluation. Gordon and Breach, Sciende Publishers, 1970.
11. BILLINTON, R. and ALLAN, R. N. Reliability Evaluation of Power Systems. Pitman Advanced Publishing Program. 1984.
12. CALABRESE, G. Generating Reserve Capability Determined by the Probability Method. AIEE Transactions, Vol. 66, 1947, pp. 1439-50.
13. CALABRESE, G. Determination of Reserve Capacity by the Probability Method Effect of Interconnections. AIEE Transactions, Vol. 70, Pt, I, 1951, pp. 1018-20.
14. COOK, A. M.; RINGLEE, R. J.; WOOD, A. J. Frequency and Duration Methods for Power System Reliability Calculations. Part IV, Models for Multiple Boiler - Turbines and for Partial Outage States. IEEE Trans on Pas, Vol. Pas-88, 1969, pp. 1224-32.
15. CUNHA, S. H. F.; OLIVEIRA, G. C.; PEREIRA, M. V. F.; PINTO, L. M. V. G. Metodologias de Cálculo de Confiabilidade de Sistemas de Potência Programas CONFTRA e MULTIAR, CEPEL, Relatório Técnico 367 A/82, Projeto 7265 DPST, Contrato ELETROBRÁS/CEPEL ECE - 259/78, Revisão 2, Rio de Janeiro, 12 de janeiro de 1984.
16. ELETROBRÁS, Subgrupo de Confiabilidade. Experience With the IEEE Reliability Test System. GCPS / GTCP / SGC - Rio de Janeiro, Maio de 1984.
17. ELETRONORTE, Sistema Mato Grosso. Estudo de Alternativas de Suprimento ao Estado de Mato Grosso no Período Pré-UHE Barra do Peixe - GTSC-03/83 de maio de 1983.
18. GAVER, D. P.; MONTEMEAT, F. E.; PATTON, A. D. Power System Reliability. 1- Measure of Reliability and Methods of Calculation. IEEE Trans on Pas, 1964, pp. 727-737.

19. GALLOWAY, C. D.; GARVER, L. L.; RINGLEE, R. J.; WOOD, A. J. Frequency and Duration Methods for Power System Reliability Calculations. Part III - Generation System Planning. IEEE Trans on Pas, Vol. PAS - 88, 1969, pp. 1216-23.
20. HALL, J.D.; RINGLEE, R. J.; WOOD, A. J. Frequency and Duration Methods for Power System Reliability Calculations. Part I - Generations System Model. IEEE Trans on Pas, Vol. Pas-87, 1968, pp. 1787-96.
21. KIRCHMAYER, L. K.; MELLOR, A. G.; O'MARA, J.F.; STEVENSON, J. R. And Investigation of the Economic Size of Steam. Eletric Generating Units. AIEE Trans on Pas, Pt. III, Vol. 74, August 1955, pp. 600-44.
22. LYMAN, W. J. Calculating Probability of Generatin Capacity Outages. AIEE Transactions, Vol. 66, 1947, pp. 1471-77.
23. LOANE, E. S.; WATCHORN, C. W. Probability Methods Applied to Generating Capacity Problems of a Combined Hydro and Steam System. AIEE Transactions, Vol. 66, 1947, pp. 1645-57.
24. MALLARD, S. A.; and THOMAS, V. C. A Method for Calculating Transmission System Reliability. IEEE Trans on Pas, Vol. Pas - 87, 1968, pp. 824-834.
25. MELO, A. C. G. Avaliação da Confiabilidade da Capacidade de Geração Através do Método da Freqüência e Duração. Tese de M.Sc., Pontifícia Universidade Católica do Rio de Janeiro, Agosto, 1986.
26. NUNES, R. A. F. Short - Term Reliability Evaluation of Power Systems. Tese de Doutaramento, UMIST, 1977.
27. NUNES, R. A. F. Confiabilidade dos Sistemas Elétricos. Notas de Aula EFEI, Itajubá, M. G., 1980.

28. PATTON, A. D. Short Term Reliability Calculations. IEEE Trans on Pas, Vol. Pas-89, 1970, pp. 509-14
29. PATTON, A. D. A Probability Method for Bulk Power System Security Assessment: I - Basic Concepts. IEEE Trans on Pas, Vol. Pas - 91, 1972, pp. 54-61.
30. PATTON, A. D. A Probability Method for Bulk Power System Security Assessment: II - Development of Probability Models for Normally Operating Components. IEEE Trans on Pas, Vol. Pas-91, 1972, pp. 2480-85.
31. RINGLEE, R. J., WOOD, A. J. Frequency and Duration Methods for Power System Reliability Calculations - Part II - Demand Model and Capacity Reserve Model. IEEE Trans on Pas, Vol. Pas-88, 1969, pp. 375-88.
32. SEELYE, H. P. Outage Expectancy as a Basis for Generator Reserve. AIEE Transactions, Vol. 66, 1947, pp. 1483-88.
33. SCHILLING, M. TH.; DE QUEIROZ, J. F.; PRAÇA, J. C. G.; LEE, K. H.; BARROS, J. G. C.; ALVARENGA FILHO, S. Confiabilidade Global de Sistemas de Grande Porte, ELETROBRÁS, DEST/GPD, Nota Técnica 035/82, Rio de Janeiro, Agosto, 1982.
34. SCHILLING, M. TH.; LEE, K. H.; MOROZOWSKI, M.; CAMARGO, C. C. B. Aplicação Prática de Metodologia para Avaliação da Confiabilidade da Transmissão de Sistemas Elétricos, VII SNPTEE, Grupo VII, GPL, Brasília, Dezembro, 1984.
35. TAKIEDDINE, F. N. Reliability Assessment of Generating Systems. Ph. D. Thesis, UMIST, Manchester, U. K. 1977.
36. TIBÚRCIO, J. C. Análise de Sistemas Elétricos. Notas de Aula. EFEI, Itajubá, M. G., 1981.

37. TODD, Z. G. A Probability Method for Transmission and Distribution Outage Calculations. IEEE Trans on Pas, 1964, pp. 695-701.
38. WATCHORN, C. W. The Determination and Allocation of the Capacity Benefits Resulting from Interconnecting Two or More Generating Systems. AIEE Transactions, Vol. 69, Pt. II, 1950, pp. 1180-86.
39. WATCHORN, C. W. Power and Energy Production. AIEE Transactions, August 1954, Vol. 73, Pt. III-B, pp. 901-908.



## APÊNDICES

## APÊNDICE 1

Os dados deste apêndice com exceção da transmissão foram tirados das referências (9,11,20).

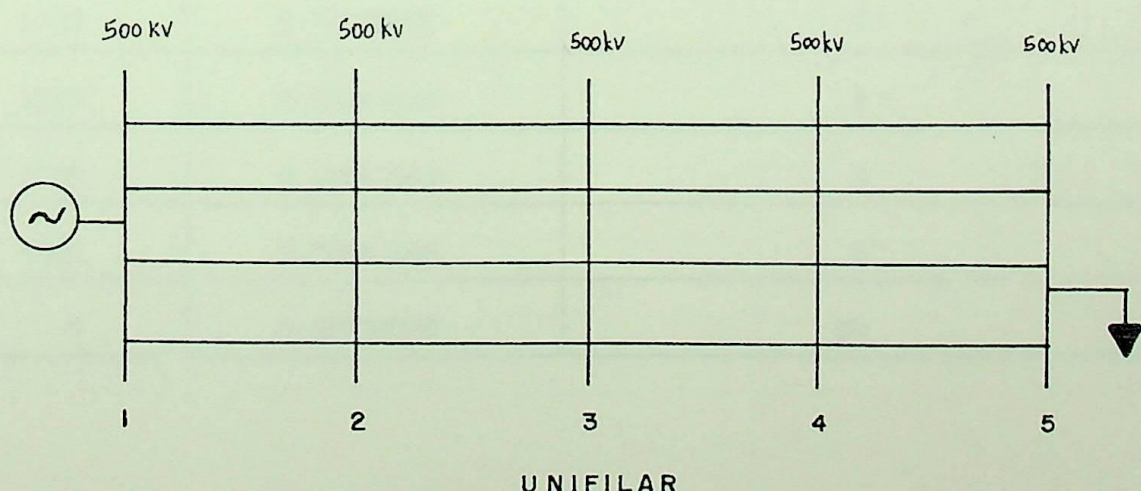
## GERAÇÃO

CAPACIDADE TOTAL INSTALADA = 1.725 MW

TOTAL DE MÁQUINAS = 22

NÚMERO DE UNIDADES	CAPACIDADE (MW)	TEMPO MÉDIO DE FUNCIONAMENTO (DIAS)	TEMPO MÉDIO DE REPARO (DIAS)
1	250	1073.1	21.9
3	150	1073.1	21.9
2	100	1073.1	21.9
4	75	1073.1	21.9
9	50	1073.1	21.9
3	25	1073.1	21.9

TRANSMISSÃO:  $\lambda = 1,5957 \text{ f/ano} - 100 \text{ Km}$        $r = 1 \text{ hora}$



## DADOS DA TRANSMISSÃO:

RESISTÊNCIA LINHA (%)	REATÂNCIA (%)	TEMPO MÉDIO DE FUNCION. (DIAS)	TEMPO MÉDIO DE REPARO (DIAS)	POTÊNCIA TRANSMI- TIDA (MW)	COMPRI- MENTO KM
1-2	0,7919	5,5987	122,3190	0,0417	600
2-3	1,0629	7,5148	91,1314	0,0417	600
3-4	0,7537	5,3292	128,5055	0,0417	600
4-5	0,7961	5,6286	121,6701	0,0417	600

## CARGA:

FATOR DE EXPOSIÇÃO = 0,5 DIA

PERÍODO = 20 DIAS

CARGA (MW)	PROBABILIDADE	NÚMERO DE OCORRÊNCIAS (DIAS)
1450	0,01095890	8
1255	0,00547945	4
1155	0,00547945	4
1080	0,00547945	4
0	0,02739726	20

## APÊNDICE 2

## GERAÇÃO:

CAPACIDADE TOTAL INSTALADA = 1.767 MW

TOTAL DE MÁQUINAS = 26

Foi desenvolvido um programa computacional baseado na Metodologia de  
aplicando a Duração analisada nas máquinas anteriores. Fazendo assim, para

NÚMERO DE UNIDADES	CAPACIDADE (MW)	TEMPO MÉDIO DE FUNCIONAMENTO (DIAS)	TEMPO MÉDIO DE REPARO (DIAS)
4	200	305	30
4	80	321	30
4	50	405	30
4	40	420	20
4	35	400	20
4	30	380	20
1	21	395	15
1	6	390	15

## CARGA:

FATOR DE EXPOSIÇÃO = 0,333 DIA

PERÍODO = 20 DIAS

PESADA (MW)	MÉDIA (MW)	LEVE (MW)	NÚMERO DE OCORRÊNCIAS (DIAS)
1570	1332	897	8
1490	1222	782	8
1370	1112	682	4
1170	897	462	20

## APÊNDICE 3

## MANUAL DO PROGRAMA

Foi desenvolvido um programa computacional baseado na Metodologia da Freqüência e Duração analisada nas páginas anteriores. Este manual contém as instruções de utilização do programa computacional para cálculo de índices de confiabilidade pelo Método da Freqüência e Duração.

Este programa fornece diversos índices de confiabilidade e contém as duas técnicas de arredondamento desenvolvidas neste trabalho.

Os seguintes índices são calculados pelo programa: para uma reserva ou déficit de energia, a Probabilidade, Freqüência de Ocorrência, Período de Ocorrência, Duração e a Energia não Suprida pelo Sistema.

A seguir é mostrado um fluxograma genérico do programa, Figura 27 e o manual do programa, onde estão devidamente explicados:

- Programa principal;
- Dados de entrada;
- Sub-rotinas do programa;
- Saída do programa.

O programa calcula o modelo do sistema gerador, imprimindo uma tabela de capacidades, com correspondente probabilidade, freqüência, período e taxas de saída. São calculadas as perdas ativas no sistema de transmissão e a influência da transmissão nos índices do sistema gerador.

O programa calcula as probabilidades para cada nível de carga e respectivas taxas de saída, imprimindo estes resultados. O programa pode ser usado como Sistema Gerador-Carga, com transmissão 100% confiável, Sistema Gerador-Transmissão-Carga com ou sem perdas e considerando os efeitos da

## FLUXOGRAMA SIMPLIFICADO

99.

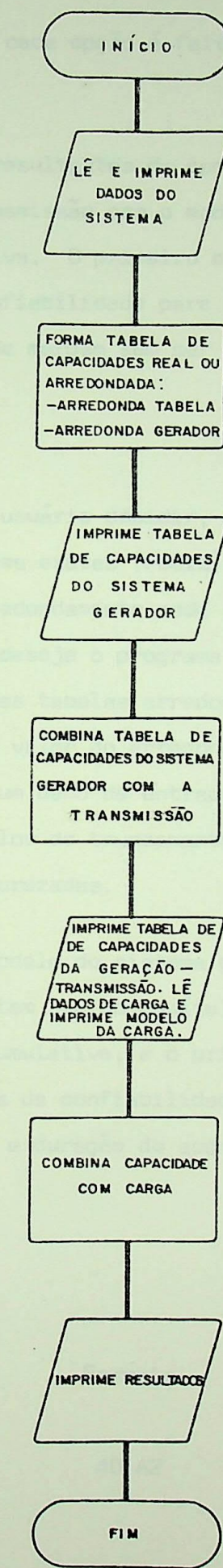


FIGURA - 27

transmissão. A utilização de cada opção é feita conforme o objetivo pretendido.

Os estados de margem resultantes da combinação da capacidade disponível da geração ou geração-transmissão com o modelo da carga são imprimidos numa tabela de margem cumulativa. O primeiro estado de margem negativa desta tabela dá os índices de confiabilidade para o sistema. Também pode-se obter, caso se deseje a tabela de margem sem ser cumulativa.

### Programa Principal

O programa permite ao usuário decidir, através de um dado de entrada, entre tabelas de capacidades exatas (reais) ou tabelas aproximadas (arredondadas). Por sua vez, o arredondamento pode ser feito, arredondando o gerador ou a tabela. Caso se deseje o programa imprime só a tabela de capacidades do sistema gerador. Nas tabelas arredondadas, os estados de capacidade são múltiplos inteiros do valor do arredondamento. Este é escolhido pelo usuário e fornecido como um dado de entrada ao programa. Também é fornecido como dado de entrada o valor de truncamento, onde todas as probabilidades abaixo deste valor são desprezadas.

O programa combina o modelo do sistema gerador com a transmissão e o modelo da carga, descrito no ítem 3.2 do capítulo 3 resultando uma tabela de margem. Esta tabela é feita cumulativa, e o primeiro estado de margem negativa desta tabela dá os índices de confiabilidade para o sistema, probabilidade, frequência de ocorrência e duração do acontecimento.

### Dados de Entrada

#### Cartão 1

Colunas	Tipo de Variável	Formato	Significado
1 a 80	Alfa Numérica	40 A2	TIT = Título do sistema em estudo.

Cartão 2

Colunas	Tipo de Variável	Formato	Significado
11 a 15	Inteira	I5	NG = Número de geradores do sistema, max=40.
16 a 20	Real	F5.1	VA = Valor de arredondamento (MW).
21	Inteira	I1	KAG = 0 Arredonda tabela. KAG = 1 Arredonda gerador.
23	Inteira	I1	IB = 0 Com transmissão. IB = 1 Sem transmissão.
25	Inteira	I1	IBP = 0 Com perdas. IBP = 1 Sem perdas.
26 a 40	Real	F15.12	TRC = Abaixo deste valor são desprezadas as probabilidades e seus correspondentes estados de capacidade.
41 a 55	Real	F15.12	TRM = Abaixo deste valor são desprezadas as probabilidades e seus correspondentes estados de <u>mar</u> gem.
56 a 60	Inteira	I5	MVAB = Potência Base do Sistema (MVA).

Colunas	Tipo de Variável	Formato	Significado
65	Inteira	I1	KSG = 0 executa todo o programa (geração, transmissão e carga). KSG = 1 Só executa sistema gerador. ( Só fornece tabela de capacidades da geração).

Cartão 3

Colunas	Tipo de Variável	Formato	Significado
1 a 5	Inteira	I5	IBE = Número da Barra emissora.
6 a 10	Inteira	I5	IBR = Número da Barra receptora.
11 a 15	Inteira	I5	NCI = 0 Existe só 1 circuito NCI = 1 Existe mais de 1 circuito.
16 a 25	Real	F10.6	RES = Resistência em %.
26 a 35	Real	F10.6	REA = Reatância em %.
36 a 45	Real	F10.6	PLI = Fluxo limite da linha em MW.
46 a 55	Real	F10.6	TRL = Tempo médio de reparo da linha (DIAS).

Colunas	Tipo de Variável	Formato	Significado
56 a 65	Real	F10.6	TFL = Tempo médio de operação da linha (DIAS).

Os dados de linhas terminam com 9999 na coluna 2.

#### Cartão 4

Colunas	Tipo de Variável	Formato	Significado
1 a 5	Inteira	I5	NUB = Número da Barra.
7	Inteira	I1	NTP = Tipo da Barra.
			0 = Barra de carga.
			2 = Referência.
9 a 18	Real	F10.2	PGE = Potência gerada na barra em MW.
19 a 28	Real	F10.2	PCA = Carga em MW.

Os dados de barra terminam com 9999 na coluna 2.

#### Cartão 5

Colunas	Tipo de Variável	Formato	Significado
1 a 2	Inteira	I2	ITIPO=0 Gerador possui 2 estados.
			ITIPO=3 Gerador possui 3 estados.
11 a 20	Real	F10.2	CG = Capacidade do gerador (MW).
21 a 30	Real	F10.8	P = Probabilidade de funcionar.

Colunas	Tipo de Variável	Formato	Significado
31 a 40	Real	F10.6	TMR = Tempo médio de reparo (DIAS).
41 a 50	Real	F10.6	TMF = Tempo médio de funcionamento (DIAS).

Cartão 6 - Só aparece se ITIPO  $\neq$  0.

Colunas	Tipo de Variável	Formato	Significado
11 a 20	Real	F10.2	CGER = Capacidade do gerador no estado 1 (MW).
21 a 30	Real	F10.2	CGER = Capacidade do gerador no estado 2 (MW).
31 a 40	Real	F10.2	CGER = Capacidade do gerador no estado 3 (MW).

Cartão 7 - Só aparece se ITIPO  $\neq$  0.

Colunas	Tipo de Variável	Formato	Significado
11 a 20	Real	F10.7	H = Taxa de falha para 3 estados (DIAS).
21 a 30	Real	F10.7	U = Taxa de reparo para 3 estados (DIAS).

Cartão 8

Colunas	Tipo de Variável	Formato	Significado
11 a 15	Inteira	I5	NNC = Número de níveis de carga (inclusive carga baixa).
16 a 25	Real	F10.8	E = Fator de exposição da carga, sempre < 1.

Cartão 9

Colunas	Tipo de Variável	Formato	Significado
11 a 15	Inteira	I5	NOC = Número de dias de ocorrência da carga.
16 a 25	Real	F10.2	CARGA = Valor do pico de carga (MW). (Inclusive carga baixa).

O estado de carga baixa é sempre o último.

Ordem de Entrada dos Cartões:

Cartão 1 - Aparece só uma vez.

Cartão 2 - Aparece só uma vez.

Cartão 3 - Um cartão para cada circuito. Após o último circuito vem um cartão 9999 na coluna 2. Limite = 50 linhas.

Cartão 4 - Um cartão para cada barra. Após a última barra vem um cartão 9999 na coluna 2. Limite = 50 barras.

Cartão 5 - Um cartão para cada gerador.

Cartão 6 - Um cartão para cada gerador de 3 estados. (Funciona, Parcialmente Avariado e Avariado).

Cartão 7 - Um cartão para cada estado do gerador de 3 estados.

Cartão 8 - Aparece só uma vez.

Cartão 9 - Um cartão para cada pico de carga. (Inclusive carga baixa). Limite = 4 níveis de carga.

Exemplos:

a) Seja um sistema de 30 geradores todos de 2 estados, um sistema de transmissão com 4 circuitos e 5 barras e um modelo de carga com 4 níveis.

Os cartões de dados são colocados assim:

Ordem de Entrada	Tipo de Cartão	Quantidade
1	1	1
2	2	1
3	3	5*
4	4	6*
5	5	30
6	8	1
7	9	4

\* 1 cartão a mais para o 9999.

- b) Seja um sistema de 2 geradores todos de 3 estados, e um modelo de carga com 4 níveis. Sem considerar o efeito da transmissão.

Os cartões de dados são colocados assim:

Ordem de Entrada	Tipo de Cartão	Quantidade
1	1	1
2	2	1
3	5	1
4	6	1
5	7	3
6	5	1
7	6	1
8	7	3
9	8	1
10	9	4

#### Descrição das Sub-Rotinas

##### - Sub-rotina ZERA

Esta sub-rotina inicia o programa zerando as variáveis. Lê dados de entrada, imprime dados lidos.

##### - Sub-rotina BARLI

Lê dados de barras e linhas. Imprime estes dados. Calcula número de barras e linhas.

##### - Sub-rotina PROB

Calcula potência do sistema gerador, probabilidade de funcionar, ca-

so não seja dada, e taxas de saída. Lê dados de entrada. Imprime dados de geradores.

- Sub-rotina INICIA

Inicia a tabela de capacidade avariada, para geradores de dois estados. Forma a tabela com todos os estados pré-determinados quando a técnica de arredondamento é "arredonda gerador".

- Sub-rotina TRIEST

Calcula probabilidade e forma tabela parcial de capacidade avariada para geradores de 3 estados.

- Sub-rotina INVERT

Inverte matriz  $N \times N$ . É utilizada na sub-rotina Triest e na sub-rotina LFDC.

- Sub-rotina TABTRI

Esta sub-rotina forma a tabela de capacidade avariada para geradores de três estados. É usada dentro da sub-rotina Triest.

- Sub-rotina AREGER

Esta sub-rotina arredonda o gerador antes de formar a tabela. É feito um teste para ver se o gerador é múltiplo do valor de arredondamento. Se não for, o gerador é transformado em múltiplo e as probabilidades transformadas proporcionalmente. Deste modo o gerador se encaixa em estados pré-determinados da tabela. Só é usada quando utilizamos a técnica "arredonda gerador".

- Sub-rotina TABELA

Forma a tabela de capacidade avariada. É usada quando a tabela é real (sem arredondamento) ou quando usamos a técnica "arredonda tabela".

- Sub-rotina IGUAL

Esta sub-rotina procura os estados de capacidade avariada iguais na tabela. Se existirem estados iguais, são combinados, resultando só um estado.

- Sub-rotina TRUNKE

Esta sub-rotina trunca os valores de probabilidades menores de que um valor especificado, geralmente  $10^{-8}$  a  $10^{-10}$ . É usada na tabela de capacida de avariada. O valor do truncamento é um dado de entrada do programa.

- Sub-rotina ROUND

Esta sub-rotina arredonda os valores da tabela de capacidade avariada. O programa lê o valor do gerador e combina com a tabela existente. Fica-se com diversos estados na tabela, retira-se o estado, procurando ver se o valor é igual ou múltiplo do valor do arredondamento. Só é usada para a técnica "arredonda tabela". Ao final desta rotina tem-se a tabela arredonda da. Faz-se a mesma coisa com o próximo gerador, até o último.

- Sub-rotina ORDENA

Esta sub-rotina ordena os estados de capacidade avariada em ordem crescente.

- Sub-rotina FREPER

Esta sub-rotina calcula freqüência, período, freqüência cumulativa e

período cumulativo para a tabela de capacidade do sistema gerador e da geração - transmissão.

- Sub-rotina GERTRA

Combina a tabela do Sistema Gerador com o sistema de transmissão. Calcula tabela de capacidade das linhas para combinar com a geração.

- Sub-rotina LFDC

Calcula perdas ativas no sistema de transmissão. Estas perdas são acrescidas às cargas.

- Sub-rotina INIMAR

Inicia a tabela de margem

- Sub-rotina TABMAR

Esta sub-rotina forma a tabela de margem.

- Sub-rotina IGUAM

Sub-rotina que verifica se existem estados de margem iguais na tabela de margem. Se existem, estes estados são combinados resultando só um estado.

- Sub-rotina TRUNKM

Esta sub-rotina trunca os valores de probabilidade menores do que um valor especificado. Geralmente  $10^{-8}$  a  $10^{-10}$ . É usada na sub-rotina GERTRA e caso se deseje na tabela de margem.

- Sub-rotina ORDENM

Esta sub-rotina ordena os estados de margem em ordem decrescente.

- Sub-rotina ENSU

Calcula energia não suprida pelo sistema.

- Sub-rotina FEPFM

Calcula freqüência, duração, probabilidade cumulativa, freqüência cumulativa, período cumulativo, duração cumulativa, tudo relacionado com estados de margem.

Saída do Programa

O programa imprime as seguintes informações e resultados:

- Título do sistema em estudo.
- Número total de geradores do sistema.
- Valor do arredondamento.
- Valor abaixo do qual as probabilidades são desprezadas.
- Imprime "arredonda o gerador" se esta técnica é usada.
- Imprime "arredonda tabela" se esta técnica é usada.
- Dados de linhas.
- Dados de barras.
- Potência (MW) de cada gerador, com respectivos tempo médio do reparo e tempo médio de operação.
- Potência do sistema (MW).
- Número de estados da tabela de capacidades.
  
- Tabela de Capacidades do Sistema - Gerador com:

Estados de capacidade avariada e correspondentes, probabilidades, fre

freqüência de ocorrência (individual e cumulativa), período de ocorrência (individual e cumulativo) e taxas de saída.

Número de estados da tabela de Capacidades Geração - Transmissão.

- Tabela de Capacidades Geração-Transmissão com:

Estados de capacidades disponível e correspondentes probabilidades, freqüência de ocorrência (individual e cumulativa), período de ocorrência (individual e cumulativo) e taxas de saída.

- Modelo da Carga com:

Fator de exposição.

Nível de carga (MW) com correspondentes número de ocorrência, probabilidades e taxas de saída.

- Tabela de margem (opcional) com:

Estados de margem e correspondentes probabilidades, freqüência, duração e taxas de saída.

- Número de estados de margem.

- Tabela de Margem Cumulativa com:

Estados de margem e correspondentes probabilidades, freqüência, período e duração cumulativas.

- Energia não suprida pelo sistema.

DATA	17 / 11 / 1987
PROG:	PPG
FLD:	
LIV:	
NLR\$	DOAÇÃO

621.315.2.621.316(043.2) T.495  
B842m

EFEI / Biblioteca Mauá  
BRESOLA, César A. Bleyer  
Metodologia de frequênci-  
a e duração: análise de  
um modelo aproximado.

EFEI, Itajubá - 1987.

a da	Nº. Registro	D Devo

EFEI

BIBLIOTECA MAUÁ

Esta publicação deverá ser devolvida  
dentro do prazo estipulado.

O leitor é responsável pela publicação  
em seu poder.

EFEI - BIBLIOTECA MAUÁ

8200495



NÃO DANIFIQUE ESTA ETIQUETA